

## 1 Lezione del 24-02-25

### 1.1 Introduzione al corso

Il corso di **calcolo numerico**, o come viene definito oggi *analisi numerica*, tratta lo studio degli algoritmi per problemi in campi continui (incognite in  $\mathbb{R}$ , siano queste numeri o funzioni, ecc...) o su grandi moli di dati.

Il programma del corso è così suddiviso:

1. Analisi dell'errore per funzioni scalari;
2. Richiami di algebra lineare (calcolo vettoriale e matriciale, ecc...);
3. Risoluzione di sistemi lineari, cioè forme  $Ax = b$ ;
4. Interpolazione e approssimazione di funzioni nel senso dei minimi quadrati;
5. Metodi per l'integrazione, cioè per forme  $\int_a^b f(x) dx$ ;
6. Equazioni non lineari, cioè ricerca dei punti  $g(x) = 0$  per  $g(x)$  non lineari;
7. Problemi agli autovalori, cioè date matrici  $A \in \mathbb{C}^{m \times n}$ , trovare  $(\lambda, x)$  tali che  $Ax = \lambda x$ .

#### 1.1.1 Matematica del continuo

Abbiamo detto che i valori trattati sono continui, che intendiamo per appartenenti ad  $\mathbb{R}$ . Un problema apparente dei numeri reali è che richiedono teoricamente un numero infinito di cifre per la loro rappresentazione. Si rende quindi necessaria un'approssimazione in modo da ovviare ai problemi:

- Rappresentare oggetti matematici con un numero infinito di parametri;
- Risolvere problemi che non hanno formule chiuse per la soluzione, ma richiedono approcci iterativi (discesa a gradiente, ecc...) e quindi che richiedono un'approssimazione data dall'impossibilità di effettuare infiniti passi.

#### 1.1.2 Errori

Avremo quindi bisogno di valutare degli **errori**, che saranno gli *errori di approssimazione* come riportata sopra, uniti agli *errori nei dati* già presenti nella nostra mole di dati.

Una domanda che potremo porci è come questi errori influiscono sul risultato che ci interessa. Una prima distinzione può essere fra algoritmi **instabili** e **stabili**, cioè che *amplificano* l'errore o lo mantengono costante. Una seconda distinzione può essere sul **condizionamento** del problema, cioè la tendenza del problema a reagire in maniera drastica a piccole variazioni delle condizioni iniziali.

### 1.1.3 Efficienza

Un'altra considerazione importante è quella dell'**efficienza** degli algoritmi, cioè il tempo che questi richiedono per convergere ad una soluzione valida (non ottima, in quanto abbiamo visto dobbiamo troncare il numero di passi nel caso di approcci iterativi, che altrimenti potrebbe tendere ad infinito). Questo viene stimato attraverso il *costo computazionale*, tenendo conto di una certa *accuratezza* che vogliamo stabilire.

## 1.2 Rappresentazione dei reali

Introduciamo la classe dei **numeri reali in virgola mobile**, atta a rappresentare numeri  $x \in \mathbb{R}$  usando parametri che stanno in  $\mathbb{N}$ , o al limite in  $\mathbb{Z}$ , in quanto abbiamo visto possiamo gestire numeri di questo tipo in modo esatto nei calcolatori.

### Teorema 1.1: Rappresentazione dei reali in virgola mobile

Fissata una base  $\beta > 1$ , con  $\beta \in \mathbb{N}$ , si può sempre trovare un esponente  $e \in \mathbb{Z}$  e una successione di cifre  $\{\alpha_j\}_{j=1,2,\dots}$  tali per cui:

$$x = \text{sgn}(x) \cdot \beta^e \cdot \sum_{j=1}^{\infty} \alpha_j \beta^{-j}$$

Osserviamo che scelte tipiche per  $\beta$  sono 10 (decimale), 2 (binario) e 16 (esadecimale).

Un problema di questa rappresentazione è che non è propriamente **unica**: ad esempio, potremo scrivere un'approssimazione di  $\pi$  come 3.14, o come  $0.314 \cdot 10$ , equivalentemente. Inoltre, possono esistere casi di numeri periodici, come  $2.\bar{9}$ , che sono effettivamente uguali ad altri (in questo caso 3).

Sfruttiamo allora il seguente teorema, dato senza dimostrazione:

### Teorema 1.2: Teorema di rappresentazione

Dati  $\beta \in \mathbb{N}, \beta > 1$  base e  $x \in \mathbb{R}, x \neq 0$ , allora esiste ed è unica la rappresentazione  $x = \text{sgn}(x) \cdot \beta^e \cdot \sum_{j=1}^{\infty} \alpha_j \beta^{-j}$  (dal Teorema 1.1) tale che:

- $\alpha_1 \neq 0$ ;
- $\exists k \in \mathbb{N} : \alpha_j = \beta - 1 \ \forall j > k$ .

Introducendo queste due limitazioni possiamo quindi ovviare al problema dell'unicità.

Diamo quindi alcune definizioni, riguardo alla rappresentazione appena vista:

### Definizione 1.1: Rappresentazione in virgola mobile normalizzata

L'unica rappresentazione che verifica il Teorema 1.2 si dice **rappresentazione in virgola mobile normalizzata**.

e riguardo alla successione  $\{\alpha_j\}$ :

### Definizione 1.2: Mantissa

Prende il nome di **mantissa** la serie  $\sum_{j=1}^{\infty} \alpha_j \beta^{-j}$ .

Notiamo che vale:

$$\frac{1}{\beta} \leq \sum_{j=1}^{\infty} \alpha_j \beta^{-j} < 1$$

In quanto:

- Per il limite inferiore:

$$\sum_{j=1}^{\infty} \alpha_j \beta^{-j} \geq \beta^{-1} = \frac{1}{\beta}$$

- Per il limite superiore:

$$\begin{aligned} \sum_{j=1}^{\infty} \alpha_j \beta^{-j} &< (\beta - 1) \sum_{j=1}^{\infty} \beta^{-j} = (\beta - 1) \left( \frac{1}{1 - \beta^{-1}} - 1 \right) \\ &= (\beta - 1) \frac{\beta^{-1}}{1 - \beta^{-1}} = (\beta - 1) \frac{1}{\beta - 1} = 1 \end{aligned}$$

□

Vediamo che la mantissa non è effettivamente rappresentabile nella sua interezza in un calcolatore, in quanto richiederebbe un numero infinito di cifre. Si tronca quindi la mantissa, e si considera un range limitato per l'esponente. Si definisce quindi un sottinsieme:

### Definizione 1.3: Numeri di macchina

Dati:  $\beta \in \mathbb{N}$ ,  $m \in \mathbb{N}$ ,  $L, U \in \mathbb{Z}$  tali che  $L \leq U$ , si definisce  $F(\beta, m, L, U)$  come:

$$F = \{x \in \mathbb{R} : x = \text{sgn}(x) \cdot \beta^e \cdot \sum_{j=1}^m \alpha_j \beta^{-j}, L \leq e \leq U, \alpha_j = \{0, \dots, \beta-1\}, \alpha_1 \neq 0\} \cup \{0\}$$

detto **numero di macchina**.

L'inclusione dello zero è necessario in quanto questo non è compreso nel primo insieme dato.

Notiamo che l'insieme dei numeri di macchina non è equispaziato (ci sono più numeri vicino allo zero). Presi intervalli  $[\beta^{e-1}, \beta^e)$ , questi risulterebbero equispaziati se venissero considerati su una scala logaritmica base  $\beta$ . All'interno di questi intervalli, invece, si hanno effettivamente numeri equispaziati, con periodo  $\beta^e \cdot \beta^{-m} = \beta^{e-m}$ .

#### 1.2.1 Limiti inferiori e superiori

Potremmo chiederci quali sono i numeri **minimi** e **massimi** rappresentabili.

Osservando la definizione di  $F$  si ha che il numero più piccolo possibile è quello che si ha prendendo  $\beta = L$ , e  $\alpha_j = 0$  per ogni  $j > 1$ , e  $\alpha_1 = 1$ , quindi:

$$\beta^L \cdot 1 \cdot \beta^{-1} = \beta^{L-1}$$

Il numero più grande si ha invece prendendo  $\beta = U$  e  $\alpha_j = \beta - 1$ , e quindi:

$$\begin{aligned}\beta^U(\beta - 1) \sum_{j=1}^m \beta^{-j} &= \beta^U \left( \frac{1 - \beta^{-m-1}}{1 - \beta^{-1}} - 1 \right) (\beta - 1) \\ &= \beta^U \left( \frac{1 - \beta^{-m}}{\beta - 1} \right) (\beta - 1) = \beta^U (1 - \beta^{-m})\end{aligned}$$

Potremmo poi chiederci quanti numeri macchina esistono fissati  $\beta, m, L$  e  $U$ . Si hanno intanto due scelte di segno,  $(U - L + 1)$  scelte di esponenti e  $(\beta^m - \beta^{m-1})$  scelte di mantisse (tutti i numeri rappresentabili su  $m$  cifre base  $\beta$  meno quelli con prima cifra nulla) più lo zero, da cui:

$$2 \cdot (U - L + 1) \cdot (\beta^m - \beta^{m-1}) + 1$$

Le rappresentazioni più comuni dei numeri macchina sono definite dallo standard IEEE 754, che definisce:

Precisione	$\beta$	$m$	$L$	$U$	Dimensione
Singola	2	24	-126	127	4 byte (32 bit)
Doppia	2	53	-1022	1023	8 byte (64 bit)
Quadrupla	2	113	-16382	16383	16 byte (128 bit)

Casi particolari potrebbero richiedere precisioni più grandi o più lasche. Ultimamente, in particolare, si sono diffuse rappresentazioni a precisione più bassa (su 16 o addirittura 8 bit), in particolare nel campo delle reti neurali.

Il pacchetto MATLAB utilizza di default la precisione **doppia** come definita dallo standard IEEE 754.

### 1.3 Arrotondamento

Abbiamo visto come ci stiamo spostando dalla matematica esatta a una serie di approssimazioni. In generale, vorremo partire da un certo numero reale  $x \in \mathbb{R}$ , ma non appartenente all'insieme dei numeri macchina ( $x \notin F(\beta, m, L, U)$ ). L'obiettivo è quello di riportare  $x$  ad una sua *approssimazione* appartenente ad  $F(\beta, m, L, U)$ .

Esistono 3 possibili situazioni:

- $|x| > \beta^U (1 - \beta^{-m})$ , cioè  $x$  maggiore del massimo rappresentabile (**overflow**);
- $|x| < \beta^{L-1}$ , cioè  $x$  minore del minimo rappresentabile (**underflow**);
- $\beta^{L-1} \leq x \leq \beta^U (1 - \beta^{-m})$ . Se nei casi precedenti si poteva scegliere, rispettivamente, un  $M$  molto grande, o  $\infty$ , e 0, qui si può effettivamente procedere con l'arrotondamento.

#### Definizione 1.4: Arrotondamento

Un arrotondamento è una funzione  $RD : \mathbb{R} \rightarrow F(\beta, m, L, U)$ , con  $RD(x)$  uno dei numeri di macchina in  $F(\beta, m, L, U)$  "vicini" ad  $x$ .

Preso un certo reale  $x$ , avremo un numero di macchina a sinistra è uno a destra, cioè il primo più piccolo e il primo più grande. Possiamo allora definire i seguenti arrotondamenti:

- **Troncamento** (*round down*):

$$Tr(x) = \lfloor x \rfloor$$

- **Round-up:**

$$Ru(x) = \lceil x \rceil$$

- **Round-to-nearest:**

$$Rn(x) = \begin{cases} \lceil x \rceil, & \alpha_{m+1} \geq \frac{\beta}{2} \\ \lfloor x \rfloor, & \alpha_{m+1} < \frac{\beta}{2} \end{cases}$$

con  $\alpha_{m+1}$  la prima cifra che viene scartata dall'arrotondamento.

Notiamo poi che preso il troncamento:

$$Tr(x) = \text{sgn}(x)\beta^e \sum_{j=1}^m \alpha_j \beta^{-j}$$

il round up corrispondente sarà:

$$Ru(x) = \text{sgn}(x)\beta^e \left( \sum_{j=1}^m \alpha_j \beta^{-j} + \beta^{-m} \right)$$

### 1.3.1 Errore di arrotondamento

Valgono le disuguaglianze:

- $|Tr(x) - x| \leq \beta^{e-m}$
- $|Rn(x) - x| \leq \frac{\beta^{e-m}}{2}$ , che è il minimo errore possibile cioè:

$$|Rn(x) - x| = \min_{RD(x)} (RD(x) - x)$$

Per questo motivo da qui in poi assumeremo quindi di prendere sempre  $Rn(x)$ .

#### Definizione 1.5: Errori di arrotondamento

Definiamo:

- **Errore assoluto di arrotondamento:**  $x - Rn(x) = \sigma_x$
- **Errore relativo di arrotondamento:**  $\frac{x - Rn(x)}{x} = \epsilon_x$

La definizione di errore relativo è utile per avere un errore pressochè costante su tutta la retta dei reali. Si ha quindi che:

- Riguardo all'errore assoluto:

$$|\sigma_x| \leq \frac{\beta^{e-m}}{2}$$

- Riguardo all'errore relativo:

$$|\epsilon_x| \leq \frac{\beta^{e-m}}{2\beta^{e-1}} = \frac{1}{2}\beta^{1-m}$$

visto che  $|x| > \beta^{e-1}$ . Notiamo che questo errore non dipende dall'esponente  $e$ , che è quello che desideravamo.

Abbiamo quindi che l'insieme dei numeri in virgola mobile garantiscono un errore relativo limitato in modo uniforme, se non si incombe in overflow o underflow.

#### Definizione 1.6: Precisione

La quantità  $U = \beta^{1-m}$  viene detta **precisione di macchina** di una certa rappresentazione a virgola mobile.

Ad esempio, nella precisioni doppia e singola,  $U \approx 10^{-16}$  e  $U \approx 10^{-8}$ , che significa rispettivamente prime 15 o prime 7 cifre esatte.

### 1.3.2 Dettagli di implementazione

Prendiamo ad esempio la doppia precisione. Avremo:

- 1 bit di segno;
- 52 bit di mantissa (con 1 bit implicito impostato ad 1, per  $\alpha_1 = 1$ );
- 11 bit di esponente in rappresentazione con offset.

Riguardo agli altri formati si ha:

Precisione	Segno	Esponente	Mantissa	U
Singola	1	8	23	$\approx 10^{-8}$
Doppia	1	11	52	$\approx 10^{-16}$
Quadrupla	1	15	112	$\approx 10^{-34}$

### 1.4 Numeri sottonormalizzati

Vediamo una tecnica per la rappresentazione di numeri più piccoli di  $\beta^{L-1}$ , implementata nella maggior parte dei pacchetti software moderni (e nelle implementazioni degli standard a virgola mobile disponibili nei processori moderni). Si ha che se  $x \in [0, \beta^{L-1}]$ , allora si assume come prima cifra della mantissa 0, con esponente fisso ad  $L$ . Questo ci permette di rappresentare più numeri vicino allo zero.

Si avranno quindi numeri equispaziati fra 0 e  $\beta^{L-1}$  con distanza  $\beta^{L-m}$ . Inoltre, sui numeri sottonormalizzati si avrà un errore relativo non limitato da  $\frac{1}{2}\beta^{1-m}$ , ma che invece aumenta avvicinandosi a 0.

I numeri sottonormalizzati sono indicati da un **valore speciale dell'esponente**, cosa che accade anche per:

- I valori  $+\infty$  e  $-\infty$ ;
- I valori NaN (Not a Number) con relativi codici di errore in mantissa.

La presenza di questi valori rende necessaria l'approssimazione delle precisioni per i numeri in virgola mobile.

## 2 Lezione del 28-02-25

### 2.1 Operazioni sui numeri macchina

Abbiamo introdotto l'insieme dei numeri macchina. Vediamo adesso come eseguire **operazioni** fra elementi di questi insiemi.

Notiamo che, di base, dati  $x, y \in F(\beta, m, L, U)$ , non necessariamente  $x \circ y \in F(\beta, m, L, U)$  per le comuni operazioni aritmetiche  $+, -, \times, \div$ .

Quello che faremo è quindi approssimare tali operazioni, cioè dire:

- $x \oplus y = Rn(x + y)$
- $x \ominus y = Rn(x - y)$
- $x \otimes y = Rn(x \times y)$
- $x \oslash y = Rn(x \div y)$

Effetto di questa approssimazione è negare proprietà note dei reali, come ad esempio l'associativa:

$$(x \oplus y) \oplus z \neq x \oplus (y \oplus z)$$

$$(x \oplus y) \otimes z \neq x \oplus (y \otimes z)$$

Cioè, la valutazione di una formula con ordini diversi ma equivalenti in aritmetica esatta può portare a risultati differenti nell'insieme dei numeri di macchina.

#### 2.1.1 Errore nel calcolo di funzione

Sia  $f : \mathbb{R}^m \rightarrow \mathbb{R}$ , e si voglia calcolare  $f(P_0)$ , con  $P_0 = (x_1^{(0)}, x_2^{(0)}, \dots, x_m^{(0)}) \in \mathbb{R}^m$ . Le operazioni aritmetiche  $+, -, \times, \div$  possono essere viste come funzioni di questo tipo. Ci interroghiamo quindi sulla fonte dell'errore nella loro valutazione:

1. Nel caso contenga funzioni irrazionali o trascendenti,  $f$  verrà approssimata con una funzione  $\bar{f}$  che coinvolge solo operazioni aritmetiche di base  $+, -, \times, \div$ ;
2.  $\bar{f}$  viene tradotta in un *algoritmo*  $\bar{f}_a$ , ovvero in una formula che coinvolge  $\oplus, \ominus, \otimes, \oslash \leftarrow +, -, \times, \div$ . La formula ottenuta finora viene detta **algoritmo**;
3. Potrebbe essere che  $P_0 \notin F(\beta, m, L, U)$ , e quindi viene approssimato a  $P_1 = Rn(P_0)$ .

Quindi, vogliamo  $f(P_0)$  ma possiamo solo approssimarla come  $\bar{f}_a(P_1)$ .

Ad esempio, poniamo di voler calcolare  $e^\pi$ . I passaggi nell'ordine appena visto saranno:

1. Approssimiamo l'esponenziale al secondo grado dello sviluppo di Taylor:

$$e^x \approx 1 + x + \frac{x^2}{2} = \bar{f}(x)$$

2. Si riporta la  $\bar{f}(x)$  a  $\bar{f}_a(x)$ :

$$1 \oplus (x \oplus ((x \otimes x) \oslash 2))$$

Indicheremo algoritmi di questo tipo anche attraverso **risultati intermedi**:

- $r_1 = x \cdot x$
- $r_2 = \frac{r_1}{2}$
- $r_3 = x + r_2$
- $r_4 = 1 + r_3$

con il risultato finale inteso come l'ultimo risultato intermedio. Un modo di visualizzare i risultati intermedi di un algoritmo può essere un albero:

$$\begin{array}{c}
 r_4 = 1 + r_3 \\
 | \\
 r_3 = x + r_2 \\
 | \\
 r_2 = \frac{r_1}{2} \\
 | \\
 r_1 = x \cdot x \\
 \swarrow \quad \searrow \\
 x \quad x
 \end{array}$$

dove la *radice* rappresenta il **risultato** e le *foglie* rappresentano le variabili della funzione.

3. Si approssima  $\pi$  al numero macchina più vicino:

$$Rn(\pi) = 3.1415 = P_1$$

Avremo quindi la formula finale:

$$1 \oplus (P_1 \oplus ((P_1 \otimes P_1) \odot 2))$$

Diamo quindi la definizione di **errore assoluto**:

#### Definizione 2.1: Errore assoluto

Data  $f : \mathbb{R}^m \rightarrow \mathbb{R}$ , un punto  $P_0 \in \mathbb{R}^m$  ed un algoritmo  $\bar{f}_a$ , l'errore assoluto è dato da:

$$\sigma_f = \bar{f}_a(P_1) - f(P_0), \quad P_1 = Rn(P_0)$$

e di errore relativo:

#### Definizione 2.2: Errore relativo

Date le ipotesi della definizione 2.1, l'errore relativo è dato da:

$$\epsilon_f = \frac{\bar{f}_a(P_1) - f(P_0)}{f(P_0)} = \frac{\sigma_f}{f(P_0)}$$



### 2.1.2 Errore di funzioni razionali

Assumiamo per adesso  $f$  **funzione razionale**, ovvero  $f$  si può definire con un numero di operazioni in  $+$ ,  $-$ ,  $\times$ ,  $\div$ . Assumere funzioni razionali ci permette di prendere  $f = \bar{f}$  e  $f_a = \bar{f}_a$  (non ci sono irrazionali da riportare ai razionali). Potremo allora dire:

$$\sigma_f = f_a(P_1) - f(P_0) = f_a(P_1) - f(P_1) + f(P_1) - f(P_0)$$

che possiamo dividere in:

$$\sigma_f = \sigma_a + \sigma_d, \quad \sigma_a = f_a(P_1) - f(P_1), \quad \sigma_d = f(P_1) - f(P_0)$$

che chiamiamo rispettivamente **errore assoluto algoritmico** e **errore assoluto inerente**.

Allo stesso modo possiamo definire l'**errore relativo**:

$$\begin{aligned} \epsilon_f &= \frac{\sigma_f}{f(P_0)} = \frac{f_a(P_1) - f(P_0)}{f(P_0)} = \frac{f_a(P_1) - f(P_1)}{f(P_0)} + \frac{f(P_1) - f(P_0)}{f(P_0)} \\ &= \frac{f_a(P_1) - f(P_1)}{f(P_1)} \cdot \frac{f(P_1)}{f(P_0)} + \frac{f(P_1) - f(P_0)}{f(P_0)} \end{aligned}$$

che si divide nuovamente in :

$$\epsilon_f = \epsilon_a + \epsilon_d, \quad \epsilon_a = \frac{f_a(P_1) - f(P_1)}{f(P_1)}, \quad \epsilon_d = \frac{f(P_1) - f(P_0)}{f(P_0)}$$

che chiamiamo rispettivamente **errore relativo algoritmico** e **errore relativo inerente**.

Questo viene da:

$$\epsilon_f = [\dots] = \frac{f_a(P_1) - f(P_1)}{f(P_1)} \cdot \frac{f(P_1)}{f(P_0)} + \frac{f(P_1) - f(P_0)}{f(P_0)}$$

si nota che  $\frac{f(P_1)}{f(P_0)} = 1 + \frac{f(P_1) - f(P_0)}{f(P_0)}$ , e quindi:

$$= \epsilon_a \cdot \left(1 + \frac{f(P_1) - f(P_0)}{f(P_0)}\right) + \epsilon_d = \epsilon_a(1 + \epsilon_d) + \epsilon_d = \epsilon_a + \epsilon_d + \epsilon_a\epsilon_d \approx \epsilon_a + \epsilon_d$$

assumendo  $\epsilon_a\epsilon_d \approx 0$ .

Ci interessa dare stime superiori per i valori assoluti di errori assoluti e relativi, come avevamo fatto per gli errori delle funzioni di arrotondamento da reali a numeri macchina. In generale, quindi, per limitare  $|\sigma_f|$  cercheremo disuguaglianze  $|\sigma_a| < \tau_1$ ,  $|\sigma_d| < \tau_2$ , da cui:

$$|\sigma_f| < \tau_1 + \tau_2$$

### 2.1.3 Stima dell'errore inerente

Avevamo quindi definito l'**errore assoluto inerente**:

$$\sigma_d = f(P_1) - f(P_0)$$

Sotto l'ipotesi  $f \in C^1(D)$  per  $D \subset \mathbb{R}^m$  che contiene  $P_0$ , si può usare lo sviluppo di Taylor di  $f$  in  $P_0$ , troncato al primo ordine:

$$f(P_1) - f(P_0) = f(P_0) + \nabla f(\bar{P})^T (P_1 - P_0) - f(P_0) = \nabla f(\bar{P})^T (P_1 - P_0)$$

$$= \sum_{j=1}^m \frac{\partial f}{\partial x_j}(\bar{P}) \cdot (x_j^{(1)} - x_j^{(0)}) \approx \sum_{j=1}^m \frac{\partial f}{\partial x_j} P_0 \cdot (x_j^{(1)} - x_j^{(0)})$$

dove  $\bar{P}$  è un punto che sta sul segmento  $\overline{P_1 P_0}$ . Da questo potremo dire:

$$\sigma_d = \sum_{j=1}^m \frac{\partial f}{\partial x_j} P_0 \cdot \sigma_j$$

dove  $\sigma_j = (x_j^{(1)} - x_j^{(0)})$  è l'**errore di arrotondamento** nella componente  $j$  di  $P_0$ , e  $\frac{\partial f}{\partial x_j} P_0$  viene detto **coefficiente di amplificazione**.

Per l'**errore relativo inerente**, che avevamo definito come:

$$\epsilon_d = \frac{f(P_1) - f(P_0)}{f(P_0)}$$

potremo fare considerazioni simili:

$$\epsilon_d = \frac{\sum_{j=1}^m \frac{\partial f}{\partial x_j}(P_0) \cdot \sigma_j}{f(P_0)} = \sum_{j=1}^m \frac{x_j^{(1)} - x_j^{(0)}}{x_j^{(0)}} \cdot \frac{\partial f}{\partial x_j}(P_0) \cdot \frac{x_j^{(0)}}{f(P_0)}$$

dove  $\epsilon_j = \frac{x_j^{(1)} - x_j^{(0)}}{x_j^{(0)}}$  sarà l'**errore di arrotondamento relativo** nella componente  $j$  di  $P_0$  e

$P_j = \frac{\partial f}{\partial x_j}(P_0) \cdot \frac{x_j^{(0)}}{f(P_0)}$  viene detto **coefficiente di amplificazione dell'errore relativo**.

La formula finale sarà quindi:

$$\epsilon_d = \sum_{j=1}^m \epsilon_j P_j$$

I problemi in cui si devono calcolare  $f$  i cui coefficienti di amplificazione degli errori relativi sono grandi in modulo (o ce n'è almeno uno sufficientemente grande) si dicono **malcondizionati**. Viceversa, se  $|P_j|$  è vicino a 1 per ogni  $j$  il problema si dice **ben condizionato**, cioè che  $\epsilon_d$  è di un ordine di grandezza comparabile a  $\max(\epsilon_i)$

Notiamo inoltre che il condizionamento di un problema dipende solamente dalla sua struttura matematica.

## 2.1.4 Errori inerenti delle operazioni aritmetiche

Vediamo gli errori inerenti associati alle 4 operazioni aritmetiche  $+$ ,  $-$ ,  $\times$ ,  $\div$ :

Operazione	$\sigma_d$	$\epsilon_d$
$x \oplus y$	$\sigma_x + \sigma_y$	$\frac{x}{x+y} \epsilon_x + \frac{y}{x+y} \epsilon_y$
$x \ominus y$	$\sigma_x - \sigma_y$	$\frac{x}{x-y} \epsilon_x - \frac{y}{x-y} \epsilon_y$
$x \otimes y$	$y \sigma_x + x \sigma_y$	$\epsilon_x + \epsilon_y$
$x \oslash y$	$\frac{1}{y} \sigma_x - \frac{x}{y^2} \sigma_y$	$\epsilon_x - \epsilon_y$

Notiamo come somme e sottrazioni non amplificano gli errori totali, mentre prodotti e divisioni non amplificano gli errori relativi (riguardo agli errori inerenti). Questo significa che somme e sottrazioni possono avere errori relativi grandi quando  $|x + y| \ll \min\{|x|, |y|\}$ . Questo effetto viene detto **cancellazione numerica**.

### 2.1.5 Stima dell'errore algoritmico

Avevamo definito un algoritmo  $f_a(x)$  di cui vogliamo stimare l'errore algoritmico assoluto  $\sigma_a = f_a(P_1) - f(P_1)$ . Assumiamo  $P_1 = Rn(P_0) \in F(\beta, m, L, U)$ , cioè gli operandi come privi di errori iniziali di arrotondamento.

L'idea è di seguire l'errore generato dall'algoritmo sul grafo (o albero) che lo rappresenta sfruttando le relazioni per l'errore inerente nelle 4 operazioni aritmetiche. Prendiamo ad esempio la funzione:

$$f(x, y, z, w) = x \cdot \left( \frac{y}{z} - w \right)$$

Avremo i risultati intermedi:

- $r_1 = \frac{y}{z}$
- $r_2 = r_1 - w$
- $r_3 = r_2 \cdot x$

Di cui riportiamo il grafo:



dove  $\epsilon_3, \epsilon_2$  e  $\epsilon_1$  saranno termini associati ad ogni risultato intermedio che rappresenteranno gli errori di troncamento dei risultati intermedi stessi, e  $\epsilon_{r3}, \epsilon_{r2}$  e  $\epsilon_{r1}$  rappresenteranno gli errori inerenti delle singole operazioni per il calcolo dei risultati intermedi.

Partiamo dalla radice per valutare gli errori:

$$\begin{aligned}
 \epsilon_d &= \epsilon_{r3} = \epsilon_3 + \epsilon_x + \epsilon_{r2} = \epsilon_3 + \epsilon_{r2} \\
 &= \epsilon_3 + \epsilon_2 + \frac{-zw}{y - zw} \cdot \epsilon_w + \frac{y}{y - zw} \cdot \epsilon_{r1} = \epsilon_3 + \epsilon_2 + \frac{y}{y - zw} \cdot \epsilon_{r1} \\
 &= \epsilon_3 + \epsilon_2 + \frac{y}{y - zw} (\epsilon_1 + \epsilon_y - \epsilon_z) = \epsilon_3 + \epsilon_2 + \frac{y}{y - zw} \cdot \epsilon_1 = \epsilon_a
 \end{aligned}$$

Dove abbiamo ignorato i termini di errore relativo  $\epsilon_i$  legati ad ogni variabile (come avevamo detto sopra, gli operandi sono considerati come privi di errore di arrotondamento). Per la stima di  $\epsilon_3, \epsilon_2$  e  $\epsilon_1$ , vale  $\epsilon_i \leq U$  precisione macchina. Nel caso di errori assoluti vale  $|\sigma_i| \leq U \cdot \max(x_i)$  considerata ogni variabile  $x_i$ .

Chiaramente, diversi algoritmi equivalenti in aritmetica esatta potranno avere errori algoritmici diversi fatte tutte le approssimazioni.

Prendiamo ad esempio la funzione  $f(x, y) = x^2 - y^2$ . Potremmo adottare due algoritmi:

1. Si prendono i risultati intermedi:

$$r_1 = x \cdot x$$

$$r_2 = y \cdot y$$

$$r_3 = x - y$$

Da cui il grafo:



Questo approccio potrebbe risultare il più intuitivo: dalla stima dell'errore si ha:

$$\begin{aligned} \epsilon_{r_3} &= \epsilon_1 + \frac{x^2}{x^2 - y^2} \epsilon_{r_1} - \frac{y^2}{x^2 - y^2} \epsilon_{r_2} = \epsilon_1 + \frac{x^2}{x^2 - y^2} (\epsilon_1 + \epsilon_x + \epsilon_x) - \frac{y^2}{x^2 - y^2} (\epsilon_2 + \epsilon_y + \epsilon_y) \\ &= \epsilon_1 + \frac{x^2}{x^2 - y^2} \epsilon_1 - \frac{y^2}{x^2 - y^2} \epsilon_2 \end{aligned}$$

2. Un altro approccio è quello di prendere i risultati intermedi:

$$r_1 = x + y$$

$$r_2 = x - y$$

$$r_3 = r_1 \cdot r_2$$

Da cui il grafo:



Vediamo la stima dell'errore:

$$\begin{aligned} \epsilon_{r_3} &= \epsilon_3 + \epsilon_{r_1} + \epsilon_{r_2} = \epsilon_3 + \epsilon_1 + \frac{x}{x + y} \epsilon_x + \frac{y}{x + y} \epsilon_y + \epsilon_2 + \frac{x}{x - y} \epsilon_x - \frac{y}{x - y} \epsilon_y \\ &= \epsilon_3 + \epsilon_1 + \epsilon_2 \end{aligned}$$

Notiamo che la stima dell'errore del secondo approccio è più conveniente, in quanto più strettamente limitata al di sotto di un valore fisso:  $\epsilon_1 + \epsilon_2 + \epsilon_3 = 3U$ , contro il  $\left(1 + \frac{|x^2 + y^2|}{|x^2 - y^2|}\right) U$  del primo approccio.

Abbiamo visto quindi tenciche per la stima di  $\epsilon_a$  e  $\epsilon_d$  ( $\sigma_a$  e  $\sigma_d$ ), che ci permettono di calcolare  $|\epsilon_f| \leq |\epsilon_a| + |\epsilon_d|$  ( $|\sigma_f| \leq |\sigma_a| + |\sigma_d|$ ).

### 2.1.6 Problema diretto

Un problema classico sarà quello di, data  $f$ , un algoritmo risolutivo  $f_a$  e una stima degli errori  $d_{x_i}$ , di stimare  $\sigma_f$  per  $P_0 \in D \subset \mathbb{R}^m$ .

Ad esempio, prendiamo la funzione:

$$f : D \rightarrow \mathbb{R}, \quad f(x_1, x_2) = \frac{x_1}{x_2}, \quad D = [1, 3] \times [4, 5]$$

Diamo una stima dell'errore di arrotondamento delle variabili:

$$|\sigma_{x_i}| \leq \frac{1}{2} \cdot 10^{-2}$$

- Iniziamo con la stima dell'errore inerente. Si ha, dall'errore assoluto inerente della divisione:

$$\sigma_d = \frac{1}{x_2} \sigma_{x_1} - \frac{x_1}{x_2^2} \sigma_{x_2}$$

Quello che ci interessa è dare stime superiori, quindi prendiamo i due valori:

$$\left| \frac{1}{x_2} \right| \approx \frac{1}{4}, \quad \left| \frac{x_1}{x_2^2} \right| \approx \frac{7}{16}$$

Dai valori massimi che si possono ottenere sul dominio  $D$ , da cui:

$$|\sigma_d| \leq \frac{1}{4} \cdot \frac{1}{2} \cdot 10^{-2} + \frac{7}{16} \cdot \frac{1}{2} \cdot 10^{-2} = \left( \frac{1}{8} + \frac{7}{32} \right) \cdot 10^{-2} = \frac{7}{32} \cdot 10^{-2}$$

- Vediamo quindi la stima dell'errore algoritmico. L'albero dell'algoritmo sarà banalmente:

$$\begin{array}{c} r_1 = \frac{x_1}{x_2} \\ / \quad \backslash \\ x_1 \quad x_2 \end{array}$$

da cui posto  $\sigma_{x_i} = 0$  resterà solo l'errore di arrotondamento assoluto  $\sigma_1$ :

$$|\sigma_a| = \sigma_1 = U \cdot \max \left( \frac{x_1}{x_2} \right) = \frac{3}{4} \cdot \frac{1}{2} \cdot 10^{-2} = \frac{3}{8} \cdot 10^{-2}$$

Otteniamo quindi l'errore totale come la somma dell'errore algoritmico e dell'errore inerente, cioè:

$$|\sigma_f| = |\sigma_a| + |\sigma_d| = \left( \frac{7}{32} + \frac{3}{8} \right) \cdot 10^{-2} = \frac{19}{32} \cdot 10^{-2}$$

### 2.1.7 Problema inverso

Il problema inverso potrebbe essere quello di, dato  $\tau > 0$ ,  $f$  e un punto  $P_0 \in \mathbb{R}^n$ , determinare un algoritmo ed un valore di precisione macchina  $U$  tali per cui  $|s_f| < \tau$ .

Prendiamo ad esempio il problema considerato prima, ma sul dominio:

$$D = [1, 2] \times [-2, -1]$$

e cerchiamo una precisione macchina  $U$  tale per cui l'errore assoluto  $\sigma_f$  è limitato a  $\tau = 10^{-2}$ , cioè:

$$|\sigma_f| \leq 10^{-2}$$

- Iniziamo di nuovo con la stima dell'errore inerente. Dagli stessi errori inerenti considerati prima si hanno le stime:

$$\left| \frac{1}{x_2} \right| \approx 1, \quad \left| \frac{x_1}{x_2^2} \right| \approx 2$$

Dai valori massimi che si possono ottenere sul dominio  $D$ , da cui:

$$|\sigma_d| \leq U + 2U = 3U$$

- Vediamo quindi la stima dell'errore algoritmico, che prendendo il valore massimo della funzione in maniera analoga a prima sarà:

$$|\sigma_a| = \sigma_1 = U \cdot \max \left( \frac{x_1}{x_2} \right) = 2U$$

L'errore totale sarà quindi:  $|\sigma_f| = |\sigma_a| + |\sigma_d| = 3U + 2U = 5U$

Imponiamo quindi la disuguaglianza iniziale, cioè:

$$|\sigma_f| = 5U \leq 10^{-2} \implies U \leq \frac{1}{5} \cdot 10^{-2}$$

### 3 Lezione del 03-03-25

#### 3.1 Riassunto sulla stima dell'errore

Riassumiamo quindi le regole viste per la stima dell'errore su funzioni razionali. Avevamo dato la definizione di errore **assoluto**  $\sigma_f$  e errore **relativo**  $\epsilon_f$ , entrambi composti da due fattori denominati errore **algoritmico** e errore **inerente**, con pedici rispettivamente  $a$  e  $d$ .

- Riguardo all'errore **inerente assoluto** avevamo preso su un dominio  $D$  la stime:

$$|\sigma_d| \leq \sum_{j=1}^m A_j \cdot |\sigma_j|$$

con  $|\sigma_j|$  **errore di arrotondamento** e  $A_j$  **coefficiente di amplificazione**:

$$A_j = \max_{P \in D} \left( \frac{\partial f}{\partial x_j}(P) \right)$$

Per l'errore di arrotondamento avevamo visto potevamo prendere:

$$|\sigma_j| \leq U \cdot |x_j|$$

con  $U$  precisione macchina.

- Riguardo all'**errore inerente relativo** avevamo invece preso:

$$|\epsilon_d| \leq \sum_{j=1}^m \bar{A}_j \cdot |\epsilon_j|$$

con  $|\epsilon_j|$  **errore di arrotondamento relativo** e  $\overline{\sigma_j}$  **coefficiente di amplificazione relativo**:

$$\overline{A_j} = \max_{P \in D} \left( \frac{x_j \cdot \frac{\partial f}{\partial x_j}(P)}{f(P)} \right)$$

Per l'errore di arrotondamento relativo potevamo quindi prendere:

$$|\epsilon_j| \leq U$$

Vediamo come ultimo esempio il calcolo dell'errore relativo  $|\epsilon_f|$  per la funzione:

$$f(x_1, x_2) = (x_1 + 1)x_1 + x_2$$

- Iniziamo con il calcolo dell'errore inerente, senza fare assunzioni su  $\epsilon_{x_i}$ :

$$|\epsilon_d| \leq \frac{x_1 \cdot \frac{\partial f}{\partial x_1}(x_1, x_2)}{f(x_1, x_2)} \epsilon_{x_1} + \frac{x_2 \cdot \frac{\partial f}{\partial x_2}(x_1, x_2)}{f(x_1, x_2)} \epsilon_{x_2} = \frac{x_1(2x_1 + 1)}{(x_1 + 1)x_1 + x_2} \epsilon_{x_1} + \frac{x_2}{(x_1 + 1)x_1 + x_2} \epsilon_{x_2}$$

- Calcoliamo poi l'errore algoritmico dell'algoritmo:

$$\begin{array}{c} r_3 = r_2 + x_2 \\ \swarrow \quad \searrow \\ r_2 = r_1 x_1 \quad x_2 \\ \swarrow \quad \searrow \\ r_1 = x_1 + 1 \quad x_1 \\ \swarrow \quad \searrow \\ x_1 \quad 1 \end{array}$$

da cui:

$$\begin{aligned} |\epsilon_a| &\leq \epsilon_3 + \frac{(x_1 + 1)x_1}{(x_1 + 1)x_1 + x_2} \epsilon_{r_2} + \frac{x_2}{(x_1 + 1)x_1 + x_2} \epsilon_{x_2} = \epsilon_3 + \frac{(x_1 + 1)x_1}{(x_1 + 1)x_1 + x_2} (\epsilon_2 + \epsilon_{r_1} + \epsilon_{x_1}) \\ &= \epsilon_3 + \frac{(x_1 + 1)x_1}{(x_1 + 1)x_1 + x_2} (\epsilon_2 + \epsilon_1 + \frac{x_1}{x_1 + 1} \epsilon_{x_1} + \frac{1}{x_1 + 1} \cdot 0) = \epsilon_3 + \frac{(x_1 + 1)x_1}{(x_1 + 1)x_1 + x_2} (\epsilon_2 + \epsilon_1) \end{aligned}$$

Abbiamo quindi l'errore complessivo:

$$|\epsilon_f| \leq |\epsilon_a| + |\epsilon_d| = \epsilon_3 + \frac{(x_1 + 1)x_1}{(x_1 + 1)x_1 + x_2} (\epsilon_2 + \epsilon_1) + \frac{x_1(2x_1 + 1)}{(x_1 + 1)x_1 + x_2} \epsilon_{x_1} + \frac{x_2}{(x_1 + 1)x_1 + x_2} \epsilon_{x_2}$$

### 3.2 Errori di funzioni non razionali

Abbiamo finora trascurato il caso di funzioni non razionali. Prendiamo ad esempio di voler calcolare l'errore su funzioni come  $e^{\cos(x+y)}$ . In questo caso sarà necessario usare un'approssimazione razionale di  $f$  che chiamiamo  $\bar{f}$ , che poi porteremo a  $\bar{f}_a$  che usa operazioni macchina detta **algoritmo**. In questo caso l'errore sarà dato dall'*errore inerente*, dall'*errore algoritmico* e dall'**errore analitico**  $\sigma_{an}$  della funzione, cioè potremo dire:

$$\bar{f}_a(P_1) - f(P_0) = \bar{f}_a(P_1) - \bar{f}(P_1) + \bar{f}(P_1) - f(P_1) + f(P_1) - f(P_0) = \sigma_a + \sigma_{an} + \sigma_d$$

L'errore inerente sarà calcolato sulla  $f$  originale, mentre l'errore analitico sarà calcolato con la nuova  $\bar{f}$ , e in particolare dipenderà dall'approssimazione razionale che usiamo.

Vediamo per adesso approssimazioni polinomiali attraverso la **formula di Taylor**. Nel caso scalare si ha:

### Teorema 3.1: Formula di Taylor

Data  $f : \mathbb{R} \rightarrow \mathbb{R}$ ,  $f \in C^1$ , allora dato  $x_0 \in \mathbb{R}$  si ha:

$$f(x) = \sum_{n=0}^k \frac{f^{(n)}(x_0)}{n!} \cdot (x - x_0)^n + \frac{f^{(k+1)}(\eta)}{(k+1)!} (x - x_0)^{k+1}$$

Dove:

$$\epsilon_l = \frac{f^{(k+1)}(\eta)}{(k+1)!} (x - x_0)^{k+1}$$

rappresenta l'**errore di Lagrange** al  $k$ -esimo grado, con  $\eta \in [x_0, x]$  il punto di massimo della  $k+1$ -esima derivata di  $f$ .

In questo caso:

$$\bar{f}(x) = \sum_{n=0}^k \frac{f^{(n)}(x_0)}{n!} \cdot (x - x_0)^n$$

cioè la serie di Taylor troncata al  $k$ -esimo grado sarà una buona approssimazione per  $f$ , e l'errore analitico sarà dato da:

$$\sigma_{an} = R(x) = f(x) - T(x, k, x_0)$$

con  $R(x)$  il resto fra lo sviluppo di Taylor troncato  $T(x, k)$  e la funzione stessa  $f(x)$ . In questo caso fissato  $k$  si potrà dare una stima di errore direttamente dall'errore di Lagrange, cioè:

$$R(x) = f(x) - T(x, k, x_0) = \frac{f^{(k+1)}(\eta)}{(k+1)!} (x - x_0)^{k+1}$$

e più in particolare, sfruttando il limite superiore dato da:

$$R(x) \leq \epsilon_l = \frac{\max_{[x_0, x]} (f^{(k+1)})}{(k+1)!} (x - x_0)^{k+1} = \frac{M}{(k+1)!} (x - x_0)^{k+1}$$

### 3.2.1 Approssimazione dell'esponenziale

Prendiamo di volere calcolare l'errore dato dall'approssimazione dell'esponenziale al  $k$ -esimo grado su un intervallo comprensivo di  $x_0 = 0$ , che chiamiamo  $D = [-l, u]$ . Avremo quindi l'approssimazione:

$$e^x = T(x, k, 0) = \sum_{n=0}^k \frac{(x - x_0)^n}{n!}$$

e la funzione resto:

$$R(x) = e^x - T(x, k, 0) = \frac{f^{(k+1)}(\eta)}{(k+1)!} x^{k+1}$$



prendiamo quindi la stima superiore di  $f^{(k+1)}(\eta)$  su  $\eta \in D$  (il caso peggiore sarà quello in cui valutiamo  $x$  sull'estremo superiore  $u$ ):

$$f^{(k+1)}(\eta) \leq \max_{\eta \in [0, u]} f^{(k+1)}(\eta) = e^u$$

da cui:

$$R(x) \leq \frac{e^u x^{k+1}}{(k+1)!}$$

Stimiamo allora l'errore analitico relativo come:

$$|\epsilon_{an}| = \frac{R(x)}{f(x)} \leq \frac{\max_{[-l, u]} \left| \frac{e^u x^{k+1}}{(k+1)!} \right|}{\min_{[-l, u]} e^x} = \frac{e^{u-l} u^{k+1}}{(k+1)!}$$

### 3.2.2 Note sull'implementazione dell'esponenziale

Vediamo alcuni dettagli sull'implementazione pratica di un'approssimazione dell'esponenziale nel linguaggio MATLAB/Octave. Il primo modo che potrebbe venire in mente prevede di mantenere un numeratore e un denominatore:

```

1 function val = myexp1(x, n)
2     num = 1;
3     den = 1;
4
5     val = 1;
6
7     for i = 1:n
8         num = num * x;
9         den = den * i;
10
11         val = val + num / den;
12     end
13 end

```

Notiamo però che questo approccio presenta notevole instabilità numerica con grandi valori di  $k$ , ad esempio si veda:

```

1 >> myexp(20, 500)
2 ans =
3     NaN

```

Questo deriva dal fatto che per grandi valori di  $k$  si ottiene eventualmente  $\text{num} = \text{Inf}$  e  $\text{den} = \text{Inf}$ , da cui il **NaN**. Un'approccio migliore si ha quindi mantenendo direttamente il termine e accumulandolo:

```

1 function acc = myexp2(x, n)
2     term = 1;
3     acc = 1;
4
5     for i = 1:n
6         term = term * x / i;
7         acc = acc + term;
8     end
9 end

```

Notiamo però che in questo caso si hanno problemi di cancellazione per argomenti negativi, ad esempio si veda:

```

1 >> myexp(-30, 500)
2 ans =
3 -3.0668e-05

```

In questo caso si ha più accuratezza imponendo argomenti positivi, ad esempio sfruttando:

$$e^{-x} = \frac{1}{e^x}$$

Si veda ad esempio:

```

1 >> 1/myexp(30, 500)
2 ans =
3 9.3576e-14

```

Modifichiamo quindi la funzione per rilevare automaticamente esponenti negativi e adottare la forma corretta:

```

1 function acc = myexp3(x, n)
2     neg = false;
3     if x < 0
4         neg = true;
5         x = -x;
6     end
7
8     term = 1;
9     acc = 1;
10
11    for i = 1:n
12        term = term * x / i;
13        acc = acc + term;
14    end
15
16    if neg
17        acc = 1 / acc;
18    end
19 end

```

Provando questa funzione su un range di interi da  $-30$  a  $30$ , con la serie di Taylor troncata a  $500$ , dà un errore massimo rispetto al valore reale di circa  $10^{-16} \sim 10^{-17}$ .

Veniamo quindi a fare alcuni richiami di algebra lineare. Nella maggior parte dei casi che ci interessano vorremo trattare non di scalari, ma di quantità vettoriali, ad esempio  $x \in \mathbb{C}^n$ , con  $n > 1$ .

### 3.3 Matrici complesse

Ci saranno utili le matrici perchè rappresentano direttamente tutte le **funzioni lineari**. Ad esempio, posta  $f: \mathbb{C}^n \rightarrow \mathbb{C}^m$  tale che:

- $f(x + y) = f(x) + f(y)$  (addittività);
- $f(\lambda x) = \lambda f(x)$  (omogeneità)

detta *funzione lineare* allora  $\exists! A \in \mathbb{C}^{m \times n}$  tale che  $f(x) = Ax, \forall x \in \mathbb{C}^n$ .

Nel corso useremo sia matrici in  $\mathbb{R}$  che matrici in  $\mathbb{C}$ , dove l'appartenenza a ciascuno di questi campi dipende dalla appartenenza di essi delle **entrate**  $A_{ij}$  della matrice. In ogni caso, una matrice reale non sarà che un caso particolare delle matrici complesse.

Si danno poi per scontate le definizioni di matrici:

- *Quadrate* ( $n = m$ );
- *Rettangolari* ( $n \neq m$ );
- *Diagonali* (elementi nulli fuori dalla diagonale);
- *Triangolari superiori/inferiori* (elementi nulli sotto/sopra la diagonale)

### 3.3.1 Trasposta coniugata

Definiamo infine la **trasposta coniugata** di una certa matrice, generalizzata al campo complesso dalla **matrice hermitiana**:

#### Definizione 3.1: Trasposta coniugata

Data una matrice  $A \in \mathbb{C}^{n \times m}$ , la trasposta coniugata  $A^T$  sarà:

$$(A^T)_{ij} = A_{ji}$$

e la matrice hermitiana  $A^H$  sarà:

$$(A^H)_{ij} = \overline{A_{ji}}$$

## 3.4 Algebra vettoriale

Diamo alcune nozioni riguardo alle operazioni fra vettori.

### 3.4.1 Prodotto scalare

Diamo la definizione di prodotto scalare, generalizzato al campo complesso dal **prodotto hermitiano** (entrambi *prodotti interni*):

#### Definizione 3.2: Prodotto interno

Definiamo il prodotto interno fra due vettori  $x, y \in \mathbb{C}^n$  come:

$$\langle x, y \rangle = \sum_{j=1}^n x_j \overline{y_j}$$

dove  $\overline{y_j}$  rappresenta il **coniugato** di  $y_j$ , che chiaramente in  $\mathbb{R}$  si riduce a  $y_j$  stesso e quindi:

$$\langle x, y \rangle = \sum_{j=1}^n x_j y_j, \quad x, y \in \mathbb{R}^n$$

### 3.4.2 Indipendenza lineare

Diamo la definizione di indipendenza lineare:

#### Definizione 3.3:

Un insieme di vettori  $\{x_1, \dots, x_s\}$  si dice linearmente indipendente se:

$$x_1 + \dots + x_s = 0 \Leftrightarrow x_1, \dots, x_s = 0$$

Possiamo sfruttare l'indipendenza lineare per definire **basi**:

#### Definizione 3.4: Base

Se  $s = n$  l'insieme  $\{x_1, \dots, x_s\}$  si dice **base** di  $\mathbb{C}^n$ .

Questo significa che  $\forall y \in \mathbb{C}^n, \exists! \{c_1, \dots, c_s\}$  tali che  $y = \sum_{j=1}^n c_j x_j$ , cioè combinazioni lineari dei vettori di base individuano qualsiasi vettore nello spazio  $\mathbb{C}^n$ .

### 3.5 Operazioni fra matrici

Date due matrici  $A$  e  $B$  con lo stesso numero di righe e colonne si possono definire le operazioni:

- **Somma:**  $A, B, C \in \mathbb{C}^{m \times n}, A + B = C, c_{ij} = a_{ij} + b_{ij}$ ;
- **Prodotto:**  $A \in \mathbb{C}^{m \times n}, B \in \mathbb{C}^{n \times p}, C \in \mathbb{C}^{m \times p}, A \cdot B = C, c_{ij} = \sum_{h=1}^n a_{ih} b_{hj}$  sia in reali che in complessi.

#### 3.5.1 Considerazioni computazionali sulle operazioni matriciali

Dal punto di vista computazionale, è immediato che il prodotto scalare ha complessità  $O(n)$ , la somma matriciale ha complessità  $O(m \cdot n)$ .

Per la moltiplicazione matriciale, poste:

$$A \in \mathbb{C}^{m \times n}, \quad B \in \mathbb{C}^{n \times p} \implies A \cdot B = C \in \mathbb{C}^{m \times p}$$

si ha che la complessità è  $O(m \cdot n \cdot p)$ .

L'ultimo risultato dipende dal fatto che la moltiplicazione richiede di effettuare effettivamente  $m \cdot p$  prodotti scalari, e  $n$  è la lunghezza di uno di questi prodotti scalari, cioè il numero di colonne di  $A$  o di righe di  $B$  (che sappiamo essere uguali perché la moltiplicazione sia possibile in primo luogo).

Questo significa che per matrici quadrate si ha generalmente complessità  $O(n^3)$  (anche se esistono algoritmi che si avvicinano al bound inferiore di  $O(n^2)$ ).

## 4 Lezione del 07-03-25

Proseguiamo i richiami di algebra lineare.

### 4.0.1 Approfondimento sulle prestazioni delle operazioni matriciali

Usiamo MATLAB per studiare il tempo di computazione richiesto per effettuare alcune delle operazioni che abbiamo visto.

- Potremmo iniziare con il **prodotto scalare**. Avevamo detto che la complessità era  $O(n)$ . Scriviamo allora uno script per valutare, in scala logaritmica, il prodotto scalare fra vettori di dimensioni crescenti:

```
1 function n = time_scalar(num, base, mul)
2     if nargin < 3
3         mul = 100;
4     end
5     if nargin < 2
6         base = 2;
```

```

7   end
8
9   n = zeros(num, 1);
10  for i = 1:num
11      n(i) = base^(i - 1) * mul;
12  end
13
14  times = zeros(num, 1);
15
16  for i = 1:num
17      A = randn(1, n(i));
18      B = randn(n(i), 1);
19      tic;
20      C = A * B;
21      times(i) = toc;
22  end
23
24  loglog(n, times);
25  xlabel('Size');
26  ylabel('Computation Time (s)');
27  end

```

Un esempio di esecuzione potrebbe allora essere:

```

1 >> n = time_scalar(20);
2 >> hold on;
3 >> loglog(n, n * 10^-9);
4 >> hold off;

```

dove si è cercato di fare il *fitting* della curva ottenuta con la funzione  $y = x$  (dove la variabile è chiaramente  $n$ , e si è aggiunta una costante moltiplicativa  $k$  per avvicinarci di più al grafico originale). Il grafico ottenuto è quindi:



Vediamo dal grafico che le prestazioni sono effettivamente vicine a quelle previste dalla complessità computazionale, se non per errori dati all'overhead di inizializzazione del timer `tic` e `toc` di MATLAB (lato sinistro del grafico) e della velocità generale molto elevata delle operazioni, che rende più visibile il rumore dato dallo scheduling della CPU e altri fattori di basso livello.

- Vediamo allora l'andamento del **prodotto fra matrici**. Lo script MATLAB è praticamente identico al precedente:

```

1 function n = time_matrix(num, base, mul)
2     if nargin < 3
3         mul = 100;
4     end
5     if nargin < 2
6         base = 2;
7     end
8
9     n = zeros(num, 1);
10    for i = 1:num
11        n(i) = base^(i - 1) * mul;
12    end
13
14    times = zeros(num, 1);
15
16    for i = 1:num
17        A = randn(n(i));
18        B = randn(n(i));
19        tic;
20        C = A * B;
21        times(i) = toc;
22    end
23
24    loglog(n, times);
25    xlabel('Size');
26    ylabel('Computation Time (s)');
27 end

```

che eseguito come:

```

1 >> n = time_matrix(7);
2 >> hold on;
3 >> loglog(n, n.^3 * 10^-11);
4 >> hold off;

```

ci restituisce il grafico:



che notiamo essere già più vicino del prodotto scalare (a causa del tempo di esecuzione maggiore richiesto, che "maschera" bene gli effetti a basso livello della CPU).

#### 4.1 Proprietà del prodotto matriciale

Abbiamo che in genere il prodotto fra matrici non è **commutativo**, cioè:

$$AB \neq BA$$

di contro, vale l'**associativa**:

$$(A \cdot B) \cdot C = A \cdot (B \cdot C)$$

e la **distributiva**, separatamente ai due lati:

$$(A + B) \cdot C = A \cdot C + B \cdot C$$

$$C \cdot (A + B) = C \cdot A + C \cdot B$$

Inoltre, notiamo che quello delle matrici non è un *dominio integrale*:

$$A \cdot B = 0 \not\Rightarrow A = 0 \vee B = 0$$

Vediamo ad esempio come sfruttare la proprietà associativa può permetterci di ottenere algoritmi più veloci. Supponiamo di voler calcolare:

$$(A \cdot B) \cdot C = A \cdot (B \cdot C)$$

con  $A \in \mathbb{C}^{m \times n}$ ;  $B \in \mathbb{C}^{n \times p}$ ,  $C \in \mathbb{C}^{p \times q}$ .

L'uguaglianza ci darà due metodi:

- $(A \cdot B) \cdot C$ :
  - $A \cdot B = P \in \mathbb{C}^{m \times p}, \quad O(m \cdot n \cdot p)$
  - $P \cdot C = R \in \mathbb{C}^{m \times q}, \quad O(m \cdot p \cdot q)$ $\implies O(mnp + mpq) = O(mp(n + q))$
- $A \cdot (B \cdot C)$ :
  - $B \cdot C = P \in \mathbb{C}^{n \times q}, \quad O(n \cdot p \cdot q)$
  - $A \cdot P = R \in \mathbb{C}^{m \times q}, \quad O(m \cdot n \cdot q)$ $\implies O(npq + mnq) = O(nq(p + m))$

che sono quindi uguali per  $m = n = p$ , ma (anche radicalmente diversi) diversi al variare di questi parametri.

In generale, quindi, se si hanno matrici con poche righe o poche colonne, è opportuno cercare di mantenere questa proprietà più a lungo possibile nei risultati intermedi.

Possiamo fare considerazioni simili a quelle fatte sull'associativa con la distributiva. Ad esempio, posta l'uguaglianza:

$$(A + B) \cdot C = AC + BC$$

con  $A, B \in \mathbb{C}^{m \times n}$  e  $C \in \mathbb{C}^{n \times p}$ , abbiamo due metodi:

- $(A + B) \cdot C$ :
  - $A + B = P \in \mathbb{C}^{m \times n}, \quad O(m \cdot n)$
  - $P \cdot C = R \in \mathbb{C}^{m \times p}, \quad O(m \cdot n \cdot p)$ $\implies O(mn + mnp) = O(mn(1 + p))$
- $AC + BC$ :
  - $A \cdot C = P_1 \in \mathbb{C}^{m \times p}, \quad O(m \cdot n \cdot p)$
  - $B \cdot C = P_2 \in \mathbb{C}^{m \times p}, \quad O(m \cdot n \cdot p)$ $\implies O(mnp + mnp + mp) = O(mp(1 + 2n))$

che sono sì asintoticamente uguali per  $m = n = p$  ( $O(n^3)$ ), ma non esattamente uguali in quanto da un lato si ha  $O(n^2 + n^3)$  e dall'altro  $O(n^2 + 2n^3)$ . Questo risulta chiaramente dal fatto che col secondo metodo decidiamo di effettuare il prodotto matriciale (che è l'operazione più costosa) non una ma 2 volte.

Un'altra proprietà del prodotto di matrici è che si può vedere il risultato riga per riga o colonna per colonna nei seguenti modi:

$$A = \begin{pmatrix} A_1 \\ \dots \\ A_m \end{pmatrix}, \quad B = \begin{pmatrix} B_1 & \dots & B_p \end{pmatrix}$$

$$\implies A \cdot B = \begin{pmatrix} A \cdot B_1 & \dots & A \cdot B_p \end{pmatrix} = \begin{pmatrix} A_1 B \\ \dots \\ A_m B \end{pmatrix}$$

Questo ci dice che le colonne (le righe) di  $C = A \times B$  sono combinazioni lineari delle colonne (delle righe) di  $A$ .



## 4.2 Determinante

Abbiamo visto la definizione di **determinante** per matrici quadrate:

### Definizione 4.1: Determinante

Si definisce la funzione:

$$\det(A) : \mathbb{C}^{n \times n} \rightarrow \mathbb{C}$$

con:

$$\det(A) = \begin{cases} a_{11}, & n = 1 \\ a_{11}a_{22} - a_{12}a_{21}, & n = 2 \\ \sum_{j=1}^n (-1)^{i+j} \det(A_{ij}), & n > 2 \quad (\text{sviluppo di Laplace}) \end{cases}$$

determinante.

Osserviamo che il calcolo del determinante attraverso lo sviluppo di Laplace ha complessità algoritmica  $O(n!)$ .

### 4.2.1 Proprietà del determinante

Sappiamo che  $A$  invertibile  $\Leftrightarrow \det(A) \neq 0$  (cioè  $A$  **singolare**). Inoltre valgono:

$$\det(A^T) = \det(A)$$

$$\det(A^H) = \overline{\det(A)}$$

## 4.3 Rango

Vediamo poi come ci può servire il determinante delle **sottomatrici**:

### Definizione 4.2: Sottomatrice

Una sottomatrice di  $A$  è una matrice ottenuta prendendo la restrizione di  $A$  a un sottoinsieme di righe e di colonne, cioè data  $A \in \mathbb{C}^{n \times n}$ ,  $I, J \subseteq \{1, \dots, n\}$  con  $|I| = n_1$  e  $|J| = n_2$ , sarà allora:

$$A(I, J) \in \mathbb{C}^{n_1 \times n_2}$$

ottenuta incrociando le righe in  $I$  con le colonne in  $J$ .

Definiamo quindi i **minori**:

### Definizione 4.3: Minore

Si dice minore di ordine  $k$ , con  $k \in \{1, \dots, n\}$  il determinante di una sottomatrice quadrata  $k \times k$ .

E le sottomatrici **principali** e **principali di testa**:

### Definizione 4.4: Sottomatrice principale

Una sottomatrice si dice principale se gli insiemi  $I, J$  usati per estrarla sono  $I = J$ .

**Definizione 4.5: Sottomatrice principale di testa**

Una sottomatrice quadrata di ordine  $k$  si dice sottomatrice principale di testa se  $I = J = \{1, \dots, k\}$ .

Allo stesso modo si possono definire **matrici di coda** (basterà prendere indici da  $k$  ad  $n$ ).

Possiamo quindi definire il **rango** di matrice:

**Definizione 4.6: Rango**

Il rango  $\text{rank}(A)$  di una matrice  $A$  è definito come il massimo numero di colonne (o di righe) linearmente indipendenti, ed è uguale all'ordine massimo dei minori  $\neq 0$  in  $A$ .

**4.3.1 Proprietà del rango**

Caso particolare del rango sarà chiaramente quello dove prendiamo come sottomatrice la matrice stessa:  $\det(A) \neq 0 \Leftrightarrow \text{rank}(A) = n$ , e quindi gli insiemi delle colonne e delle righe di  $A$  sono tutte linearmente indipendenti.

Si ha poi che:

$$\text{rank}(A) = \dim(\text{Im}(A))$$

dove  $\text{Im}(A)$  è la dimensione dell'**immagine** di  $A$ :

$$\text{Im}(A) = \{y \in \mathbb{C}^m : y = Ax, x \in \mathbb{C}^n\}$$

**4.3.2 Teorema di Binet-Cauchy**

Concludiamo enunciando il teorema di Binet-Cauchy sul determinante rispetto al prodotto matriciale.

**Teorema 4.1: di Binet-Cauchy**

Prese due matrici,  $A \in \mathbb{C}^{n \times n}$  e  $B \in \mathbb{C}^{n \times n}$ , e  $C = A \cdot B$  di dimensioni uguali, sarà:

$$\det(C) = \det(A) \cdot \det(B)$$

Nel caso generale avremo  $A \in \mathbb{C}^{n \times p}$  e  $B \in \mathbb{C}^{p \times n}$ , da cui:

$$\det(C) = \begin{cases} 0, & p > n \\ \sum_j A_{[j]} \cdot B_{[j]} & p \leq n \end{cases}$$

dove  $A_{[j]}$  e  $B_{[j]}$  sono i minori di ordine  $n$  relativi alla stessa scelta di indici in  $A$  e in  $B$ .

La dimostrazione di questo teorema si basa sullo sviluppo dei cofattori della matrice  $A \cdot B$ , dove si possono riarrangiare i termini per ottenere gli sviluppi dei cofattori delle matrici  $A$  e  $B$ .

## 4.4 Matrice inversa

Diamo la definizione di **matrice inversa**:

### Definizione 4.7: Matrice inversa

Data  $A \in \mathbb{C}^{n \times n}$  tale che  $\det(A) \neq 0$ , si definisce  $A^{-1} \in \mathbb{C}^{n \times n}$  tale che:

$$A \cdot A^{-1} = A^{-1} \cdot A = I$$

Se si guarda ad  $A$  come una funzione lineare  $A : \mathbb{C}^n \rightarrow \mathbb{C}^n$ , sarà che:

$$A : x \rightarrow Ax, \quad A^{-1} : Ax \rightarrow x$$

questo da:

$$(A^{-1} \circ A)(x) = A^{-1}(Ax) = A^{-1}Ax = Ix = x$$

□

### 4.4.1 Proprietà della matrice inversa

Vediamo alcune proprietà di  $A^{-1}$ :

1. Ricordiamo di nuovo che  $A^{-1}$  esiste se e solo se  $\det(A) \neq 0$ , cioè equivalentemente se  $\text{rank}(A) = n$ , o  $A$  ha spazi riga e colonna linearmente indipendenti;
2. Vediamo poi il calcolo di  $\det(A^{-1})$ : da  $\det(I) = 1$ , e:

$$\det(A \cdot A^{-1}) = \det(A) \cdot \det(A^{-1}), \quad (\text{Binet})$$

$$\implies \det(A^{-1}) = \frac{1}{\det(A)}$$

3. Vediamo poi che:

$$(A \cdot B)^{-1} = B^{-1}A^{-1}$$

per matrici quadrate  $A, B \in \mathbb{C}^{n \times n}$ ;

4. Riguardo alle trasposte e alle Hermitiane vale:

$$(A^T)^{-1} = (A^{-1})^T = A^{-T}$$

$$(A^H)^{-1} = (A^{-1})^H = A^{-H}$$

e:

$$(AB)^T = B^T A^T$$

$$(AB)^H = B^H A^H$$

## 4.5 Matrici particolari

Definiamo alcune matrici particolari:

### Definizione 4.8: Matrici particolari

Data  $A \in \mathbb{C}^{n \times n}$ , si dice di  $A$  che è:

- **Hermitiana:**  $A = A^H$ ;
- **Antiermitiana:**  $A = -A^H$ ;
- **Unitaria**  $A^H A = A A^H = I$ ,  $A^{-1} = A^H$ ;
- **Normale**  $A^H A = A A^H$ ;
- **Simmetrica**  $A = A^T$ ;
- **Antisimmetrica**  $A = -A^T$ ;
- **Ortagonale**  $A^T A = A A^T = I$ ,  $A^T = A^{-1}$

dove notiamo che **simmetrica** e **antisimmetrica** significano *hermitiana* e *antihermitiana* in  $\mathbb{R}$ , e **ortogonale** significa *unitaria* in  $\mathbb{R}$ .

Per di più vale:

$$\{\text{matrici simmetriche reali}\} \subseteq \{\text{matrici hermitiane}\} \subseteq \{\text{matrici normali}\}$$

e:

$$\{\text{matrici ortogonali}\} \subseteq \{\text{matrici unitarie}\}$$

dove notiamo che unitarie ed ortogonali hanno l'inversa "facile", nel senso che basta trasporre o trovare l'hermitiana.

## 4.6 Matrici di permutazione

Definiamo le **matrici di permutazione**:

### Definizione 4.9: Matrice di permutazione

$A \in \mathbb{R}^{n \times n}$  si dice matrice di permutazione se  $A$  si ottiene dalla matrice di identità permutandone righe e colonne.

### 4.6.1 Proprietà delle matrici di permutazione

Tutte le matrici di permutazione sono matrici ortogonali (questo si vede dalla loro unimodularità, o osservando che  $P^T$  si ottiene dalla permutazione inversa).

Inoltre, vediamo che il prodotto di  $A$  con una matrice di permutazione si limita a scambiare righe e colonne in accordo con la permutazione della matrice. In particolare,  $A \cdot P$  dà la permutazione delle colonne, mentre  $P \cdot A$  dà la permutazione delle righe.

## 4.7 Sistemi lineari

Abbiamo un sistema di  $m$  equazioni lineari in  $n$  incognite:

$$\begin{cases} a_{11}x_1 + \dots a_{1n}x_n = b_1 \\ \dots \\ a_{m1}x_1 + \dots a_{mn}x_n = b_m \end{cases}$$

Ci è spesso utile riscrivere sistemi di questo tipo in forma matriciale:

$$A = \begin{pmatrix} a_{11} & \dots & a_{1n} \\ \dots & \dots & \dots \\ a_{m1} & \dots & a_{mn} \end{pmatrix} \in \mathbb{C}^{m \times n}, \quad x = \begin{pmatrix} x_1 \\ \dots \\ x_n \end{pmatrix} \in \mathbb{C}^n, \quad b = \begin{pmatrix} b_1 \\ \dots \\ b_m \end{pmatrix} \in \mathbb{C}^m$$

Il problema principe sarà quello, date  $A$  e  $b$ , di trovare  $x$ .

### 4.7.1 Teorema di Rouché-Capelli

Richiamiamo il teorema:

#### Teorema 4.2: di Rouché-Capelli

$Ax = b$  ammette almeno una soluzione se  $\text{rank}(A) = \text{rank}(A|b)$ , con  $(A|b) \in \mathbb{C}^{m \times (n+1)}$  la matrice ottenuta aumentando  $A$  con  $b$ .

Per quanto riguarda l'unicità, supposto  $m \geq n$  (sistema *sovradeterminato*):

- Se  $\text{rank}(A) = n$  allora la soluzione è unica;
- Se  $\text{rank}(A) < n$  allora ci sono  $\infty$  soluzioni, e l'insieme delle soluzioni forma uno spazio vettoriale affine di dimensione  $n - \text{rank}(A)$ ;

Nel caso il vettore  $b = 0$ , il sistema si dice **omogeneo**, e la soluzione nulla esiste sempre.

Abbiamo poi che:

#### Definizione 4.10:

L'insieme delle soluzioni di  $Ax = 0$  si chiama Kernel (nucleo) della matrice:

$$\ker(A) = \{x \in \mathbb{R}^n : Ax = 0\}$$

notiamo che il kernel è un sottospazio vettoriale di dimensione  $n - \text{rank}(A)$ .

Osserviamo infine che nel caso  $m = n$ , se  $\det(A) \neq 0$ , cioè  $\text{rank}(A) = n$ , la soluzione di  $Ax = b$  è unica per ogni  $b \in \mathbb{R}^m$  e si scrive:

$$x = A^{-1}b$$

Vedremo che in generale calcolare l'inversa non è conveniente rispetto ad altri metodi di approssimazione.

#### 4.7.2 Regola di Cramer

Il vettore soluzione si può scrivere anche componente per componente come:

$$x_j = \frac{\det(A_j)}{\det(A)}$$

dove  $A_j$  è la matrice ottenuta da  $A$  sostituendo la colonna  $j$  con  $b$ .

Questa via costa come calcolare  $O(n)$  determinanti di matrici  $n \times n$ , ed è quindi poco conveniente ( $O(n^3)$ ).

## 5 Lezione del 10-03-25

### 5.1 Autovalori e autovettori

Continuiamo a parlare di matrici quadrate, e introduciamo gli **autovalori** e **autovettori**:

#### Definizione 5.1: Autovalori e autovettori destri

Data  $A \in \mathbb{C}^{n \times n}$ ,  $\lambda \in \mathbb{C}$  si dice autovalore se esiste un vettore  $v$  in  $\mathbb{C}^n$ , con  $v \neq 0$ , tale che:

$$Av = \lambda v$$

L'equazione  $Av = \lambda v$  non rappresenta un sistema lineare, in quanto sia  $v$  che  $\lambda$  sono variabili (e fra l'altro moltiplicate fra loro).

In particolare,  $v$  si dice **autovettore destro** per  $A$  rispetto a  $\lambda$ . Similmente, si può definire  $w$  **autovettore sinistro**:

#### Definizione 5.2: Autovalori e autovettori sinistri

Data  $A \in \mathbb{C}^{n \times n}$ ,  $\lambda \in \mathbb{C}$  si dice autovalore se esiste un vettore  $w$  in  $\mathbb{C}^n$ , con  $w \neq 0$ , tale che:

$$w^H A = w^H \lambda$$

Solitamente ci basta trovare gli autovettori destri in quanto:

$$(w^H A)^H = A^H w$$

$$(\lambda w^H)^H = \bar{\lambda} w$$

cioè  $w$  è un autovettore destro per  $\lambda$  se e solo se  $w$  è autovettore destro per  $A^H$  rispetto all'autovalore  $\bar{\lambda}$ . In questo caso, se la matrice è *simmetrica* o *hermitiana*, gli autovalori destri e sinistri coincidono.

#### 5.1.1 Caratterizzazione degli autovalori

Potremmo interrogarci sull'esistenza di questi oggetti. Poniamo allora:

$$Av = \lambda v \implies Av - \lambda v = 0 \implies (A - \lambda I)v = 0$$

Chiaramente il sistema è risolto per  $v = 0$ , ma abbiamo escluso a priori tale possibilità. Abbiamo allora un sistema  $A - \lambda I$ , che ha almeno una soluzione per Rouché-Capelli, che è 0 se  $\det(A - \lambda I) \neq 0$ , e un valore  $\neq 0$  altrimenti. Vogliamo quindi impostare:

$$p(\lambda) = \det(A - \lambda I) = 0$$

detta **equazione caratteristica** (del *polinomio caratteristico* posto nullo). Gli autovalori non saranno altro che le soluzioni dell'equazione caratteristica.

L'esistenza di tali soluzioni è data dal fatto che  $\deg(p(\lambda)) = n$ , e quindi dal teorema fondamentale dell'algebra esistono  $c_0, c_1, \dots, c_n$  tali che:

$$p(\lambda) = c_0 + c_1\lambda + \dots + c_n\lambda^n = c_n(\lambda - \lambda_1)\dots(\lambda - \lambda_n) \sim (-1)^n(\lambda - \lambda_1)\dots(\lambda - \lambda_n)$$

e dal punto di vista dei minori:

$$\begin{aligned} &= (-1)^n\lambda^n + (-1)^{n-1}\sigma_1\lambda^{n-1} + \dots + (-1)^1\sigma_{n-1}\lambda + (-1)^0\sigma_n \\ &= (-1)^n\lambda^n + (-1)^{n-1}\sigma_1\lambda^{n-1} + \dots - \sigma_{n-1}\lambda + \sigma_n \end{aligned}$$

dove  $\sigma_j$  è la somma dei determinanti delle sottomatrici di  $A$  di ordine  $j$ . □

Alcuni di questi  $\sigma_j$  sono semplici da calcolare:

$$\sigma_1 = \sum_{i=1}^n a_{ii} = \text{tr}(A) \quad (\text{traccia})$$

$$\sigma_n = \prod_{j=1}^n \lambda_j = \det(A)$$

vediamo quest'ultima relazione: si ha che il determinante di una matrice è uguale al prodotto dei suoi autovalori, ergo:

$$\det(A) = 0 \Leftrightarrow \exists \lambda_j = 0$$

Riepilogando una matrice  $\in \mathbb{C}^{n \times n}$  ha sempre esattamente  $n$  autovalori, contati con la loro molteplicità. In particolare:

#### Definizione 5.3: Molteplicità algebrica

Un autovalore  $\bar{\lambda}$  ha molteplicità algebrica  $k$  ( $\alpha(\bar{\lambda}) = k$ ) se  $k$  è la sua molteplicità  $\mu$  come radice del polinomio caratteristico.

Chiaramente:

$$\sum_{\bar{\lambda}} \alpha(\bar{\lambda}) = n$$

#### 5.1.2 Caratterizzazione degli autovettori

Potremmo chiederci quanti sono gli autovettori. Abbiamo allora che:

$$Av = \lambda v$$

e preso  $\theta \in \mathbb{C}$  allora:

$$A(\theta v) = \theta Av = \theta \lambda v = \lambda(\theta v)$$

cioè anche  $\theta v$  è autovalore per  $\lambda^* = \theta \lambda$ . Questo ci dice che gli autovettori non sono mai unici. Inoltre, possiamo dire che dati  $Av_1 = \lambda v_1$  e  $Av_2 = \lambda v_2$ :

$$A(v_1 + v_2) = Av_1 + Av_2 = \lambda v_1 + \lambda v_2 = \lambda(v_1 + v_2)$$

cioè sono soddisfatte le proprietà di omogeneità e additività, e quindi l'insieme degli autovettori relativi a un certo autovalore  $\lambda$  forma uno spazio vettoriale (detto **autospazio** rispetto a  $\lambda$ ).

Questo ci permette di definire un'altra molteplicità:

#### Definizione 5.4: Molteplicità geometrica

Dato  $\lambda \in \mathbb{C}$  autovalore di  $A \in \mathbb{C}^{n \times n}$  si dice molteplicità geometrica  $k$  ( $\gamma(\lambda) = k$ ) la dimensione dell'autospazio associato a  $\lambda$ , ovvero:

$$\gamma(\lambda) = \dim(\ker(A - \lambda I))$$

Per Rouché-Capelli, si ha che:

$$\gamma(\lambda) = n - \text{rank}(A - \lambda I)$$

Valgono poi le relazioni fra molteplicità algebrica e molteplicità geometrica:

$$1 \leq \gamma(\lambda) \leq \alpha(\lambda) \leq n$$

Inoltre se si hanno  $\lambda_i \neq \lambda_j$  autovalori distinti ( $\forall i \neq j, i, j \in \{1, \dots, n\}$ ), allora necessariamente:

$$\gamma(\lambda_i) = \alpha(\lambda_i) = 1, \quad \forall i = 1, \dots, n$$

cioè se tutti gli autovalori di  $A$  sono distinti, le loro molteplicità, sia  $\alpha$  che  $\gamma$ , devono essere uguali a 1.

### 5.1.3 Matrici simili

Possiamo quindi definire la **similarità** fra matrici:

#### Definizione 5.5: Matrici simili

Date  $A, B \in \mathbb{C}^{n \times n}$ , si dicono simili ( $B \sim A$ ) se esiste  $S \in \mathbb{C}^{n \times n}$  invertibile tale che:

$$B = S^{-1}AS$$

in questo caso vale anche l'inverso:

$$A = SBS^{-1}$$

Le matrici fra di loro simili hanno diverse proprietà in comune. Ad esempio,  $A \sim B$  hanno gli stessi autovalori con le stesse molteplicità  $\alpha$  e  $\gamma$ . Inoltre se  $v$  è autovettore per  $A$  associato a  $\lambda$ , allora  $S^{-1}v$  è autovettore per  $B$  associato sempre a  $\lambda$ . Questo si dimostra da:

$$\det(B - \lambda I) = 0 = \det(S^{-1}AS - \lambda I) = \det(S^{-1}AS - \lambda S^{-1}S) = \det(S^{-1}(A - \lambda I)S)$$

e da Binet-Cauchy:

$$\det(S^{-1}(A - \lambda I)S) = \det(S^{-1}) \det(A - \lambda I) \det(S) = \det(A - \lambda I)$$

in quanto  $S^{-1}$  e  $S$  sono costanti moltiplicative, e quindi gli autovalori  $\lambda$  di  $A$  e  $B$  coincidono. Inoltre:

$$B - \lambda I = 0 \Rightarrow S^{-1}AS - \lambda I = 0 \Rightarrow S^{-1}(A - \lambda I)S = 0 \Rightarrow A - \lambda I = 0$$



cioè si ha lo stesso spazio delle soluzioni.

Presa  $(\lambda, v)$  *autocoppia* (coppia autovalore-autovettore) per  $A$  abbiamo allora:

$$B(S^{-1}v) = S^{-1}AS(S^{-1}v) = S^{-1}Av = S^{-1}\lambda v = \lambda(S^{-1}v)$$

e quindi  $S^{-1}v$  è autovettore per  $B$  associato a  $\lambda$ .  $\square$

#### 5.1.4 Matrici diagonalizzabili

Definiamo le matrici diagonalizzabili come matrici simili ad una matrice diagonale, cioè:

##### Definizione 5.6: Matrice diagonalizzabile

Data  $A \in \mathbb{C}^{n \times n}$ ,  $A$  si dice diagonalizzabile se  $\exists S$  invertibile tale che:

$$S^{-1}AS = A_D$$

con  $A_D = \text{diag}(\lambda_1, \dots, \lambda_n)$  diagonale.

Osserviamo che se  $A$  è diagonalizzabile, la matrice diagonale (sopra,  $A_D$ ) contiene sulla diagonale gli autovalori di  $A$ .

Vediamo poi che:

$$S^{-1}AS = A_D \implies AS = SA_D$$

risultato piuttosto triste, e posto  $S = \begin{pmatrix} s_1 & \dots & s_n \end{pmatrix}$ :

$$AS = \begin{pmatrix} As_1 & \dots & As_n \end{pmatrix} = \begin{pmatrix} \lambda_1 s_1 & \dots & \lambda_n s_n \end{pmatrix}$$

da dove notiamo che da  $As_i = \lambda_i s_i$ , la matrice  $S$  ha per colonne gli autovettori di  $A$  (comodo per il calcolo della matrice  $S$  quando  $A$  è definita in base canonica).

Non tutte le matrici quadrate sono diagonalizzabili. La diagonalizzabilità dipende infatti dalla possibilità di scegliere  $n$  autovettori di  $A$  linearmente indipendenti, cioè di trovare una base di  $\mathbb{C}^n$  di autovalori di  $A$ .

Da questo deriva:

##### Teorema 5.1: Diagonalizzabilità di matrici

$A \in \mathbb{C}^{n \times n}$  è diagonalizzabile se e solo se:

$$\alpha(\lambda) = \gamma(\lambda), \quad \forall \lambda$$

dove i  $\lambda$  sono gli autovalori di  $A$ .

Questo semplicemente significa che una matrice è diagonalizzabile se le molteplicità algebriche e geometriche di tutti gli autovalori coincidono.

Si ha quindi che, per  $A$  diagonalizzabile, con  $x \in \mathbb{C}^n$  si ha che  $\exists c_1, \dots, c_n \in \mathbb{C}$  tali che:

$$x = \sum_{i=1}^n c_i v_i$$

sugli autovettori  $v_j$ .

L'utilità sta nel fatto che possiamo scegliere il caso particolare dove la base di autovettori è unitaria/ortogonale (unitaria in  $\mathbb{C}$  e ortogonale in  $\mathbb{R}$ ). Da questo deriva:

**Teorema 5.2: Teorema spettrale**

Se la matrice  $A$  è unitaria, cioè  $A = A^H$ , allora:

1.  $A$  è sempre diagonalizzabile;
2. Gli autovalori di  $A$  sono reali;
3. Si può scegliere una base di autovettori unitaria/ortogonale, cioè tale che:

$$\langle v_i, v_j \rangle = \begin{cases} 0, & i \neq j \\ 1, & i = j \end{cases}$$

o in modo equivalente si può trovare  $V \in \mathbb{C}^{n \times n}$  tale che:

$$V^H A V = \text{diag}(\lambda_1, \dots, \lambda_n)$$

e

$$V^H V = V V^H = I$$

Da questo teorema vengono le definizioni:

**Definizione 5.7: Matrice definita positiva/negativa**

Una matrice hermitiana viene detta definita positiva (definita negativa) quando gli autovalori  $\lambda_i$  sono tutti  $> 0$  ( $< 0$ ).

**5.1.5 Proprietà di autovalori e autovettori**

Vediamo come si comportano autovalori e autovettori sottoposti a diverse operazioni fra matrici.

1. **Somma per identità:** data  $(\lambda, v)$  autocoppia per  $A \in \mathbb{C}^{n \times n}$ ,  $\delta \in \mathbb{C}$ , allora  $A + \delta I$  ha come autocoppia  $\lambda + \delta, v$ . Questo semplicemente da:

$$(A + \delta I)v = Av + \delta v = \lambda v + \delta v = (\lambda + \delta)v$$

2. **Somma di potenze:** supponiamo  $q(x) = \sum_{i=0}^d q_i x^i$ . Si può allora definire:

$$q(A) = \sum_{i=0}^d q_i A^i$$

Allora con  $(\lambda, v)$  autocoppia di  $A$ , si avrà che  $(q(\lambda), v)$  è autocoppia per  $q(A)$ .

Notiamo che la proprietà (1) è il caso  $q(x) = x + \delta$ .

3. **Inversa:** data  $(\lambda, v)$  autocoppia per  $A$ , si avrà che  $(\lambda^{-1}, v)$  è autocoppia per  $A^{-1}$ . Questo da:

$$Av = \lambda v \implies A^{-1}Av = \lambda A^{-1}v \implies v = \lambda A^{-1}v$$

da cui:

$$\frac{1}{\lambda}v = A^{-1}v$$

□

4. **Autovalori complessi coniugati:** se  $A \in \mathbb{R}^{n \times n}$ , allora  $\lambda \in \mathbb{C}$  è autovalore di  $A$  se e solo se anche  $\bar{\lambda}$  coniugato è autovalore di  $A$ . Equivalentemente, gli autovalori complessi arrivano sempre in coppie coniugate. Questo da:

$$p(\lambda) = 0 = (-1)^n \lambda^n + (-1)^{n-1} \sigma_1 \lambda^{n-1} + \dots - \sigma_{n-1} \lambda + \sigma_n$$

con  $\lambda \in \mathbb{C} \setminus \mathbb{R}$ , dovrà essere che:

$$p(\lambda) = 0 = p(\bar{\lambda})$$

□

Definiamo infine il **raggio spettrale**, cioè il *massimo modulo* degli autovalori.

#### Definizione 5.8: Raggio spettrale

La quantità  $\rho(A) = \max_{j=\{1,\dots,n\}} |\lambda_j|$  è detta raggio spettrale di  $A$ .

Questa definizione è utile sempre al calcolo di esponenti di matrici. Ad esempio, vale il teorema:

#### Teorema 5.3: Limiti e raggio spettrale

Per un matrice  $A$  con raggio spettrale  $\rho(A)$ , vale:

$$\lim_{x \rightarrow +\infty} A^x = 0 \Leftrightarrow \rho(A) < 1$$

## 6 Lezione del 14-03-25

### 6.1 Norme

Concludiamo il ripasso di algebra lineare parlando del concetto di **norma**.

#### 6.1.1 Norme vettoriali

In molti casi è utile definire (quantificare) la "grandezza" di un vettore, prendendo il vettore 0 come nullo e ogni vettore come più grande di esso. Formalmente, quello che si fa è definire funzioni con proprietà specifiche dette **norme**.

#### Definizione 6.1: Norma

Una funzione  $|\cdot| : \mathbb{C}^n \rightarrow \mathbb{R}^+$  è detta norma se verifica le 3 proprietà:

1.  $|x| = 0 \Leftrightarrow x = 0$
2.  $|\alpha x| = |\alpha| \cdot |x|, \quad \forall \alpha \in \mathbb{C}, \forall x \in \mathbb{C}^n$
3.  $|x + y| \leq |x| + |y|, \quad \forall x, y \in \mathbb{C}^n$  (disuguaglianza del triangolo)

Possiamo dare alcuni esempi di norme:

- $|x|_1 = \sum_{i=1}^n |x_i|$  (norma di Manhattan)

- $|x|_2 = \sqrt{\sum_{i=1}^n |x_i|^2}$  (norma Euclidea)
- $|x|_p = (\sum_{i=1}^n |x_i|^p)^{\frac{1}{p}}$  ( $p$ -norma)
- $|x|_\infty = \max_{i=1, \dots, n} |x_i|$  (norma a infinito)

Notiamo che l'insieme dei vettori di norma 1 cambia geometria al variare della norma che scegliamo. Ad esempio, in  $\mathbb{R}^2$ , l'insieme dei vettori di norma 1 dà un quadrato ruotato di 45 gradi, dei vettori di norma 2 una circonferenza, e via via al crescere di  $p$  si approssima un quadrato unitario centrato sull'origine (che la norma a infinito effettivamente raggiunge).

Le norme sono equivalenti in quanto esiste il teorema:

**Teorema 6.1: Norme equivalenti**

Date due norme  $|\cdot|_a$  e  $|\cdot|_b$ , si ha che  $\exists \alpha, \beta \in \mathbb{R}^+$  tali che:

$$\alpha|x|_a \leq |x|_b \leq \beta|x|_a, \quad \forall x \in \mathbb{C}^n$$

Questa proprietà è sempre valida su spazi vettoriali finiti (non vale necessariamente lo stesso su spazi infiniti). Se vale il teorema 6.1, quindi, allora vale anche che:

$$\beta^{-1}|x|_b \leq |x|_a \leq \alpha^{-1}|x|_b, \quad \forall x \in \mathbb{C}^n$$

Per le norme più comuni ( $|\cdot|_1, |\cdot|_2, |\cdot|_\infty$ ) valgono le disuguaglianze:

- $|x|_2 \leq |x|_1 \leq \sqrt{n}|x|_2$

Dimostriamo entrambe le disuguaglianze.

–  $|x|_2 \leq |x|_1$

Questo si ha da:

$$\sqrt{\sum_{i=1}^n |x_i|^2} \leq \sum_{i=1}^n |x_i|$$

prendendo i quadrati:

$$\sum_{i=1}^n |x_i|^2 \leq \left( \sum_{i=1}^n |x_i| \right)^2 = \sum_{i=1}^n |x_i|^2 + 2 \sum_{i < j} |x_i| |x_j|$$

che è chiaramente vero con  $2 \sum_{i < j} |x_i| |x_j| > 0$ .

–  $|x|_1 \leq \sqrt{n}|x|_2$

Questo si nota prendendo:

$$\sum_{i=1}^n |x_i| = (||x||, 1) = |x_1| \cdot 1 + \dots + |x_n| \cdot 1$$

dove  $||x||$  rappresenta il modulo componente a componente di  $x$ . Varrà allora dalla disuguaglianza di Cauchy-Schwarz:

$$(|x|, 1) \leq ||x|| \cdot |1| = \sqrt{\sum_{i=1}^n |x_i|^2} \cdot \sqrt{\sum_{i=1}^n |1|^2} = \sqrt{n} \sqrt{\sum_{i=1}^n |x_i|^2}$$

che è la tesi. □

- $|x|_\infty \leq |x|_1 \leq n|x|_\infty$

Questo risulta chiaro da:

$$\max_{i=1,\dots,n} |x_i| \leq \sum_{i=1}^n |x_i| \leq n \max_{i=1,\dots,n} |x_i|$$

□

- $|x|_\infty \leq |x|_2 \leq \sqrt{n}|x|_\infty$

Anche questo risulta chiaro da:

$$\max_{i=1,\dots,n} |x_i| \leq \sqrt{\sum_{i=1}^n |x_i|^2} \leq \sqrt{n} \max_{i=1,\dots,n} |x_i|$$

prendendo i quadrati:

$$\left( \max_{i=1,\dots,n} |x_i| \right)^2 \leq \sum_{i=1}^n |x_i|^2 \leq n \left( \max_{i=1,\dots,n} |x_i| \right)^2$$

□

### 6.1.2 Norme matriciali

Si possono definire norme anche per matrici.

#### Definizione 6.2: Norma matriciale

Una funzione  $|\cdot| : \mathbb{C}^{m \times n} \rightarrow \mathbb{R}^+$  è detta norma matriciale se verifica le 3 proprietà:

1.  $|A| = 0 \Leftrightarrow A = 0$
2.  $|\alpha A| = |\alpha| \cdot |A|, \quad \forall \alpha \in \mathbb{C}, \forall A \in \mathbb{C}^{m \times n}$
3.  $|A + B| \leq |A| + |B|, \quad \forall A, B \in \mathbb{C}^{m \times n}$
4. Se  $m = n$  chiediamo inoltre, visto che è ben definito il prodotto matriciale:  
 $|A \cdot B| \leq |A| \cdot |B|, \quad \forall A, B \in \mathbb{C}^{m \times n}$   
da qui in poi assumiamo solo questo caso.

Esiste un modo per trovare norme matriciali a partire da norme vettoriali.

#### Definizione 6.3: Norma indotta

Una norma matriciale  $|\cdot|_m$  si dice indotta se esiste una norma vettoriale  $|\cdot|_v$  tale che:

$$|A|_m = \sup_{|x|_v \neq 0} \frac{|Ax|_v}{|x|_v} = \sup_{|x|_v = 1} |Ax|_v$$

Intuitivamente, diciamo che una matrice è tanto più "grande" tanto più *allarga* i vettori a distanza unitaria.

Le norme matriciali indotte dalle norme vettoriali più comuni ( $|\cdot|_1, |\cdot|_2, |\cdot|_\infty$ ) sono le seguenti:

- $|A|_1 = \max_{j=1,\dots,n} \sum_{i=1}^n |a_{ij}|$ , cioè il massimo della somme delle colonne di  $A$ ;
- $|A|_\infty = \max_{i=1,\dots,n} \sum_{j=1}^n |a_{ij}|$ , cioè il massimo delle somme delle righe di  $A$ ;
- $|A|_2 = \sqrt{\rho(A^H A)}$ , cioè la radice dell'autovalore di modulo massimo di  $A^H A$ . Notiamo che questo metodo è sensibilmente più difficile di calcolare la somma delle entrate delle matrice in riga o in colonna.

Prendiamo  $A^H A$  anzichè  $A$  in quanto:

$$|A|_2 = \sup_{|x|_2=1} |Ax|_2$$

e:

$$|Ax|_2 = \langle Ax, Ax \rangle = \langle x, A^H A x \rangle$$

il resto della dimostrazione non viene dato in quanto si basa su un risultato che esula dal corso (*quoziente di Rayleigh*), ma resta il fatto che ci serve una forma del tipo  $A^H A$  anziché la sola matrice  $A$ .

Un esempio di norma matriciale non indotta è la norma di Frobenius:

$$|A|_F = \sqrt{\sum_{ij} |\alpha_{ij}|^2}$$

che possiamo assumere come una grande norma  $|\cdot|_2$  su tutta la matrice.

Un modo per verificare che questa norma non è effettivamente indotta è osservare che:

$$|I|_F = \sqrt{n}$$

mentre per ogni norma indotta vale che:

$$|I|_i = \sup_{|x| \neq 0} \frac{|Ix|}{|x|} = \sup_{|x| \neq 0} \frac{|x|}{|x|} = 1 \neq \sqrt{n} \quad \forall n > 1$$

□

Notiamo che questa verifica vale in una sola direzione: se la norma dell'identità valesse effettivamente 1, potremmo dire che questa proprietà non è violata, ma non che di conseguenza la norma è indotta, cioè:

$$|I|_m \neq 1 \implies |\cdot|_m \text{ non è indotta}$$

$$|I|_m = 1 \not\Rightarrow |\cdot|_m \text{ è indotta (può non esserlo)}$$

Diamo quindi la definizione di compatibilità:

#### Definizione 6.4: Compatibilità

Una norma matriciale  $|\cdot|_m$  si dice compatibile con una norma vettoriale  $|\cdot|_v$  se vale:

$$|Ax|_v \leq |A|_m \cdot |x|_v, \quad \forall A \in \mathbb{C}^{n \times n}, \quad \forall x \in \mathbb{C}^n$$

Osserviamo che le norme matriciali indotte sono ovviamente compatibili con le norme vettoriali che le inducono. Infatti posto  $x \neq 0$ :

$$\frac{|Ax|_v}{|x|_v} \leq |A|_m \implies |Ax|_v \leq |A|_m \cdot |x|_v$$

□

### 6.1.3 Norme e autovalori

Le diseguaglianze precedenti e le proprietà delle norme ci dicono che gli autovalori non possono essere ovunque sul piano complesso, ma in modulo devono essere più piccoli di  $|A|_m$  se  $|\cdot|_m$  è compatibile (a maggior ragione indotta) con una norma vettoriale. Infatti, con  $(x, \lambda)$  autocoppia per  $A$ , cioè:

$$Ax = \lambda x, \quad \lambda \in \mathbb{C}, \quad x \neq 0$$

si ha:

$$|\lambda x| = |\lambda| \cdot |x| = |Ax|_v \leq |A|_m \cdot |x|_v \implies |\lambda| \leq |A|_m$$

□

Questo significa che se si prende il "disco" centrato sull'origine con raggio uguale alla norma della matrice  $A$ , allora tutti gli autovalori di  $A$  devono trovarsi all'interno di tale disco, cioè:

$$\lambda \text{ autovalore} \Leftrightarrow \lambda \in \{z \in \mathbb{C} : |z| \leq |A|_m\}$$

In realtà l'assunzione  $|\cdot|_m$  compatibile può essere rimossa, ovvero vale il seguente teorema:

#### Teorema 6.2: di Hirsch

Data  $A \in \mathbb{C}^{n \times n}$  allora  $\forall |\cdot|$  norma matriciale vale:

$$\rho(A) = \max\{|\lambda| \text{ autovalore}\} \leq |A|$$

Questo si dimostra prendendo  $(\lambda, x)$  autocoppia per  $A$  e considerando la matrice:

$$B = \begin{pmatrix} x & | & 0 \end{pmatrix}$$

per cui vale:

$$A \cdot B = \begin{pmatrix} Ax & A0 & \dots & A0 \end{pmatrix} = \begin{pmatrix} \lambda x & 0 & \dots & 0 \end{pmatrix} = \lambda \begin{pmatrix} x & 0 & \dots & 0 \end{pmatrix} = \lambda B$$

allora vale:

$$|\lambda| |B| = |\lambda B| = |A \cdot B| \leq |A| \cdot |B|$$

dividendo per  $B$  ( $B \neq 0$  da  $x \neq 0$  autovettore):

$$\frac{|\lambda| |B|}{|B|} \leq \frac{|A| \cdot |B|}{|B|} \implies |\lambda| \leq |A|$$

e quindi  $\rho(A) \leq |A|$ . □

Questa misura potrebbe non essere molto utile in quanto la norma  $|A|$  potrebbe essere arbitrariamente più grande del raggio spettrale  $\rho(A)$

### 6.1.4 Teoremi di Gershgorin

Esistono alcuni teoremi più forti riguardo alle norme degli autovalori, che prendono il nome di **teoremi di Gershgorin**.

Iniziamo dalla definizione di *cerchio* di Gershgorin:

**Definizione 6.5: Cerchio di Gershgorin**

Data  $A \in \mathbb{C}^{n \times n}$  definiamo gli insiemi:

$$\mathcal{F}_i(A) = \{z \in \mathbb{C} : |z - a_{ii}| \leq \rho_i\}, \quad \rho_i = \sum_{j \neq i}^n |a_{ij}| \geq 0$$

cerchi di Gershgorin di  $A$  associati alla riga  $i$ .

Questi sono effettivamente i cerchi di raggio uguale alla somma degli elementi fuori dalla diagonale, con centro sull'asse dei reali il valore presente sulla diagonale, per ogni riga.

Possiamo quindi enunciare i teoremi di Gershgorin:

**Teorema 6.3: Primo teorema di Gershgorin**

Se  $\lambda \in \mathbb{C}$  è autovalore vale che:

$$\lambda \in \bigcup_{i=1}^n \mathcal{F}_i(A)$$

cioè gli autovalori stanno nell'unione dei cerchi di Gershgorin. Per dimostrare questo risultato si prende l'autocoppia di  $A$   $(\lambda, x)$  e si indica con  $k$  l'indice della componente di massimo modulo in  $x$ . Quindi  $x \neq 0$  perchè  $x$  autovettore, e  $k$  è scelto tale che  $|x_k| > |x_j|$ ,  $\forall j = 1, \dots, n$ . Sappiamo quindi che vale  $Ax = \lambda x$  dalla definizione di autovalore, e consideriamo la riga  $k$  nell'uguaglianza:

$$a_{k1}x_1 + a_{k2}x_2 + \dots + a_{kn}x_n = \lambda x_k \Leftrightarrow \sum_{j=1}^n a_{kj}x_j = \lambda x_k \Leftrightarrow \sum_{j \neq k}^n a_{kj}x_j = \lambda x_k - a_{kk}x_k = (\lambda - a_{kk})x_k$$

$$\Rightarrow |\lambda - a_{kk}| \cdot |x_k| = \left| \sum_{j \neq k}^n a_{kj}x_j \right| \leq \sum_{j \neq k}^n |a_{kj}| \cdot |x_j|$$

Dato  $|x_k| > 0$ , si divide da entrambi i lati per  $|x_k|$ :

$$\Rightarrow |\lambda - a_{kk}| \leq \sum_{j \neq k}^n |a_{kj}| \frac{|x_j|}{|x_k|} \leq \sum_{j \neq k}^n |a_{kj}| = \rho_k$$

Quindi:

$$|\lambda - a_{kk}| \leq \rho_k \Rightarrow \lambda \in \mathcal{F}_k(A)$$

e, dato che l'argomento utilizzato vale per un qualsiasi autovalore, abbiamo la tesi del teorema:

$$\lambda \in \bigcup_{i=1}^n \mathcal{F}_i(A)$$

□

Osserviamo che in realtà avremmo dimostrato che  $\lambda \in \mathcal{F}_k(A)$  con  $k$  indice dell'elemento di massimo modulo nell'autovettore. Tuttavia, nella situazione usuale in cui non conosciamo né  $\lambda$  né  $x$ , sapere  $k$  non è plausibile.



**Definizione 6.6: Matrice a predominanza diagonale forte**

Una matrice  $A$  si dice a predominanza diagonale forte se vale:

$$|a_{ii}| > \sum_{j \neq i}^n |a_{ij}| = \rho_i, \quad \forall i = 1, \dots, n$$

Un **corollario** del teorema 6.3 è che se  $A$  è a predominanza diagonale forte, allora  $A$  è non singolare ( $\det(A) \neq 0$ ).

Questo si dimostra dal fatto che tutti i cerchi di Gershgorin di  $A$  non comprendono l'origine, e quindi:

$$0 \notin \bigcup_{i=1}^n \mathcal{F}_i(A)$$

e 0 non può essere autovalore di  $A$ .

**Teorema 6.4: Secondo teorema di Gershgorin**

Se  $M_1$  è unione di  $s$  cerchi di Gershgorin ed  $M_2$  è unione di  $n - s$  cerchi di Gershgorin e vale  $M_1 \cap M_2 = \emptyset$ , allora  $M_1$  contiene esattamente  $s$  autovalori e  $M_2$  ne contiene esattamente altri  $n - s$ .

Osserviamo che il primo teorema di Gershgorin (6.3) non ci dice che necessariamente c'è un autovalore per ogni cerchio  $\mathcal{F}_i(A)$ , cioè può succedere che  $\mathcal{F}_i(A)$  non ne contiene nemmeno uno. Il secondo teorema di Gershgorin (6.4) invece ci dice che se abbiamo un cerchio isolato, allora questo contiene esattamente un autovalore.

Un **corollario** del secondo teorema di Gershgorin è che se  $A$  ha  $n$  cerchi disgiunti, allora  $A$  ha  $n$  autovalori distinti ed è diagonalizzabile.

**6.1.5 Matrici reali e Gershgorin**

Ci sono delle note da fare sulle **matrici reali**. Osserviamo infatti che se  $A \in \mathbb{R}^{n \times n}$ , se  $\lambda$  è autovalore di  $A$  allora lo è anche  $\bar{\lambda}$ . Quindi, se un cerchio di Gershgorin contiene un autovalore complesso, dovrà necessariamente contenere anche il suo coniugio. Ora, visto che un cerchio isolato contiene necessariamente un solo autovalore, sarà che un cerchio isolato in una matrice a entrate reali contiene necessariamente un autovalore reale, e quindi la matrice ha necessariamente un autovalore reale.

**6.1.6 Matrici trasposte e Gershgorin**

Dato che  $A$  e  $A^T$  hanno gli stessi autovalori (dallo stesso polinomio caratteristico), si può prendere come regione dove stanno gli autovalori l'intersezione:

$$\left[ \bigcup_{i=1}^n \mathcal{F}_i(A) \right] \cap \left[ \bigcup_{i=1}^n \mathcal{F}_i(A^T) \right]$$

dove notiamo bene che:

$$\left[ \bigcup_{i=1}^n \mathcal{F}_i(A) \right] \cap \left[ \bigcup_{i=1}^n \mathcal{F}_i(A^T) \right] \neq \bigcup_{i=1}^n (\mathcal{F}_i(A) \cap \mathcal{F}_i(A^T))$$

infatti solitamente il termine a sinistra è ben più grande. Osserviamo poi che:

$$\mathcal{F}_I(A^T) = \{z \in \mathbb{C} : |z - a_{ii}| \leq \rho_i\}, \quad \rho_i = \sum_{i \neq j}^n |a_{ij}| \geq 0$$

cioè semplicemente si prendono le colonne anziché le righe.

### 6.1.7 Note sul calcolo dei dischi di Gershgorin

Vediamo come si può usare MATLAB per il calcolo e la visualizzazione dei dischi di Gershgorin di una matrice.

Potremmo pensare di scrivere una funzione per il calcolo e la rappresentazione grafica dei cerchi di Gershgorin di una matrice arbitraria (sia reale che complessa), ad esempio come:

```

1 function draw_gersh(A, draw_eigen)
2     % draws a circle
3     function circle(center, radius, col)
4         t = linspace(0, 2*pi);
5         patch(radius * cos(t) + real(center), ...
6               radius * sin(t) + imag(center), col);
7     end
8
9     if nargin < 2
10         draw_eigen = true;
11     end
12
13     n = size(A, 1);
14
15     % graph setup
16     close all;
17     hold on;
18     axis('equal');
19
20     for k = 1:n
21         center = A(k, k);
22         radius = sum(abs(A(k, [1:k-1, k+1:end])));
23         circle(center, radius, 'blue');
24     end
25
26     alpha(.1)
27
28     if draw_eigen
29         eigenvals = eig(A);
30         plot(real(eigenvals), imag(eigenvals), 'red.');

```

A questo punto potremo tracciare i cerchi di Gershgorin come:

```

1 >> A = [5, 1, 1; 1, -5, 1; 1, 0.5, 1];
2 >> draw_gersh(A)

```

da cui si ottiene il grafico:



Notiamo come, nel caso specifico, a 3 cerchi di Gershgorin distinti corrispondono 3 autovalori distinti, e quindi la matrice  $A$  è diagonalizzabile.

## 7 Lezione del 17-03-25

Avevamo visto i primi 2 teoremi di Gershgorin, cioè:

- **Primo teorema di Gershgorin:** ogni autovalore  $\lambda$  è contenuto in:

$$\lambda \in \bigcup_{i=1}^n \mathcal{F}_i(A)$$

definiti i *cerchi di Gershgorin*:

$$\mathcal{F}_i(A) = \left\{ z \in \mathbb{C}, \quad |z - a_{ii}| < \sum_{j \neq i} a_{ij} \right\}$$

- **Secondo teorema di Gershgorin:** un  $M_1$  è unione di  $s$  cerchi e  $M_2$  unione dei restanti  $n - s$ , allora:  $M_1 \cap M_2 = \emptyset \implies M_1$  contiene  $s$  autovalori e  $M_2$  i restanti  $n - s$ .

Vediamo quindi il terzo teorema di Gershgorin. Per fare ciò, introduciamo il concetto di **matrice irriducibile**, e ancor prima di **grafo** associato alla matrice.

### 7.1 Matrici irriducibili

Diamo la definizione:

### Definizione 7.1: Grafo associato ad una matrice

Data una matrice  $A \in \mathbb{C}^{n \times n}$  si dice grafo associato ad  $A$ , indicato con  $G(A) = (V, E)$ , il grafo che ha come vertici l'insieme  $V = \{1, \dots, n\}$  e come archi l'insieme  $E$  così definito:

$$(i, j) \in E \Leftrightarrow a_{ij} \neq 0$$

Solitamente si ignora la diagonale (notiamo che in caso di entrate  $\neq 0$  risultano semplicemente in anelli aperti e chiusi sullo stesso nodo).

A noi interesseranno grafi **fortemente connessi**:

### Definizione 7.2: Grafo fortemente connesso

Un grafo si dice fortemente connesso se per ogni scelta di vertici  $i, j \in 1, \dots, n$  esiste un cammino *orientato* sul grafo che parte da  $i$  e arriva a  $j$ .

A questo punto possiamo definire le matrici **irriducibili**:

### Definizione 7.3: Matrice irriducibile

Una matrice  $A \in \mathbb{C}^{n \times n}$  si dice irriducibile se il grafo  $G(A)$  è fortemente connesso.

Possiamo quindi enunciare il terzo teorema di Gershgorin:

### Teorema 7.1: Terzo teorema di Gershgorin

Data una matrice  $A \in \mathbb{C}^{n \times n}$  irriducibile si ha che, se  $\lambda$  è un autovalore tale che:

$$\lambda \in \partial \left( \bigcup_{i=1}^n \mathcal{F}_i(A) \right)$$

dove con  $\partial$  si indica il bordo, cioè esiste un indice,  $\exists k \in \{1, \dots, n\}$  tale che:  $|\lambda - a_{kk}| = \sum_{j \neq k} a_{kj}$ , allora dovrà essere che:

$$\lambda \in \bigcap_{i=1}^n \partial (\mathcal{F}_i(A))$$

cioè per *tutti* gli indici,  $\forall k \in \{1, \dots, n\}$  vale che:  $|\lambda - a_{kk}| = \sum_{j \neq k} a_{kj}$ .

Questo significa che, nel caso di matrici irriducibili, un autovalore che sta sul bordo di un disco di Gershgorin dovrà necessariamente stare sul bordo di *tutti* i dischi di Gershgorin.

Avevamo visto la definizione di matrici a predominanza diagonale forte. Esistono anche matrici a predominanza diagonale *debole* (o semplicemente *diagonali deboli*):

**Definizione 7.4: Matrice a predominanza diagonale debole**

Una matrice  $A$  si dice a predominanza diagonale debole se vale:

$$|a_{ii}| \geq \sum_{j \neq i} |a_{ij}|$$

ed  $\exists k \in \{1, \dots, n\}$  tale per cui:

$$|a_{kk}| > \sum_{j \neq k} |a_{kj}|$$

Un **corollario** è che se  $A$  è a predominanza diagonale debole ed è irriducibile, allora  $A$  non è singolare.

Questo si dimostra direttamente dal fatto che il valore 0 appartiene ai cerchi per cui vale  $|a_{ii}| \geq \sum_{j \neq i} |a_{ij}|$ , ma esiste almeno un cerchio per cui vale  $|a_{kk}| > \sum_{j \neq k} |a_{kj}|$ , cioè non contiene lo 0, e quindi per il terzo teorema di Gershgorin 0 non può essere autovalore (matrice non singolare).  $\square$

**7.2 Matrici a blocchi**

Talvolta è conveniente definire una matrice in termini di *sottomatrici*, o **blocchi**, al posto delle entrate scalari che la compongono, cioè si può scrivere:

$$A \in \mathbb{C}^{m \times n}, \quad A = \begin{pmatrix} A_{11} & \dots & A_{1r} \\ \dots & & \dots \\ A_{s1} & \dots & A_{sr} \end{pmatrix}$$

Si può sempre scrivere una matrice a blocchi, purché le sottomatrici abbiano dimensioni compatibili (sia le somme delle dimensioni devono corrispondere alle dimensioni effettive della matrice, sia le dimensioni delle matrici adiacenti devono corrispondere), cioè si deve avere:

$$A_{ij} \in \mathbb{C}^{m_i \times n_j}, \quad \sum_{i=1}^s m_i = m, \quad \sum_{j=1}^r n_j = n$$

Notiamo che per noi sarà il importante il caso di matrici quadrate poste come sottomatrici quadrate, cioè  $m = n$ ,  $s = r$  e  $m_i = n_i \forall i = 1, \dots, r \cdot s$ .

Vediamo quindi la definizione di matrici **triangolari a blocchi**:

**Definizione 7.5: Matrice triangolare a blocchi**

Nelle condizioni di cui sopra (in particolare, matrici quadrate) una matrice si dice triangolare a blocchi se sono  $\neq 0$  tutti i blocchi lungo la diagonale, e sopra o sotto la diagonale (dove rispettivamente si parla di matrice triangolare superiore o inferiore), cioè:

$$A \in \mathbb{C}^{m \times n}, \quad A = \begin{pmatrix} A_{11} & \dots & A_{1r} \\ 0 & \dots & \dots \\ 0 & 0 & A_{sr} \end{pmatrix} \text{ (superiore) o } A = \begin{pmatrix} A_{11} & 0 & 0 \\ \dots & \dots & 0 \\ A_{s1} & \dots & A_{sr} \end{pmatrix} \text{ (inferiore)}$$

Vediamo anche le matrici **diagonali a blocchi**:

**Definizione 7.6: Matrice diagonale a blocchi**

Nelle condizioni della definizione 7.5, una matrice si dice diagonale a blocchi se sono  $\neq 0$  i soli blocchi lungo la diagonale, cioè:

$$A \in \mathbb{C}^{m \times n}, \quad A = \begin{pmatrix} A_{11} & 0 & 0 \\ 0 & \dots & 0 \\ 0 & 0 & A_{sr} \end{pmatrix} \text{ (diagonale)}$$

**7.2.1 Proprietà delle matrici a blocchi**

Vediamo alcune proprietà delle matrici a blocchi:

1. Se  $A$  è triangolare a blocchi, allora l'insieme degli autovalori di  $A$  corrisponde all'unione degli insiemi di autovalori associati ai blocchi sulla diagonale  $A_{jj}$ ;
2. Dalla scorsa proprietà valgono, a cascata, tutte le proprietà che avevamo visto su autovalori e determinanti. Ad esempio il determinante sarà:

$$\det(A) = \prod_{j=1}^s \det(A_{jj})$$

ricordando che:

$$\det(A_{jj}) = \prod_{i=1}^{\frac{n}{s}} \lambda_i$$

con i  $\lambda_i$  autovalori di  $A_{jj}$ ;

3. Se  $A$  è diagonale, a blocchi, vale:

$$A^{-1} = \begin{pmatrix} A_{11}^{-1} & 0 & 0 \\ 0 & \dots & 0 \\ 0 & 0 & A_{sr}^{-1} \end{pmatrix}$$

4. Se si hanno 2 matrici a blocchi con lo stesso partizionamento, allora calcolare  $A + B$  e  $A \cdot B$  si può fare trattando i sottoblocchi come entrate scalari, cioè date:

$$A = \begin{pmatrix} A_{11} & A_{12} \\ A_{21} & A_{22} \end{pmatrix}, \quad B = \begin{pmatrix} B_{11} & B_{12} \\ B_{21} & B_{22} \end{pmatrix}$$

con  $A_{11}$  corrispondente in dimensioni a  $B_{11}$  e via dicendo, si ha che:

$$A + B = \begin{pmatrix} A_{11} + B_{11} & A_{12} + B_{12} \\ A_{21} + B_{21} & A_{22} + B_{22} \end{pmatrix}$$

riguardo alla somma, e considerazioni simili (che non riportiamo) riguardo al prodotto.

### 7.3 Matrici riducibili

Vediamo ora una definizione che è effettivamente *duale* a quella di matrice irriducibile: quella di **matrice riducibile**:

#### Definizione 7.7: Matrice riducibile

Una matrice  $A \in \mathbb{C}^{n \times n}$ ,  $n \geq 2$ , si dice riducibile se  $\exists \Pi$  matrice di permutazione tale che:

$$\Pi A \Pi^T = \begin{pmatrix} A_{11} & A_{12} \\ 0 & A_{22} \end{pmatrix}$$

a blocchi, con  $A_{11} \in \mathbb{C}^{k \times k}$ ,  $A_{22} \in \mathbb{C}^{(n-k) \times (n-k)}$ ,  $k \in \{1, \dots, n\}$ .

Osserviamo che ci possono essere più di una matrice di permutazione  $\Pi$  che portano  $A$  in una forma triangolare a blocchi, con diversi valori di  $k$ .

Osserviamo poi che la forma triangolare superiore non è imperativa, cioè se  $\exists \Pi_1$  tale che:

$$\Pi_1 A \Pi_1^T = \begin{pmatrix} A_{11} & A_{12} \\ 0 & A_{22} \end{pmatrix}$$

triangolare superiore, allora vale anche che  $\exists \Pi_2$  tale che:

$$\Pi_2 A \Pi_2^T = \begin{pmatrix} A_{11} & 0 \\ A_{21} & A_{22} \end{pmatrix}$$

triangolare inferiore. Vediamo anzi che in verità queste due forme sono equivalenti.

#### 7.3.1 Sistemi lineari con matrici riducibili

Supponiamo di voler risolvere  $Ax = b$  con  $A \in \mathbb{C}^n \times n$ , con  $A$  riducibile, e conoscendo  $T$ . In questo caso conviene procedere sfruttando:

$$Ax = b \Leftrightarrow \Pi Ax = \Pi b \Leftrightarrow \Pi A \Pi^T \Pi x = \Pi b \Leftrightarrow By = c$$

dove si è detto  $B = \Pi A \Pi^T$ ,  $c = \Pi b$ , e  $y = \Pi x$ .  $By = c$  sarà in forma:

$$\begin{pmatrix} A_{11} & A_{12} \\ 0 & A_{22} \end{pmatrix} \begin{pmatrix} y_1 \\ y_2 \end{pmatrix} = \begin{pmatrix} c_1 \\ c_2 \end{pmatrix}$$

con  $c_1, y_1 \in \mathbb{C}^k$  e  $c_2, y_2 \in \mathbb{C}^{n-k}$ .

Una volta risolto  $By = C$ , si ritrova  $x$  mediante la relazione:

$$\Pi x = y \rightarrow x = \Pi^T y$$

Vediamo come risolvere effettivamente questo sistema. Scrivendo il sistema  $2 \times 2$  a blocchi per esteso si ottiene:

$$\begin{cases} A_{11}y_1 + A_{12}y_2 = C_1 \\ A_{22}y_2 = c_2 \end{cases}$$

L'ultima equazione rappresenta un sistema  $(n-k) \times (n-k)$ , che risolviamo per trovare  $y_2$  (notiamo non c'è dipendenza da  $y_1$ , dalla definizione come triangolare superiore a blocchi della matrice  $B$ ). A questo punto si ottiene un altro sistema lineare:

$$A_{11}y_1 = c_1 - A_{12}y_2$$

con  $y_2$  stavolta noto.

Il *guadagno* di questo metodo è che risolvere un sistema  $n \times n$  costa generalmente  $O(n^3)$ . Effettuare il *preprocessing* reso disponibile dalla riducibilità della matrice ci permette di rendere la complessità uguale a:

$$O(k^3 + (n - k)^3 + k(n - k)) = O(k^3 + (n - k)^3)$$

dove  $k(n - k)$  alla prima equazione rappresenta il costo della moltiplicazione matrice-vettore  $A_{11}y_2$  nella seconda equazione di risoluzione del sistema a blocchi.

Se si hanno molti 0 da sfruttare, e quindi si può scegliere  $k = \frac{n}{2}$ , si ottiene un costo:

$$O\left(\left(\frac{n}{2}\right)^3 + \left(n - \frac{n}{2}\right)^3\right) = O\left(2\left(\frac{n}{2}\right)^3\right) = O\left(\frac{n^3}{4}\right)$$

cioè si guadagna di un fattore di 4 in termini di tempo di esecuzione.

Osserviamo inoltre che se i blocchi  $A_{11}$ ,  $A_{22}$  sono a loro volta matrici riducibili, il processo si può applicare **ricorsivamente** sulle matrici della diagonale, in modo da ridurre ulteriormente la complessità del sistema (a patto di dover effettuare più passi di preprocessing).

## 8 Lezione del 21-03-25

### 8.1 Valutazione della riducibilità

Riprendiamo il discorso delle matrici riducibili, soffermandoci sul come capire quando una matrice è riducibile, e come ricavare, in caso affermativo, la matrice di permutazione  $\Pi$  corrispondente.

Vale il seguente risultato (abbastanza banale guardando a quanto detto riguardo alle matrici irriducibili):

#### Teorema 8.1: Caratterizzazione di matrice riducibile

Una matrice  $A$  è riducibile quando non è irriducibile, cioè quando il suo grafo associato  $G(A)$  non è fortemente connesso.

La dimostrazione avviene osservando innanzitutto questo **lemma**: se esiste una certa permutazione  $\pi$  degli elementi in riga, si può ricavare una matrice di permutazione  $\Pi$  e definire la matrice:

$$A' = \Pi A \Pi^T$$

Avremo allora che il grafo associato ad  $A'$  sarà lo stesso associato a  $\Pi A \Pi^T$ , solamente cambiando i nomi dei vertici, cioè:

$$G(A) \text{ fortemente connesso} \Leftrightarrow G(A') \text{ fortemente connesso}$$

La **dimostrazione** vera e propria dovrà quindi affermare che se una matrice è riducibile, allora il suo grafo non è fortemente connesso, cioè:

$$A \text{ riducibile} \Leftrightarrow G(A) \text{ non fortemente connesso}$$



$\Rightarrow$ ) Abbiamo che se  $A$  è riducibile allora  $\exists \Pi$ :

$$B = \Pi A \Pi^T = \begin{pmatrix} A_{11} & A_{12} \\ 0 & A_{22} \end{pmatrix}$$

con  $A_{11} \in \mathbb{C}^{k \times k}$  e  $A_{22} \in \mathbb{C}^{(n-k) \times (n-k)}$ . Che  $G(B)$  non è fortemente connesso è chiaro dal blocco di 0 in basso a sinistra: significherà che non ci sono archi che collegano il blocco  $A_{22}$  al blocco  $A_{11}$ , cioè non esistono archi che vanno da  $\{k+1, \dots, n\}$  a  $\{1, \dots, k\}$ .

$\Leftarrow$ ) Se  $G(A)$  non è fortemente connesso allora  $\exists(j, h)$  per cui da  $j$  non si raggiunge  $h$ . Dividiamo allora  $\{1, \dots, n\}$  in due sottoinsiemi:

$$\begin{cases} \mathcal{P} = \{\text{vertici raggiungibili da } j\} \\ \mathcal{Q} = \{\text{vertici non raggiungibili da } j\} \end{cases}$$

con  $\mathcal{P} \cup \mathcal{Q} = \{1, \dots, n\}$  e  $\mathcal{P} \cap \mathcal{Q} = \emptyset$ . Non ci sarà quindi nessun arco che collega un elemento di  $\mathcal{P}$  a un elemento di  $\mathcal{Q}$ . Se si considera una permutazione  $\Pi$  che manda in testa tutti gli elementi di  $\mathcal{Q}$ , si ritrova esattamente la forma della definizione 7.7, cioè quella di una matrice riducibile, notando  $k = |\mathcal{Q}|$  e  $n - k = |\mathcal{P}|$ .

□

Prendiamo ad esempio la matrice:

$$A = \begin{pmatrix} 1 & 0 & 1 & 0 & 0 & 0 \\ 0 & 2 & 0 & 0 & 0 & 3 \\ 0 & 0 & -1 & 0 & 0 & 0 \\ 3 & 0 & 0 & 2 & -1 & -2 \\ 0 & 0 & 0 & -1 & 2 & 0 \\ 1 & 0 & 0 & 0 & 0 & 1 \end{pmatrix}$$

Disegniamo il grafo  $G(A)$  associato alla matrice  $A$ . In MATLAB, questo si potrà fare come:

```
1 >> A = [ 1 0 1 0 0 0; ... 1 0 0 0 0 1 ]
2 >> A(eye(size(A)) == 1) = 0 % rimuovi gli elementi sulla diagonale
3 >> G = digraph(A)
4 >> p = plot(G)
5 >> layout(p, "circle") % usa il layout circolare
```

che dalla  $A$  dell'esempio dà:



Vediamo quindi che le adiacenze fra nodi (pensando alla matrice, le dipendenze riga-colonna) sono:

Nodo	Raggiungibile	Non raggiungibile
1	1 3	2 4 5 6
2	1 2 3 6	4 5
3	3	1 2 4 5 6
4	1 3 4 5 6	2
5	1 3 4 5 6	2
6	1 3 6	2 4 5

Notiamo che il nodo 6 ci fornisce la partizione migliore:  $3 \times 3$  e  $3 \times 3$ . Decidiamo quindi di prendere:

$$\mathcal{P} = \{1, 3, 6\}, \quad \mathcal{Q} = \{2, 4, 5\}$$

per cui la permutazione che manda  $\mathcal{Q}$  in testa è:

$$\Pi = \begin{pmatrix} 0 & 1 & 0 & 0 & 0 & 0 \\ 0 & 0 & 0 & 1 & 0 & 0 \\ 0 & 0 & 0 & 0 & 1 & 0 \\ 1 & 0 & 0 & 0 & 0 & 0 \\ 0 & 0 & 1 & 0 & 0 & 0 \\ 0 & 0 & 0 & 0 & 0 & 1 \end{pmatrix} \begin{matrix} 2 \rightarrow 1 \\ 4 \rightarrow 2 \\ 5 \rightarrow 3 \\ 1 \rightarrow 4 \\ 3 \rightarrow 5 \\ 6 \rightarrow 6 \end{matrix}$$

Applicando  $\Pi A \Pi^T$  si ottiene quindi:

$$\Pi A \Pi^T = \begin{pmatrix} A_{11} = \begin{pmatrix} 0 & 0 & 0 \\ 0 & 0 & -1 \\ 0 & -1 & 0 \end{pmatrix} & A_{12} = \begin{pmatrix} 0 & 0 & 3 \\ 3 & 0 & -2 \\ 0 & 0 & 0 \end{pmatrix} \\ 0 & A_{21} = \begin{pmatrix} 0 & 1 & 0 \\ 0 & 0 & 0 \\ 1 & 0 & 0 \end{pmatrix} \end{pmatrix}$$

che è una forma più agile per la risoluzione della matrice originale  $A$ .

Nella sottodirectory `/code/matlab` si rende disponibile uno script `block_decomp.m` per la decomposizione in matrici a blocchi come nell'esempio. Un'esecuzione tipica dello script potrebbe avere l'aspetto:

```

1 p = block_decomp(A) % ottieni una permutazione
2   Node      Reachable      Not reachable
3   ----      -
4
5   1      {[      1 3]}      {[  2 4 5 6]}
6   2      {[  1 2 3 6]}      {[      4 5]}
7   3      {[      3]}      {[1  2 4 5 6]}
8   4      {[1  3 4 5 6]}      {[      2]}
9   5      {[1  3 4 5 6]}      {[      2]}
10  6      {[      1 3 6]}      {[  2 4 5]}
11
12 Choose an index: 6 % chiesto dallo script
13 >> A(p, p) % permuta A

```

da cui si ottiene la stessa matrice a blocchi riportata sopra.

### 8.1.1 Riduzione iterata

Ricordiamo di poter iterare ricorsivamente il processo di riduzione, cioè di poter trovare per ogni blocco  $A_{ii}$  con  $i \in \{1, 2\}$  un  $\Pi_i$  tale che:

$$\Pi_i A_{ii} \Pi_i^T = \begin{pmatrix} A_{11}^{(i)} & A_{12}^{(i)} \\ 0 & A_{22}^{(i)} \end{pmatrix}$$

così che valga:

$$\begin{pmatrix} \Pi_1 & 0 \\ 0 & \Pi_2 \end{pmatrix} \begin{pmatrix} A_{11} & A_{12} \\ 0 & A_{22} \end{pmatrix} \begin{pmatrix} \Pi_1^T & 0 \\ 0 & \Pi_2^T \end{pmatrix} = \begin{pmatrix} \Pi_1 A_{11} \Pi_1^T & \Pi_1 A_{12} \Pi_2^T \\ 0 & \Pi_2 A_{22} \Pi_2^T \end{pmatrix}$$

$$= \begin{pmatrix} \begin{pmatrix} A_{11}^{(1)} & A_{12}^{(1)} \\ 0 & A_{22}^{(1)} \end{pmatrix} & * \\ 0 & \begin{pmatrix} A_{11}^{(2)} & A_{12}^{(2)} \\ 0 & A_{22}^{(2)} \end{pmatrix} \end{pmatrix}$$

e via dicendo, dove in (\*) comparrà qualcosa che al momento non ci interessa.

### 8.1.2 Problemi agli autovalori per riduzione

Notiamo che questo procedimento semplifica anche la risoluzione dei **problemi agli autovalori**: infatti iterando abbastanza, il problema si ridurrà a trovare i singoli autovalori di matrici sulla diagonale sempre più piccole, e quindi dal polinomio caratteristico di più facile risoluzione.

## 8.2 Sistemi lineari

Veniamo quindi alla trattazione dei sistemi lineari, che avevamo definito come forme  $Ax = b$  con  $A \in \mathbb{C}^{n \times n}$ ,  $b \in \mathbb{C}^n$ .

Studieremo 2 tipi di metodi risolutivi:

- **Metodi diretti**: esatti ma dispendiosi, se eseguiti in aritmetica esatta (cioè senza arrotondamenti) potrebbero in un numero  $n$  finito di passaggi alla soluzione esatta. Esempi di metodi diretti sono il **metodo di Cramer** (visto in 4.7.2) e l'**eliminazione di Gauss** (che vedremo fra poco);
- **Metodi iterativi**: meno accurati ma più efficienti computazionalmente, portano ad una successione  $\{x_k\}_{k \in \mathbb{N}}$  di approssimazioni tali che  $\lim_{k \rightarrow +\infty} x_k = x$  soluzione esatta. Notiamo però che, in generale, è impossibile trovare il valore esatto di  $x$  in un numero esatto di iterazioni. Per contropartita, risultano spesso molto più efficienti dei metodi diretti (esistono esempi di sistemi addirittura non risolvibili, nella pratica, con metodi diretti).

### 8.3 Metodi diretti per i sistemi lineari

Iniziamo a trattare i metodi diretti per la risoluzione dei sistemi lineari.

### 8.3.1 Sistemi triangolari

Diamo la definizione parallela a quella di matrice triangolare:

#### Definizione 8.1: Sistema triangolare

Si dice sistema triangolare un sistema della forma  $Ux = c$  con  $U$  matrice triangolare.

Per un **sistema triangolare superiore**, si avrà la forma:

$$\begin{cases} u_{11}x_1 + u_{12}x_2 + \dots + u_{1,n-1}x_{n-1} + u_{1n}x_n = c_1 \\ u_{22}x_2 + \dots + u_{2,n-1}x_{n-1} + u_{2n}x_n = c_2 \\ \vdots \\ u_{n-1,n-1}x_{n-1} + u_{n-1,n}x_n = c_{n-1} \\ u_{nn}x_n = c_n \end{cases}$$

Il **metodo risolutivo** sarà allora la *sostituzione all'indietro*, definita ricorsivamente come:

$$\begin{cases} x_n = \frac{c_n}{u_{nn}} \\ x_i = \frac{c_i - \sum_{j=i+1}^n u_{ij}x_j}{u_{ii}} \end{cases}$$

che equivale all'algoritmo, in MATLAB:

```
1 function x = bck_subst(U, b)
2     n = height(U);
3     x = zeros(n, 1);
4
5     for i = n:-1:1
6         p = b(i);
7         for j = (i + 1):n
8             p = p - U(i, j) * x(j);
9         end
10        x(i) = p / U(i, i);
11    end
12 end
```

Riguardo alla complessità, si potrà dire che al passo  $i$  si eseguono  $n - i + n - i + 2 = 2(n - 1) + 2$  passaggi, cioè 2 per la divisione per  $u_{jj}$  e la somma fra  $c_i$  e il termine accumulato a destra,  $n - i$  per i prodotti nella sommatoria e di nuovo  $n - i$  per la sommatoria stessa. Sarà allora che:

$$\sum_{i=1}^n (2(n - i) + 2) \sim O(n^2)$$

cioè si ha complessità quadratica.

Osserviamo poi che per **sistemi triangolari inferiori** la situazione è uguale, cioè si risolve la prima equazione, si sostituisce il risultato nella seconda, e via dicendo:

$$\begin{cases} x_1 = \frac{c_1}{u_{11}} \\ x_i = \frac{c_i - \sum_{j=1}^{i-1} u_{ij}x_j}{u_{ii}} \end{cases}$$

che equivale all'algoritmo, in MATLAB:

```

1 function x = fwd_subst(L, b)
2     n = height(L);
3     x = zeros(n, 1);
4
5     for i = 1:n
6         p = b(i);
7         for j = 1:(i - 1)
8             p = p - L(i, j) * x(j);
9         end
10        x(i) = p / L(i, i);
11    end
12 end

```

Il metodo ottenuto, speculare al quello di sostituzione all'indietro, viene detto *sostituzione in avanti*, di costo identico ( $O(n^2)$ ).

### 8.3.2 Metodo di eliminazione di Gauss

L'idea del metodo di eliminazione di Gauss è quella di partire da un sistema  $Ax = b$ , trasformarlo in un sistema equivalente  $Ux = c$  (quindi triangolare superiore), ed applicare la sostituzione all'indietro.

Per arrivare alla forma  $Ux = c$  si sostituiscono le equazioni del sistema con loro combinazioni lineari scelte in modo da annullare gli elementi inferiori alla diagonale.

L'idea è quella di eliminare, per ogni elemento  $i$ -esimo sulla diagonale a partire da quello in alto a destra, gli  $n - i$  elementi che stanno al di sotto, cioè:

---

#### Algoritmo 1 Eliminazione di Gauss

---

**Input:** un sistema lineare qualsiasi  $Ax = b$

**Output:** un sistema lineare triangolare superiore  $Ux = c$

**for**  $i = 1$  to  $n$  **do**

**for**  $j = i$  to  $n$  **do**

        Calcola il **moltiplicatore**  $l_{ji} = \frac{a_{ji}^{(i-1)}}{a_{ii}^{(i-1)}}$

        Aggiungi alla riga  $j$  la riga  $i$  moltiplicata per  $l_{ij}$

**end for**

**end for**

---

### 8.3.3 Implementazione MATLAB del metodo di eliminazione Gauss

Una semplice implementazione in MATLAB del suddetto algoritmo può essere la seguente:

```

1 function [A, b] = gauss_decomp(A, b)
2     n = height(A);
3
4     for i = 1:n % i itera sulle diagonali
5         den = A(i, i);
6
7         for j = (i + 1):n % j itera sulle righe
8             mul = A(j, i) / den; % moltiplicatore
9
10            A(j, :) = A(j, :) - A(i, :) * mul;
11            b(j) = b(j) - b(i) * mul;
12        end
13    end

```

14 **end**

da cui si potrà ottenere una riduzione di Gauss semplicemente come:

```
1 >> [U, c] = gauss_decomp(A, b)
```

Dal punto di vista della complessità, la riduzione in forma triangolare costa  $O(\frac{2}{3}n^3)$ , e chiaramente domina sul termine  $O(n^2)$  della risoluzione di  $Ux = c$  con la sostituzione all'indietro.

Facciamo una nota sulla fattibilità della riduzione di Gauss, definendo:

### Definizione 8.2: Moltiplicatori di Gauss

I termini  $l_{ji} = \frac{a_{ji}^{(i-1)}}{a_{ii}^{(i-1)}}$  vengono detti moltiplicatori.

Chiaramente, per poter eseguire l'eliminazione di Gauss serve che  $a_{jjj-1} \neq 0 \forall j = 1, \dots, n-1$ . Inoltre, i casi  $a_{jj}^{j-1} \approx 0$  possono causare problemi di instabilità numerica. Vedremo in seguito metodi per ovviare a questo problema.

### 8.3.4 Fattorizzazione LU

Il primo passo dell'algoritmo di Gauss si può vedere come equivalente a moltiplicare l'equazione  $Ax = b$  a sinistra per una particolare matrice  $H_1$  triangolare inferiore:

$$H_1 = \begin{pmatrix} 1 & \dots & \dots & 0 \\ -l_{21} & 1 & \dots & 0 \\ \dots & \dots & \dots & \dots \\ -l_{n1} & \dots & \dots & 1 \end{pmatrix}$$

con la diagonale a 1 e i moltiplicatori sulla prima colonna, così che  $AH_1$  risulti esattamente quello che volevamo per Gauss, cioè la combinazione lineare di ogni riga  $j$  con l'prima riga moltiplicata per il moltiplicatore  $l_{j1}$  (con  $j > 1$ ).

Possiamo generalizzare questo processo a una serie di matrici  $H_i$ , per ogni elemento sulla diagonale, con la diagonale a 1 e i moltiplicatori corrispondenti a  $i$  sulla  $i$ -esima colonna:

$$H_i = \begin{pmatrix} 1 & \dots & \dots & 0 \\ 0 & 1 & \dots & 0 \\ \dots & -l_{ji} & \dots & \dots \\ 0 & -l_{ni} & \dots & 1 \end{pmatrix}$$

Così, ancora una volta,  $AH_i$  risulterà quello che volevamo per Gauss, cioè la combinazione lineare di ogni riga  $j$  con l' $i$ -esima riga moltiplicata per il moltiplicatore  $l_{ji}$ .

Varrà allora che il metodo di Gauss sarà equivalente a considerare:

$$H_{n-1}H_{n-2} \dots H_1Ax = H_{n-1}H_{n-2} \dots H_1b$$

e potremo quindi dire:

$$H_{n-1}H_{n-2} \dots H_1A = U, \quad L = H_1^{-1} \dots H_{n-1}^{-1}$$

da cui:

$$A = LU$$

Semplifichiamo i calcoli notando alcune proprietà delle matrici  $H_j$ :

1. Hanno l'inversa facile, in quanto basta invertire i segni:

$$H_i^{-1} = \begin{pmatrix} 1 & \dots & \dots & 0 \\ 0 & 1 & \dots & 0 \\ \dots & l_{ji} & \dots & \dots \\ 0 & l_{ni} & \dots & 1 \end{pmatrix}$$

2. Sono facili da moltiplicare, in quanto si può dire:

$$H_{i_1} \cdot H_{i_2} = \begin{pmatrix} 1 & \dots & \dots & 0 \\ -l_{2i_1} & 1 & \dots & 0 \\ \dots & -l_{ji_2} & \dots & \dots \\ -l_{ni_1} & -l_{ni_2} & \dots & 1 \end{pmatrix}$$

e:

$$H_{i_1}^{-1} \cdot H_{i_2}^{-1} = \begin{pmatrix} 1 & \dots & \dots & 0 \\ l_{2i_1} & 1 & \dots & 0 \\ \dots & l_{ji_2} & \dots & \dots \\ l_{ni_1} & l_{ni_2} & \dots & 1 \end{pmatrix}$$

cioè semplicemente si somma sotto la diagonale.

Questo significa che una volta svolta la prima parte dell'eliminazione di Gauss si è già calcolata la fattorizzazione LU come la matrice dei moltiplicatori:

$$H_{i_1}^{-1} \cdot H_{i_2}^{-1} = \begin{pmatrix} 1 & \dots & \dots & 0 \\ l_{21} & 1 & \dots & 0 \\ \dots & l_{3,2} & \dots & \dots \\ l_{n1} & l_{n2} & \dots & 1 \end{pmatrix}$$

### 8.3.5 Implementazione MATLAB della riduzione LU

Modifichiamo il codice MATLAB della scorsa sezione per calcolare, oltre all'eliminazione di Gauss (cioè la matrice  $U$ ), la matrice dei moltiplicatori  $L$ :

```

1 function [A, b, L] = gauss_decomp(A, b)
2     n = height(A);
3
4     L = eye(n); % prepara L
5
6     for i = 1:n % i itera sulle diagonali
7         den = A(i, i);
8
9         for j = (i + 1):n % j itera sulle righe
10            mul = A(j, i) / den; % moltiplicatore
11            L(j, i) = mul;
12
13            A(j, :) = A(j, :) - A(i, :) * mul;
14            b(j) = b(j) - b(i) * mul;
15        end
16    end
17 end

```

A questo punto per calcolare la fattorizzazione LU di una matrice basterà eseguire:

```

1 >> [U, ~, L] = gauss_decomp(A, b)
2 >> L * U % idealmente dara' A

```

Si osserva quindi che se già si conoscono  $L$  ed  $U$  (magari di una matrice che dovremo usare spesso) risolvere  $Ax = b$  costa  $O(n^2)$ , in quanto basta dire:

$$Ax = b \Rightarrow LUx = b \implies x = U^{-1}L^{-1}b$$

dove basta risolvere a cascata:

$$\begin{cases} Ly = b \\ Ux = y \end{cases}$$

Questi sono due sistemi triangolari, uno **inferiore** (risolvibile per *sostituzione in avanti*), l'altro **superiore** (risolvibile per *sostituzione all'indietro*), da cui l'andamento complessivo  $O(n^2)$ .

In MATLAB, la soluzione si può quindi avere usando le funzioni definite finora:

```
1 >> [U, ~, L] = gauss_decomp(A, b)
2 >> y = fwd_subst(L, b)
3 >> x = bck_subst(U, y) % x e' la soluzione del sistema
```

Notiamo che questo vale se  $L$  ed  $U$  sono note (o come nell'esempio vengono calcolate), quindi tolto il prezzo dato dal doverle calcolare (come avevamo notato, conviene per matrici che magari dobbiamo usare spesso).

### 8.3.6 Metodo di Gauss per variabili matriciali

Se si vuole risolvere  $AX = B$  con  $X$  e  $B$  matrici di vettori colonna di  $s$  colonne:

$$X = \begin{pmatrix} x_1 & \dots & x_s \end{pmatrix}, \quad B = \begin{pmatrix} b_1 & \dots & b_s \end{pmatrix}$$

cioè se si vogliono risolvere  $s$  sistemi lineari con la stessa matrice  $A$ :

$$Ax_1 = b_1, \quad \dots, \quad Ax_s = b_s$$

si può modificare l'algoritmo di Gauss, effettuando le mosse di Gauss sulla matrice aumentata  $(A|B)$ . Alla fine troveremo una matrice  $(U|B^{(n-1)})$ , dove gli apici  $(n-1)$  rappresentano che è la  $B$  che si ottiene all' $n-1$ -esimo passaggio, che risolverà i sistemi triangolari superiori:

$$Ux_1 = b_1^{(n-1)}, \quad \dots, \quad Ux_s = b_s^{(n-1)}$$

Vediamo un esempio numerico. Partiamo dalle matrici  $A$  e  $B$ :

$$A = \begin{pmatrix} -2 & 1 & 1 \\ -1 & 3 & 1 \\ 1 & 1 & 2 \end{pmatrix}, \quad B = \begin{pmatrix} -2 & 0 \\ -3 & 0 \\ 2 & 1 \end{pmatrix}$$

Avremo che le due colonne di  $B$  rappresentano due vettori "termini noti" diversi, e che quindi la soluzione  $X$  di  $AX = B$  rappresenterà in verità due vettori soluzione:

$$X = \begin{pmatrix} x_1^{(1)} & x_1^{(2)} \\ x_2^{(1)} & x_2^{(2)} \\ x_3^{(1)} & x_3^{(2)} \end{pmatrix}$$

Costruiamo quindi la matrice  $AB$  ed applichiamo il metodo di riduzione di Gauss:

$$AB = \left( \begin{array}{ccc|cc} -2 & 1 & 1 & -2 & 0 \\ -1 & 3 & 1 & -3 & 0 \\ 1 & 1 & 2 & 2 & 1 \end{array} \right) \xrightarrow{\text{Gauss}} \left( \begin{array}{ccc|cc} -2 & 1 & 1 & -2 & 0 \\ 0 & \frac{5}{2} & \frac{1}{2} & -2 & 0 \\ 0 & 0 & \frac{11}{5} & \frac{11}{5} & 1 \end{array} \right) = UB^{(n-1)}$$



Avremo quindi due sistemi dati dalla forma  $UX = B^{(n-1)}$ :

$$x^{(1)} : \begin{cases} -2x_1^{(1)} + x_2^{(1)} + x_3^{(1)} = -2 \\ \frac{5}{2}x_2^{(1)} + \frac{1}{2}x_3^{(1)} = -2 \\ \frac{11}{5}x_3^{(1)} = \frac{11}{5} \end{cases} \quad x^{(2)} : \begin{cases} -2x_1^{(2)} + x_2^{(2)} + x_3^{(2)} = 0 \\ \frac{5}{2}x_2^{(2)} + \frac{1}{2}x_3^{(2)} = 0 \\ \frac{11}{5}x_3^{(2)} = 1 \end{cases}$$

da cui le soluzioni:

$$x^{(1)} = \begin{pmatrix} 1 \\ -1 \\ 1 \end{pmatrix} \quad x^{(2)} = \begin{pmatrix} \frac{2}{11} \\ -\frac{1}{11} \\ \frac{5}{11} \end{pmatrix}$$

e quindi la matrice incognita  $X$ :

$$X = \begin{pmatrix} 1 & \frac{2}{11} \\ -1 & -\frac{1}{11} \\ 1 & \frac{5}{11} \end{pmatrix}$$

### 8.3.7 Implementazione MATLAB del metodo di Gauss

Implementiamo un risolutore per sistemi lineari, per comprendere a pieno questo risultato. Vogliamo calcolare  $X$  come la soluzione del sistema  $AX = B$ , e capiamo quindi che quello che cerchiamo sono i vettori colonna  $x_1, \dots, x_n$  tali per cui:

$$Ax_1 = B_1, \quad \dots, \quad Ax_n = b_n$$

con  $b_i$  l' $i$ -esimo vettore colonna di  $B$ . Sfruttiamo allora l'eliminazione di Gauss per ricavare due matrici,  $U$  e  $B^{(n-1)}$ , tali che  $Ux = B^{(n-1)}$ , con il vantaggio che  $U$  è triangolare superiore e quindi risolvibile per sostituzione all'indietro. Possiamo fare questo in MATLAB come:

```
1 AI = [A, B]
2 UB1 = gauss_decomp(AB) % modificando gauss_decomp per un solo argomento
3 U = UB1(1:n, 1:n)
4 B1 = UB1(1:n, (n + 1):(n + s))
```

A questo punto potremo trovare le colonne  $x_i$  come:

```
1 >> x1 = bck_subst(U, B1(1:n, 1))
2 >> x2 = bck_subst(U, B1(1:n, 2))
3 ...
```

e infine concatenare le colonne come:

```
1 >> X = [x1, ..., xn]
```

che realizzato in un unico script risulta:

```
1 function X = gauss_solve(A, B)
2     n = height(A);
3     s = width(B);
4
5     AB = [A, B];
6
7     UB1 = gauss_decomp(AB);
8     U = UB1(:, 1:n);
9     B1 = UB1(:, (n + 1):(n + s));
10
11     X = zeros(n, s);
12
```

```

13     for i = 1:s
14         X(:, i) = bck_subst(U, B1(:, i));
15     end
16 end

```

### 8.3.8 Metodo di Gauss per il calcolo dell'inversa

Un caso particolare è il **calcolo dell'inversa** con l'algoritmo di **Gauss-Jordan**. Infatti, scegliendo:

$$AX = I$$

con  $n = s$ , le colonne in  $X$  diventeranno l'inversa di  $A$  (basti vedere che  $AA^{-1} = I$  per definizione).

Facciamo un esempio numerico. Prendiamo la stessa matrice di prima:

$$A = \begin{pmatrix} -2 & 1 & 1 \\ -1 & 3 & 1 \\ 1 & 1 & 2 \end{pmatrix}$$

e calcoliamone l'inversa come soluzione a  $AX = I$ . Impostiamo quindi la matrice  $AI$  e riduciamola:

$$AI = \left( \begin{array}{ccc|ccc} -2 & 1 & 1 & 1 & 0 & 0 \\ -1 & 3 & 1 & 0 & 1 & 0 \\ 1 & 1 & 2 & 0 & 0 & 1 \end{array} \right) \xrightarrow{\text{Gauss}} \left( \begin{array}{ccc|ccc} -2 & 1 & 1 & 1 & 0 & 0 \\ 0 & \frac{5}{2} & \frac{1}{2} & -\frac{1}{2} & 1 & 0 \\ 0 & 0 & \frac{11}{5} & \frac{4}{5} & -\frac{3}{5} & 1 \end{array} \right) = UB^{(n-1)}$$

da cui i 3 sistemi lineari:

$$\begin{aligned}
 x^{(1)} : \begin{cases} -2x_1^{(1)} + x_2^{(1)} + x_3^{(1)} = 1 \\ \frac{5}{2}x_2^{(1)} + \frac{1}{2}x_3^{(1)} = -\frac{1}{2} \\ \frac{11}{5}x_3^{(1)} = \frac{4}{5} \end{cases} & \quad x^{(2)} : \begin{cases} -2x_1^{(2)} + x_2^{(2)} + x_3^{(2)} = 0 \\ \frac{5}{2}x_2^{(2)} + \frac{1}{2}x_3^{(2)} = 1 \\ \frac{11}{5}x_3^{(2)} = -\frac{3}{5} \end{cases} \\
 x^{(3)} : \begin{cases} -2x_1^{(3)} + x_2^{(3)} + x_3^{(3)} = 0 \\ \frac{5}{2}x_2^{(3)} + \frac{1}{2}x_3^{(3)} = 0 \\ \frac{11}{5}x_3^{(3)} = 1 \end{cases}
 \end{aligned}$$

che hanno come soluzione:

$$X = \begin{pmatrix} x^{(1)} & x^{(2)} & x^{(3)} \end{pmatrix} = A^{-1} = \begin{pmatrix} -\frac{5}{11} & \frac{1}{11} & \frac{2}{11} \\ -\frac{3}{11} & \frac{5}{11} & -\frac{1}{11} \\ \frac{4}{11} & -\frac{3}{11} & \frac{5}{11} \end{pmatrix}$$

### 8.3.9 Implementazione MATLAB del metodo di Gauss per il calcolo dell'inversa

Facciamo un ultimo esempio MATLAB di questo procedimento. Vogliamo calcolare  $A^{-1}$  come la soluzione del sistema  $AX = I$ , e capiamo quindi che quello che cerchiamo sono i vettori colonna  $i_1, \dots, i_n$  tali per cui:

$$Ai_1 = I_1, \quad \dots, \quad Ai_n = I_n$$

con  $I_i$  il vettore di zeri con un 1 all' $i$ -esima riga. Anche allora vogliamo sfruttare l'eliminazione di Gauss per ricavare due matrici,  $U$  e  $B^{(n-1)}$ , tali che  $Ux = B^{(n-1)}$ , con il vantaggio che  $U$  è triangolare superiore e quindi risolvibile per sostituzione all'indietro.

Questo è esattamente quello che ci permette di fare la funzione `gauss_solve()` definita prima, fissando il secondo argomento all'identità  $I$  (in matlab `eye(n)`):

```

1 function A_inv = gauss_inv(A)
2     n = height(A);
3     A_inv = gauss_solve(A, eye(n));
4 end

```

## 9 Lezione del 24-03-25

### 9.1 Pivoting

L'algoritmo di eliminazione di Gauss che abbiamo definito alla scorsa lezione ha un punto di fallimento nel caso uno degli elementi  $a_{ii}^{(i-1)}$  sia  $= 0$ , o comunque  $\approx 0$ , in quanto vorremmo a quel punto calcolare un moltiplicatore  $l_{ji} = \frac{a_{ji}}{a_{ii}} \rightarrow$  non ben definito.

In tal caso si può modificare l'algoritmo sfruttando una matrice di permutazione che porti un elemento diverso da zero nella stessa posizione di  $a_{ii}$ . Vorremo quindi cercare un indice  $h$  tal per cui  $a_{hi}^{(i-1)}$  sia di modulo massimo nella sua colonna al di sotto di  $i$ , cioè:

$$a_{hi}^{(i-1)} \geq \max_{j=i, \dots, n} |a_{ji}^{(i-1)}|$$

e scambiare la riga  $i$  con la riga  $h$ . Infatti, se  $\det(A) \neq 0$ , allora necessariamente esiste un  $a_{ji}^{(i-1)} \neq 0$  (altrimenti si ha uno 0 obbligato sulla diagonale, che con la matrice triangolare a blocchi dà  $\det(A^{(i-1)}) = 0$ ).  $\square$

Un'altra conseguenza di questo approccio è che tutti i moltiplicatori  $l_{ji}$  diventeranno  $\leq 1$ . L'algoritmo di Gauss con questa modifica si chiama **eliminazione di Gauss con pivoting parziale** (*parziale* perché ne esistono versioni più sofisticate, che non vedremo).

Osserviamo che ogni scambio di righe equivale a moltiplicare a sinistra per una matrice di permutazione  $\Pi_i$ . Quindi il metodo di Gauss con pivoting può essere rappresentato come:

---

#### Algoritmo 2 Eliminazione di Gauss con pivoting parziale

---

**Input:** un sistema lineare qualsiasi  $Ax = b$

**Output:** un sistema lineare triangolare superiore  $Ux = c$

**for**  $i = 1$  to  $n$  **do**

    Trova la matrice  $\Pi_i$  che porta l'elemento di modulo massimo in testa

$A \leftarrow \Pi_i A$

**for**  $j = i$  to  $n$  **do**

        Calcola il **moltiplicatore**  $l_{ji} = \frac{a_{ji}^{(i-1)}}{a_{ii}^{(i-1)}}$

        Aggiungi alla riga  $j$  la riga  $i$  moltiplicata per  $l_{ij}$

**end for**

**end for**

---

Vediamo un esempio pratico dell'algoritmo prima di procedere all'implementazione MATLAB. Prendiamo la matrice  $A$  e il vettore  $b$ :

$$A = \begin{pmatrix} 1 & 2 & 3 \\ 4 & 5 & 6 \\ 7 & 8 & 0 \end{pmatrix}, \quad b = \begin{pmatrix} 1 \\ 2 \\ 3 \end{pmatrix}$$

Nel ridurre la matrice aumentata  $Ab$ :

$$\left( \begin{array}{ccc|c} 1 & 2 & 3 & 1 \\ 4 & 5 & 6 & 2 \\ 7 & 8 & 0 & 3 \end{array} \right)$$

ci accorgiamo che alla prima colonna l'entrata di modulo massimo è 7, di indice 3. Si permutano quindi la prima e la terza riga:

$$\xrightarrow{\Pi_1} \left( \begin{array}{ccc|c} 7 & 8 & 0 & 3 \\ 4 & 5 & 6 & 2 \\ 1 & 2 & 3 & 1 \end{array} \right) \xrightarrow{H_1 \Pi_1} \left( \begin{array}{ccc|c} 7 & 8 & 0 & 3 \\ 0 & \frac{3}{7} & 6 & \frac{2}{7} \\ 0 & \frac{6}{7} & 3 & \frac{4}{7} \end{array} \right)$$

nuovamente, l'entrata di modulo massimo è all'indice 3. Si permutano quindi la seconda e la terza riga:

$$\xrightarrow{\Pi_2 H_1 \Pi_1} \left( \begin{array}{ccc|c} 7 & 8 & 0 & 3 \\ 0 & \frac{6}{7} & 3 & \frac{4}{7} \\ 0 & \frac{3}{7} & 6 & \frac{2}{7} \end{array} \right) \xrightarrow{H_2 \Pi_2 H_1 \Pi_1} \left( \begin{array}{ccc|c} 7 & 8 & 0 & 3 \\ 0 & \frac{6}{7} & 3 & \frac{4}{7} \\ 0 & 0 & \frac{9}{2} & 0 \end{array} \right)$$

### 9.1.1 Implementazione MATLAB del metodo di eliminazione di Gauss con pivoting

Modifichiamo quindi la funzione `gauss_decomp()` per introdurre il meccanismo di pivoting appena visto:

```

1 function [A, b] = gauss_decomp(A, b)
2     n = height(A);
3
4     if nargin < 2
5         b = zeros(n, 1);
6     end
7
8     for i = 1:n % i iterata sulle diagonali
9         % qui fai il pivot
10        max_abs = max(abs(A(i:n, i)));
11        h = find(abs(A(i:n, i)) == max_abs, 1);
12        h = h + i - 1; % max abs si conta da i in poi
13
14        A([i, h], :) = A([h, i], :); % permuta A
15        b([i, h]) = b([h, i]); % permuta b
16
17        den = A(i, i);
18
19        for j = (i + 1):n % j iterata sulle righe
20            mul = A(j, i) / den; % moltiplicatore
21            L(j, i) = mul;
22
23            A(j, :) = A(j, :) - A(i, :) * mul;
24            b(j) = b(j) - b(i) * mul;
25        end
26    end
27 end

```

### 9.1.2 Fattorizzazione LU con pivoting

Vediamo come ricavare una fattorizzazione LU dal metodo di Gauss modificato con il pivoting. Si ha quindi che la matrice  $U$  si evolve come:

$$A \rightarrow \Pi_1 A \rightarrow H_1 \Pi_1 A \rightarrow \dots \rightarrow H_{n-1} \Pi_{n-1} \dots H_1 \Pi_1 A = U$$

mentre per la  $L$  dovremo notare che:

$$LU = \Pi A$$

dove la matrice  $\Pi$  rappresenta tutte le permutazioni fatte sulle righe di  $A$ .

Si ha quindi che:

- $U$  è la matrice triangolare superiore trovata alla fine del metodo di Gauss con pivoting;
- $L$  è la matrice dei moltiplicatori, a cui però si devono applicare gli scambi delle righe, come segue: se al passo  $i$  applico la matrice  $\Pi_i$ , devo applicare lo stesso cambio nelle prime  $i - 1$  colonne di  $L$ , sotto la diagonale.

Vediamo un esempio numerico spieghi il processo di formazione della matrice  $L$  e della matrice di permutazione  $\Pi$ . Presa la stessa matrice dell'esempio precedente:

$$A = \begin{pmatrix} 1 & 2 & 3 \\ 4 & 5 & 6 \\ 7 & 8 & 0 \end{pmatrix}$$

abbiamo che le permutazioni sono, in sequenza:

$$\Pi_1 : \begin{pmatrix} 1 \\ 2 \\ 3 \end{pmatrix} \rightarrow \begin{pmatrix} 3 \\ 2 \\ 1 \end{pmatrix}, \quad \Pi_2 : \begin{pmatrix} 3 \\ 2 \\ 1 \end{pmatrix} \rightarrow \begin{pmatrix} 3 \\ 1 \\ 2 \end{pmatrix}$$

o, in forma matriciale:

$$\Pi_1 = \begin{pmatrix} 0 & 0 & 1 \\ 0 & 1 & 0 \\ 1 & 0 & 0 \end{pmatrix}, \quad \Pi_2 = \begin{pmatrix} 1 & 0 & 0 \\ 0 & 0 & 1 \\ 0 & 1 & 0 \end{pmatrix}$$

Calcoliamo quindi  $L$ .  $\Pi_1$  è irrilevante al calcolo di  $L$ , quindi la ignoriamo. Vediamo che i primi due moltiplicatori sono  $l_{21} = \frac{4}{7}$  e  $l_{31} = \frac{1}{7}$ , da cui si imposta  $L^{(1)}$ :

$$L^{(1)} = \begin{pmatrix} 1 & 0 & 0 \\ \frac{4}{7} & 1 & 0 \\ \frac{1}{7} & 0 & 1 \end{pmatrix}$$

Notiamo quindi che dalla  $\Pi_2$  dobbiamo scambiare gli elementi sotto la diagonale della prima colonna, quindi:

$$L^{(1)} = \begin{pmatrix} 1 & 0 & 0 \\ \frac{1}{7} & 1 & 0 \\ \frac{4}{7} & 0 & 1 \end{pmatrix}$$

Infine, l'ultimo moltiplicatore  $l_{32} = \frac{1}{2}$  non ha ambiguità:

$$L^{(2)} = L = \begin{pmatrix} 1 & 0 & 0 \\ \frac{1}{7} & 1 & 0 \\ \frac{4}{7} & \frac{1}{2} & 1 \end{pmatrix}$$

Il calcolo di  $\Pi$  deriva invece direttamente studiando la permutazione complessiva data dalle  $\Pi_1, \dots, \Pi_{n-1}$ , in questo caso:

$$\Pi : \begin{pmatrix} 1 \\ 2 \\ 3 \end{pmatrix} \xrightarrow{\Pi_1} \begin{pmatrix} 3 \\ 2 \\ 1 \end{pmatrix} \xrightarrow{\Pi_2} \begin{pmatrix} 3 \\ 1 \\ 2 \end{pmatrix}$$

da cui:

$$\Pi = \begin{pmatrix} 0 & 0 & 1 \\ 1 & 0 & 0 \\ 0 & 1 & 0 \end{pmatrix}$$

Con brevi calcoli si verifica che:

$$LU = \Pi A$$

### 9.1.3 Implementazione MATLAB completa del metodo di eliminazione di Gauss con pivoting

Vediamo quindi l'implementazione completa, che calcola anche la matrice  $L$  e la matrice  $\Pi$ . Notiamo inoltre l'argomento condizionale  $b$ , che viene ignorato se non fornito (abbiamo constatato che spesso è così).

```

1 function [A, b, L, P] = gauss_decomp(A, b)
2     n = height(A);
3
4     if nargin < 2
5         b = zeros(n, 1);
6     end
7
8     L = eye(n); % prepara L
9     P = eye(n); % prepara P
10
11     for i = 1:n % i iterata sulle diagonali
12         % qui fai il pivot
13         max_abs = max(abs(A(i:n, i)));
14         h = find(abs(A(i:n, i)) == max_abs, 1);
15         h = h + i - 1; % max abs si conta da i in poi
16
17         A([i, h], :) = A([h, i], :); % permuta A
18         b([i, h]) = b([h, i]); % permuta b
19         if i > 1
20             L([i, h], 1:(i - 1)) = L([h, i], 1:(i - 1)); % permuta L
21         end
22         P([i, h], :) = P([h, i], :); % permuta P
23
24         den = A(i, i);
25
26         for j = (i + 1):n % j iterata sulle righe
27             mul = A(j, i) / den; % moltiplicatore
28             L(j, i) = mul;
29
30             A(j, :) = A(j, :) - A(i, :) * mul;
31             b(j) = b(j) - b(i) * mul;
32         end
33     end
34 end

```

### 9.1.4 Determinante con pivoting

Possiamo sfruttare la matrice  $\Pi$  per il calcolo del determinante. Si ha infatti dal teorema di Binet-Cauchy (4.1) che:

$$\det(\Pi) \det(A) = \det(\Pi A) = \det(LU) = \det(L) \det(U)$$

e quindi:

$$\det(A) = \det(\Pi)^{-1} \det(L) \det(U)$$

dove  $\det(L) = 1$  (triangolare inferiore con diagonale di 1). Si nota poi che  $\det(\Pi)^{-1}$  è  $(-1)^s$  è il numero di pivot che effettuiamo. A questo punto  $\det(U)$  è semplicemente il prodotto degli elementi sulla diagonale (triangolare superiore), cioè:

$$\prod_{i=1}^n a_{ii}^{(i-1)} = \prod_{i=1}^n u_{ii}$$

e quindi:

$$\det(A) = (-1)^s \prod_{i=1}^n a_{ii}^{(i-1)} = (-1)^s \prod_{i=1}^n u_{ii}$$

Si può quindi usare il metodo di Gauss, ancora una volta, per il calcolo del determinante di una matrice, con costo pari al costo dell'eliminazione di Gauss ( $O(\frac{2}{3}n^3)$ ), molto meglio dello sviluppo di Laplace! ( $O(n!)$ ).

### 9.1.5 Implementazione MATLAB del metodo di Gauss per il determinante

In MATLAB si può calcolare il prodotto delle diagonali come `prod(diag(A))` e il segno di una permutazione come `det(P)` (anche se sicuramente esistono approcci più efficienti). Si può quindi realizzare uno script simile al seguente per il calcolo del determinante sfruttando `gauss_decomp()` con permutazioni:

```
1 function d = gauss_det(A)
2     function s = perm_sign(P)
3         s = det(P); % ci sono modi piu' efficienti, vale l'esempio
4     end
5
6     [U, ~, ~, P] = gauss_decomp(A);
7     d = prod(diag(U)) * perm_sign(P);
8 end
```

## 9.2 Condizionamento di un sistema lineare

Date  $A \in \mathbb{C}^{n \times n}$  e  $b \in \mathbb{C}^n$ , supponiamo di voler trovare  $Ax = b$  ma a causa di errori nei dati o errori di arrotondamento troviamo (con un qualunque metodo) un vettore perturbato  $x + \delta x \in \mathbb{C}^n$  che risolve un sistema lineare di per sé perturbato:

$$(A + \delta A)(x + \delta x) = (b + \delta b)$$

con  $\delta A$  e  $\delta b$  perturbazioni "piccole" della matrice  $A$  e del vettore  $b$ , quindi  $A + \delta A \in \mathbb{C}^{n \times n}$  e  $b + \delta b \in \mathbb{C}^n$

La domanda è, se  $\delta A$  e  $\delta b$  sono piccole, posso concludere che anche  $\delta x$  è relativamente piccolo? Si scopre che la risposta a questa domanda è generalmente no. Prendiamo ad esempio il sistema  $2 \times 2$ :

$$\begin{pmatrix} 1 & -1 \\ 1 & 1.000001 \end{pmatrix} \begin{pmatrix} x_1 \\ x_2 \end{pmatrix} = \begin{pmatrix} 1 \\ 1 \end{pmatrix}$$

da cui  $x$  esatto è  $\begin{pmatrix} 1 & 0 \end{pmatrix}$ . Perturbando  $b$  a  $\begin{pmatrix} 0.999999 & 1 \end{pmatrix}$ , si ha  $x$  perturbato a  $\begin{pmatrix} -10^{-6} & -1 \end{pmatrix}$ , che è chiaramente un cambiamento drastico. Viene da sé che agendo sulla matrice  $A$  potremo ottenere effetti anche più drammatici.

### 9.2.1 Condizionamento in $\delta b$

Riprendiamo quindi la definizione di errore relativo:

$$\epsilon = \frac{|\delta x|}{|x|}$$

Prima di valutare questo errore, diamo la definizione di **numero di condizionamento**:

#### Definizione 9.1: Numero di condizionamento

Chiamiamo numero di condizionamento di una matrice  $A$ , data una certa norma  $|\cdot|$ , il valore:

$$\mu(A) = |A| \cdot |A^{-1}|$$

Si potrà allora dare, rispetto alla sola deviazione in  $b$  ( $\delta b$ ), il seguente risultato:

#### Teorema 9.1: Condizionamento in $\delta b$

Se  $\delta A = 0$ , si ha:

$$\frac{|\delta x|}{|x|} \leq \mu(A) \cdot \frac{|\delta b|}{|b|}$$

Assumendo  $\delta A = 0$  con  $\det(A) \neq 0$ , come nell'esempio precedente, e quindi perturbazioni solo del termine noto, si ha:

$$A(x + \delta x) = (b + \delta b) \Leftrightarrow A\delta x = \delta b$$

visto che  $Ax = b$ . Passando alle norme, si ha che:

$$|\delta x| \leq |A^{-1}| \cdot |\delta b|$$

e inoltre:

$$|Ax| = |b| \implies |A||x| \geq |b| \implies |x| \geq \frac{|b|}{|A|}$$

quindi:

$$\frac{|\delta x|}{|x|} \leq \frac{|A^{-1}| \cdot |\delta b| \cdot |A|}{|b|} = \frac{|\delta b|}{|b|} \cdot |A| \cdot |A^{-1}|$$

dove ci interessa il valore  $|A| \cdot |A^{-1}|$ , cioè il numero di condizionamento  $\mu(A)$ , l'unico che non dipende dall'errore assoluto  $\delta b$ .  $\square$

Abbiamo quindi che se  $\mu(A) \gg 1$ , allora l'errore relativo può essere molto più grande dell'errore relativo dei dati e il problema si dice *mal condizionato*.

## 10 Lezione del 28-03-25

Riprendiamo il discorso sull'errore inerente dei sistemi lineari.



### 10.0.1 Condizionamento in $\delta A$

Avevamo preso delle perturbazioni sulle matrici  $A$  e  $b$  (dovute a vari effetti reali, quali errori di arrotondamento, di misura, ecc...) nella forma:

$$(A + \delta A)(x + \delta x) = (b + \delta b)$$

e volevamo capire quanto può essere grande l'errore relativo  $\frac{|\delta x|}{|x|}$ , da:

$$\frac{\text{sol. perturbata} - \text{sol. reale}}{\text{sol. reale}} = \frac{|x + \delta x - x|}{|x|} = \frac{|\delta x|}{|x|}$$

Nel caso di  $\delta A = 0$ , abbiamo visto di poter maggiorare tale quantità come:

$$\frac{|\delta x|}{|x|} \leq \mu(A) \cdot \frac{|\delta b|}{|b|}$$

con  $\mu(A) = |A| \cdot |A^{-1}|$  numero di condizionamento (definizione 9.1).

Riguardo a  $\mu(A)$ , si ha che è  $\geq 1$ , cioè chiaramente non si può ridurre l'errore oltre la perfezione, e se  $\mu(A) \approx 10^k$ ,  $k$  è il numero di cifre significative che si *perdono* nel risultato  $x + \delta x$ .

Possiamo quindi reintrodurre il termine  $\delta A$  ed enunciare il seguente teorema:

#### Teorema 10.1: Condizionamento in $\delta A$

Se  $|\delta A| \cdot |A^{-1}| < 1$  allora si ha:

$$\frac{|\delta x|}{|x|} \leq \frac{\mu(A)}{1 - \mu(A) \cdot \frac{|\delta A|}{|A|}} \cdot \left( \frac{|\delta A|}{|A|} + \frac{|\delta b|}{|b|} \right)$$

dove osserviamo che se  $\delta A = 0$  si ottiene la stessa disuguaglianza che abbiamo dimostrato col teorema 9.1.

La dimostrazione del teorema non è immediata. Ci arriviamo in 3 iterazioni successive, restringendo man mano le approssimazioni fatte.

1. Una prima stima si potrebbe avere calcolando direttamente:

$$(A + \delta A)(x + \delta x) = (b + \delta b) \implies Ax + A\delta x + \delta Ax + \delta A\delta x = b + \delta b$$

$Ax = b$  dalle ipotesi, mentre il termine  $\delta A\delta b$ , il prodotto di due errori, è trascurabile, quindi:

$$A\delta x + \delta Ax \approx \delta b \implies \delta x \approx A^{-1}(\delta b - \delta Ax)$$

Passando alle norme si ha:

$$|\delta x| \leq |A^{-1}| (|\delta b| + |\delta A||x|) \quad (1)$$

da cui dividendo per  $|x| \geq \frac{|A|}{|b|}$  e moltiplicando e dividendo il termine a destra per  $|A|$ , si ha:

$$\frac{|\delta x|}{|x|} \leq |A^{-1}| \left( \frac{|\delta b|}{|b|} |A| + |\delta A| \frac{|A|}{|A|} \right) = |A^{-1}| |A| \left( \frac{|\delta b|}{|b|} + \frac{|\delta A|}{|A|} \right) = \mu(A) \left( \frac{|\delta b|}{|b|} + \frac{|\delta A|}{|A|} \right)$$

Da cui otteniamo essenzialmente la forma del teorema.

2. Per capire il denominatore del numero di condizionamento, che migliora il maggiorante nei casi dove  $A$  è quasi singolare, adottiamo un procedimento diverso che evidenzia l'errore fatto sull'inversa  $(A + \delta A)^{-1}$  (nel calcolo precedente, starebbe nel termine  $\delta A \delta x$  che abbiamo trascurato). Avremo quindi:

$$(A + \delta A)(x + \delta x) = (b + \delta b) \implies (x + \delta x) = (A + \delta A)^{-1}(b + \delta b)$$

$(A + \delta A)^{-1}$  risulta di difficile approssimazione. Riscriviamolo come:

$$(A + \delta A)^{-1} = (I + A^{-1}\delta A)^{-1}A^{-1}$$

e consideriamo la serie di Von Neumann:

$$(I - M)^{-1} = I + M + M^2 + \dots$$

troncando al primo termine, si ha che possiamo riscrivere la prima inversa come:

$$(I + A^{-1}\delta A)^{-1} \approx I - A^{-1}\delta A$$

e quindi:

$$(A + \delta A)^{-1} \approx (I - A^{-1}\delta A)A^{-1} = A^{-1} - A^{-1}\delta AA^{-1} \quad (2)$$

Possiamo convincerci che l'approssimazione è valida sostituendo nella formula per  $x + \delta x$  e trovando:

$$x + \delta x = (A^{-1} - A^{-1}\delta AA^{-1})(b + \delta b) = A^{-1}b + A^{-1}\delta b - A^{-1}\delta AA^{-1}b - A^{-1}\delta AA^{-1}\delta b$$

$x = A^{-1}b$  dalle ipotesi, mentre il termine  $A^{-1}\delta AA^{-1}\delta b$  contiene il prodotto di due errori, ed è trascurabile, quindi:

$$\delta x \approx A^{-1}\delta b - A^{-1}\delta AA^{-1}b = A^{-1}\delta b - A^{-1}\delta Ax = A^{-1}(\delta b - \delta Ax)$$

che è esattamente la forma della (1) che avevamo al primo metodo.

3. Riprendiamo la forma in (2) dell'inversa:

$$(A + \delta A)^{-1} \approx (I - A^{-1}\delta A)A^{-1}$$

per introdurre il denominatore che vediamo nell'enunciato del teorema. Passando alle norme, si avrà:

$$|I - A^{-1}\delta A||A^{-1}| = \frac{|A^{-1}|}{1 + |A^{-1}\delta A|}$$

Prendendo questa come la norma dell'inversa per il passaggio alle norme della (1), si ha:

$$\frac{|\delta x|}{|x|} \leq \frac{|A^{-1}|}{1 + |A^{-1}\delta A|} \left( \frac{|\delta b|}{|b|}|A| + |\delta A| \frac{|A|}{|A|} \right) \leq \frac{|A^{-1}||A|}{1 + |A^{-1}||\delta A|} \left( \frac{|\delta b|}{|b|} + \frac{|\delta A|}{|A|} \right)$$

dove  $|A^{-1}||\delta A|$  al denominatore si può scrivere come  $\mu(A) \frac{|\delta A|}{|A|}$ , in quanto:

$$|A^{-1}||\delta A| = \mu(A) \cdot \frac{|\delta A|}{|A|} = |A||A^{-1}| \cdot \frac{|\delta A|}{|A|}$$

da cui la forma del teorema. □

### 10.0.2 Stima di $\mu$

In genere è abbastanza costoso calcolare il numero di condizionamento, in quanto bisogna calcolare un'inversa e quindi la sua norma. Quello che si può fare è cercarne una stima.

Ad esempio, se  $A$  è hermitiana ( $A = A^H$ ) e si considera la norma euclidea  $|\cdot|_2$ , si ha che:

$$|A|_2 \cdot |A^{-1}|_2 = \rho(A) \cdot \rho(A^{-1}) = \frac{\lambda_{\max}(A)}{\lambda_{\min}(A)}$$

cioè prendiamo il rapporto fra l'autovalore più grande e l'autovalore più piccolo di  $A$ , per cui si possono usare i metodi per gli autovalori (che vedremo verso la fine del corso).

### 10.0.3 Stime a posteriori

Supponiamo di aver calcolato  $\tilde{x} \in \mathbb{C}^n$  con un qualunque metodo di approssimazione di  $x$ , prese  $A$  e  $b$  per buone. Per valutare se  $\tilde{x}$  è una buona approssimazione basta guardare al **vettore residuo**, cioè:

$$r = b - A\tilde{x}$$

Potremmo chiederci se, con  $|r|$  piccolo, si hanno anche  $|x - \tilde{x}|$  piccoli. Sottraiamo allora  $Ax = b$  da  $r$ :

$$A(x - \tilde{x}) = r \implies x - \tilde{x} = A^{-1}r$$

e quindi vale la disuguaglianza:

$$|x - \tilde{x}| \leq |A^{-1}||r|$$

Usando:

$$|x| \geq \frac{|b|}{|A|}$$

si otterrà allora che:

$$\frac{|x - \tilde{x}|}{|x|} \leq \frac{|A||A^{-1}||r|}{|b|} = \mu(A) \cdot \frac{|r|}{|b|}$$

Allora, in problemi ben condizionati, avremo che  $\frac{|x - \tilde{x}|}{|x|}$  errore relativo e  $|r|$  sono comparabili, mentre in problemi con condizionamento  $\mu(A) \gg 1$  si potrebbe avere:

$$\frac{\frac{|x - \tilde{x}|}{|x|}}{|r|} \approx \mu(A)$$

### 10.0.4 Tecniche per l'approssimazione delle inverse

Come nota conclusiva della sezione sull'errore nei sistemi lineari, notiamo che ogni volta che c'è bisogno di risolvere una forma del tipo:

$$Ax = b \implies x = A^{-1}b$$

il metodo naive sarebbe quello di calcolare  $A^{-1}$  e moltiplicare per  $b$ . Vediamo se si può fare di meglio.

Preso  $n = 1$ , la forma sarà quella di una semplice equazione lineare:

$$ax = b. \implies x = \frac{b}{a}$$

cioè basta fare una sola divisione, mentre l'approccio naive risulterebbe nel:

1. Calcolare il reciproco  $a^{-1}$ ;
2. Moltiplicare il reciproco per  $b \implies x = a^{-1} \cdot b$ .

che chiaramente risulta in più passaggi, e quindi più approssimazioni intermedie e in definitiva maggiore errore.

Nel caso matriciale il metodo di divisione equivale a fare una divisione matrice-vettore (che in MATLAB si effettua come `A \ b`), di complessità  $O(\frac{2}{3}n^3)$ . Di contro, il metodo naive (che in MATLAB si effettua come `inv(A) * b`) avrà complessità intorno ad  $O(\frac{8}{3}n^3)$ , in quanto calcola la fattorizzazione LU e risolve  $2n$  sistemi triangolari.

Inoltre, l'approccio naive è anche meno accurato, in quanto se il numero di condizionamento  $\mu(A)$  è alto, l'errore di approssimazione nei passaggi intermedi potrebbe accumularsi molto di più che rispetto all'approccio della semplice divisione matrice-vettore (tanto che la stessa documentazione di MATLAB suggerisce di evitarlo).

## 10.1 Metodi iterativi per i sistemi lineari

Veniamo quindi a trattare i metodi iterativi per la risoluzione dei sistemi lineari.

L'idea è quella di approssimare la soluzione di un sistema lineare  $Ax = b$  generando una successione di vettori  $\{x^{(k)}\}_{k \in \mathbb{N}}$  tali che:

$$\lim_{k \rightarrow +\infty} x^{(k)} = x$$

La motivazione è chiaramente quella di eludere l'alta complessità di  $\sim O(n^3)$  che ha la risoluzione con metodi diretti. Altra motivazione potrebbe essere quella di non conoscere direttamente  $A$ , ma solo l'applicazione:

$$v \rightarrow A \cdot v$$

(si pensi, anche se rappresenta un caso *non* lineare, ai metodi di discesa a gradiente che ottimizzano funzioni non immediatamente calcolabili o anche solo esprimibili).

Abbiamo quindi che un buon metodo iterativo dovrà:

1. Costare meno di  $O(n^3)$  ad ogni passaggio (altrimenti sarebbe inutile rispetto ai metodi diretti), e quindi richiedere solo prodotti di matrici con vettori, o risoluzione di sistemi lineari favorevoli (triangolari, diagonali, ecc...);
2. Data una certa **accuratezza** posta come obiettivo, impiegare un numero ragionevole di iterazioni per raggiungerla.

### 10.1.1 Metodi di punto fisso

L'idea è quella di partire da  $Ax - b = 0$  e di riscrivere come un'equazione equivalente in forma:

$$x = Hx + c, \quad H \in \mathbb{C}^{n \times m}, \quad c \in \mathbb{C}^n$$

Facciamo alcuni esempi:

1. Si sceglie una matrice  $G \in \mathbb{C}^{n \times n}$  invertibile e si considera:

$$x = x \cdot G(Ax - b) = (I - GA)x + Gb$$

cioè:

$$H = I - GA, \quad c = Gb$$

2. Si scompone  $A$  come:

$$A = A_1 + A_2$$

per cui:

$$Ax = b \Leftrightarrow (A_1 + A_2)x = b \Leftrightarrow A_1x = -A_2x + b \Leftrightarrow x = -A_1^{-1}A_2x + A_1^{-1}b$$

cioè ancora:

$$H = -A_1^{-1}A_2, \quad c = A_1^{-1}b$$

Una volta trovata un'equazione di punto fisso  $x = Hx + c$ , quindi, si considera il seguente metodo iterativo:

$$\begin{cases} x^{(0)} \text{ dato} \\ x^{(k+1)} = Hx^{(k)} + c, \quad k = 1, 2, 3, \dots \end{cases}$$

partendo da  $x^{(0)}$  come dato a priori (sarà la soluzione che vorremo raffinare).

Vediamo che infatti:

#### **Definizione 10.1: Matrice di iterazione**

La matrice  $H$  di un'equazione di punto fisso  $x = Hx + c$  viene detta matrice di iterazione.

Per avere una verifica della validità dei metodi di punto fisso, enunciamo il seguente teorema:

#### **Teorema 10.2: Validità dei metodi di punto fisso**

Il metodo di punto fisso dato da:

$$\begin{cases} x^{(0)} \text{ dato} \\ x^{(k+1)} = Hx^{(k)} + c, \quad k = 1, 2, 3, \dots \end{cases}$$

converge  $\forall x^{(0)} \in \mathbb{C}^n$  se e solo se  $\rho(H) < 1$ .

Questo si dimostra prendendo l'equazione di punto fisso  $x = Hx + c$ , soddisfatta da  $x$  soluzione esatta, per cui:

$$x^{(k+1)} - x = Hx^{(k)} + c - (Hx + c) = H(x^{(k)} - x)$$

Possiamo chiamare  $e^{(k)} = x^{(k)} - x$ , cioè l'errore al passo  $k$ , e quindi l'errore al passo  $k + 1$  sarà:

$$e^{(k+1)} = He^{(k)} = H^k e^{(0)}$$

Basterà allora prendere il limite:

$$\lim_{k \rightarrow +\infty} e^{(k+1)} = \lim_{k \rightarrow +\infty} H^k e^{(0)}$$

Perché questo tenda a 0, basterà imporre  $\rho(H) < 1$ , in quanto in tal caso:

$$\lim_{k \rightarrow +\infty} H^k e^{(0)} = 0$$

qualsiasi sia l'errore iniziale  $e^{(0)}$  (e quindi la scelta di soluzione iniziale  $x^{(0)}$ ).  $\square$

In particolare, possiamo ricordare che se  $|H| < 1 \implies \rho(H) < 1$ , quindi può risultare verificare questa condizione, che è sì più stretta ma anche più facile da verificare. Ricordiamo che non vale assolutamente il contrario, cioè  $|H| > 1 \not\implies \rho(H) > 1$ .

Di contro, vale anche la condizione  $|\det(H)| \geq 1 \implies \rho(H) > 1$ , che come prima non si inverte in  $|\det(H)| < 1 \not\implies \rho(H) < 1$ .

### 10.1.2 Velocità di convergenza

Guardando alla dimostrazione del teorema 10.2, possiamo osservare che il raggio spettrale  $\rho(H)$  ci dà un'informazione anche riguardo alla **velocità di convergenza** del metodo di punto fisso.

Infatti, si avrà che vale:

$$\frac{|e^{(k)}|}{|e^{(0)}|} \leq |H^k|$$

Dall'algebra lineare, si ha che quando  $k$  è abbastanza grande,  $H^k \approx \rho(H)^k$ , almeno per norme indotte, in quanto:

$$\lim_{k \rightarrow +\infty} \sqrt[k]{|H^k|} = \rho(H)$$

Questo ci dice che se si hanno 2 metodi di punto fisso con matrici di iterazione  $H_1$  e  $H_2$  tali che:

$$\rho(H_1) < \rho(H_2) < 1$$

allora il primo metodo converge più velocemente del secondo, è dall'ulteriore ipotesi  $< 1$ , entrambi convergono.

Inoltre, si può stimare il numero di iterazioni  $k$  necessarie a raggiungere un certo valore dell'errore:

$$\frac{|e^{(k)}|}{|e^{(0)}|} = \frac{|x^{(k)} - x|}{|e^{(0)}|} \leq \delta$$

infatti, in tal caso basterà imporre:

$$\rho(H)^k \leq \delta \implies k \geq \frac{\log(\delta)}{\log(\rho(H))}$$

### 10.1.3 Criteri di stop

Molto spesso non è pratico decidere un errore e fare le  $k$  iterazioni che dovrebbero portare a tale errore (in quanto non è scontato conoscere  $\rho(H)$ ), ma bensì si preferisce definire un **criterio di stop** per la terminazione dell'algoritmo raggiunte determinate condizioni.

Queste condizioni possono essere:

1. Si può restringere il residuo:

$$\frac{|r^{(k)}|}{|b|} < \delta$$

2. Si può restringere direttamente la variazione di errore:

$$|x^{(k+1)} - x^{(k)}| < \delta$$

## 10.2 Metodi di Jacobi e Gauss-Seidel

Vediamo i metodi più famosi di questo tipo, detti metodi di **Jacobi** e **Gauss-Seidel**.

L'idea è di scomporre la matrice  $A$  come:

$$A = D - E - F = \begin{pmatrix} d_1 & 0 & \dots & 0 \\ 0 & d_2 & \dots & 0 \\ 0 & \dots & d_{n-1} & 0 \\ 0 & \dots & 0 & d_n \end{pmatrix} - \begin{pmatrix} 0 & 0 & \dots & 0 \\ -e_{21} & 0 & \dots & 0 \\ -e_{n-1,1} & \dots & 0 & 0 \\ -e_{n1} & \dots & -e_{n,n-1} & 0 \end{pmatrix} - \begin{pmatrix} 0 & -f_{12} & \dots & -f_{1n} \\ 0 & 0 & \dots & -f_{2n} \\ 0 & \dots & 0 & -f_{n-1,n} \\ 0 & \dots & 0 & 0 \end{pmatrix}$$

con  $D$  diagonale,  $E$  l'opposta della triangolare inferiore a diagonale nulla e  $F$  l'opposta della triangolare superiore a diagonale nulla. Varrà quindi:

$$Ax = b \Leftrightarrow (D - E - F)x = b$$

### 10.2.1 Metodo di Jacobi

Il metodo di Jacobi consiste nel riscrivere quanto trovato come:

$$Dx = (E + F)x + b \implies x = D^{-1}(E + F)x + D^{-1}b$$

cioè trovare un'equazione di punto fisso con:

$$H = D^{-1}(E + F), \quad c = D^{-1}b$$

e quindi applicare l'algoritmo:

$$\begin{cases} x^{(0)} \text{ dato} \\ x^{(k+1)} = D^{-1}(E + F)x^{(k)} + D^{-1}b = D^{-1}((E + F)x^{(k)} + b) \end{cases}$$

Osserviamo che ad ogni iterazione si calcola un prodotto matrice-vettore e si risolve un sistema diagonale ( $O(n)$ ), in quanto la  $D$  si inverte facilmente (è diagonale):

$$H_J = D^{-1}(E + F) = \begin{pmatrix} \frac{1}{d_1} & 0 & \dots & 0 \\ 0 & \frac{1}{d_2} & \dots & 0 \\ 0 & \dots & \frac{1}{d_{n-1}} & 0 \\ 0 & \dots & 0 & \frac{1}{d_n} \end{pmatrix} \begin{pmatrix} 0 & -f_{12} & \dots & -f_{1n} \\ -e_{21} & 0 & \dots & -f_{2n} \\ -e_{n-1,1} & \dots & 0 & -f_{n-1,n} \\ -e_{n1} & \dots & -e_{n,n-1} & 0 \end{pmatrix}$$

per cui:

$$(H_J)_{ij} = \begin{cases} -\frac{a_{ij}}{a_{ii}}, & i \neq j \\ 0 & i = j \end{cases}$$

Le matrici che descriveranno il passo di Jacobi saranno allora:

$$x_i^{(k+1)} = \frac{1}{a_{ii}} \left( b_i - \sum_{j \neq i}^n a_{ij} x_j^{(k)} \right)$$

osservando che per calcolare  $x_i^{(k+1)}$  serviranno *tutte* le componenti di  $x^{(k)}$ , cioè in codice bisogna mantenere due vettori, in quanto non si può sovrascrivere  $x^{(k)}$  prima di aver finito di calcolare  $x^{(k+1)}$ .

### 10.2.2 Implementazione MATLAB del metodo di Jacobi

In MATLAB, una possibile implementazione che sfrutta le funzionalità di calcolo matriciale può essere la seguente:

```

1 function x_old = jacobi(A, b, k, x_old)
2     n = height(A);
3
4     if nargin < 4
5         % stima iniziale
6         x_old = zeros(n, 1);
7     end
8
9     % imposta le matrici D E F
10    D = diag(A);
11    EF = -A + diag(D); % D e' un vettore
12
13    % imposta c
14    c = b ./ D;
15
16    for j = 1:k
17        x_new = (EF * x_old) ./ D + c;
18        x_old = x_new;
19
20        % stampa informazioni
21        fprintf("it = %d, res = %.3f\n", j, norm(b - A * x_old));
22        disp(x_old);
23    end
24 end

```

### 10.2.3 Implementazione C++ del metodo di Jacobi

Possiamo sfruttare la forma scalare del metodo di Jacobi per realizzarne un'implementazione direttamente in C++. Definiamo inizialmente alcune funzioni helper in un header, `mat.h`, che useremo anche nell'esempio successivo a questo:

```

1 #ifndef MAT_H
2 #define MAT_H
3
4 #include <iostream>
5
6 inline double** get_matrix(unsigned n) {
7     double** A = new double*[n];
8
9     for(int r = 0; r < n; r++) {
10        A[r] = new double[n];
11
12        for(int c = 0; c < n; c++) {
13            double e;
14            std::cout << "Inserisci l'entrata " << r + 1 << ", " << c + 1 << "
15            di A" << std::endl;
16            std::cin >> e;
17
18            A[r][c] = e;
19        }
20    }
21
22    return A;
23 }

```



```

24 inline double* get_vector(unsigned n) {
25     double* b = new double[n];
26
27     for(int r = 0; r < n; r++) {
28         double e;
29         std::cout << "Inserisci l'entrata " << r + 1 << " di b" << std::endl;
30         std::cin >> e;
31
32         b[r] = e;
33     }
34
35     return b;
36 }
37
38 inline void print_matrix(double** A, unsigned n) {
39     for(int r = 0; r < n; r++) {
40         for(int c = 0; c < n; c++) {
41             std::cout << A[r][c] << "\t";
42         }
43         std::cout << std::endl;
44     }
45 }
46
47 inline void print_vector(double* b, unsigned n) {
48     for(int r = 0; r < n; r++) {
49         std::cout << b[r] << std::endl;
50     }
51 }
52
53 inline void init_env(unsigned &n, unsigned &k, double** &A, double* &b) {
54     // prendi dati
55     std::cout << "Inserisci la dimensione n" << std::endl;
56     std::cin >> n;
57     std::cout << std::endl;
58
59     std::cout << "Inserisci il numero di iterazioni k" << std::endl;
60     std::cin >> k;
61     std::cout << std::endl;
62
63     std::cout << "Inserzione della matrice A" << std::endl;
64     A = get_matrix(n);
65     std::cout << std::endl;
66
67     std::cout << "Inserzione del vettore b" << std::endl;
68     b = get_vector(n);
69     std::cout << std::endl;
70
71     // conferma dati
72     std::cout << "La matrice A e':" << std::endl;
73     print_matrix(A, n);
74     std::cout << std::endl;
75
76     std::cout << "Il vettore b e':" << std::endl;
77     print_vector(b, n);
78     std::cout << std::endl;
79 }
80
81 inline void clean_env(unsigned n, double** A, double* b) {
82     // ripulisci
83     for(int r = 0; r < n; r++) {

```

```

84     delete[] A[r];
85 }
86 delete[] A;
87
88 delete[] b;
89 }
90
91 inline void vec_copy(unsigned n, double* v1, double* v2) {
92     for(int r = 0; r < n; r++) {
93         v2[r] = v1[r];
94     }
95 }
96
97 #endif

```

E definiamo quindi l'algoritmo come segue:

```

1 double* jacobi(unsigned n, unsigned k, double** A, double* b) {
2     // inizializza vettori
3     double* v1, *v2;
4     v1 = new double[n];
5     v2 = new double[n];
6
7     for(int r = 0; r < n; r++) {
8         v1[r] = 0;
9     }
10
11     for(int i = 0; i < k; i++) {
12         std::cout << "Iterazione " << i + 1 << std::endl;
13
14         std::cout << "Il vettore vecchio e':" << std::endl;
15         print_vector(v1, n);
16
17         for(int r = 0; r < n; r++) {
18             v2[r] = b[r];
19
20             for(int c = 0; c < n; c++) {
21                 if(r == c) continue;
22
23                 v2[r] -= A[r][c] * v1[c];
24             }
25
26             v2[r] /= A[r][r];
27         }
28
29         vec_copy(n, v2, v1);
30
31         std::cout << "Il vettore nuovo e':" << std::endl;
32         print_vector(v1, n);
33         std::cout << std::endl;
34     }
35
36     // ripulisci
37     delete v2;
38
39     return v1;
40 }

```

A questo punto un programma dovrà semplicemente usare le funzioni per il caricamento dell'ambiente di `mat.h` e chiamare la funzione `jacobi()`:

```

1 int main() {

```

```

2 // inizializza ambiente
3 unsigned n, k; double** A; double* b;
4 init_env(n, k, A, b);
5
6 double* x = jacobi(n, k, A, b);
7
8 std::cout << "Il risultato finale e':" << std::endl;
9 print_vector(x, n);
10 std::cout << std::endl;
11
12 delete[] x;
13
14 // ripulisci
15 clean_env(n, A, b);
16 return 0;
17 }

```

### 10.2.4 Metodo di Gauss-Seidel

Il metodo di Gauss-Seidel consiste nel riscrivere quanto trovato come:

$$(D - E)x = Fx + b \implies x = (D - E)^{-1}Fx + (D - E)^{-1}b$$

cioè trovare un'equazione di punto fisso con:

$$H = (D - E)^{-1}F, \quad c = (D - E)^{-1}b$$

e quindi applicare l'algoritmo:

$$\begin{cases} x^{(0)} \text{ dato} \\ x^{(k+1)} = (D - E)^{-1}Fx^{(k)} + (D - E)^{-1}b \end{cases}$$

Avremo che la matrice di iterazione è:

$$H_{GS} = (D - E)^{-1}F$$

di cui osserviamo che la prima colonna è il vettore di zeri in quanto  $F$  ha anch'essa la prima colonna al vettore di zeri.

In ogni caso, notiamo che non è necessario esplicitare  $H_{GS}$ , ma ad ogni iterazione basta calcolare il prodotto matrice-vettore:

$$x^{(k)} \rightarrow Fx^{(k)}$$

e risolvere col metodo di sostituzione all'indietro il sistema lineare:

$$(D - E)y = Fx^{(k)}$$

Stesso discorso per  $c$ , che si trova sempre risolvendo una sola volta, col metodo di sostituzione all'indietro, il sistema lineare:

$$(D - E)c = b$$

### 10.2.5 Implementazione MATLAB del metodo di Gauss-Seidel

In MATLAB, una possibile implementazione che sfrutta le funzionalità di calcolo matriciale (in particolare la funzione per la sostituzione all'indietro `bck_subst()` che abbiamo già implementato) può essere la seguente:

```

1 function x_old = seidel(A, b, k, x)
2     n = height(A);
3
4     if nargin < 4
5         % stima iniziale
6         x_old = zeros(n, 1);
7     end
8
9     % imposta le matrici D E F
10    DE = triu(A);
11    F = -A + DE;
12
13    % imposta c
14    c = bck_subst(DE, b);
15
16    for j = 1:k
17        x_old = bck_subst(DE, F * x_old) + c;
18        x_new = x_old;
19
20        % stampa informazioni
21        fprintf("it = %d, res = %.3f\n", j, norm(b - A * x_old));
22        disp(x_old);
23    end
24 end

```

### 10.2.6 Ottimizzazione del metodo di Gauss-Seidel

L'implementazione vista adesso del metodo di Gauss-Seidel non è la più efficiente. Vediamo infatti che, preso:

$$x^{(k+1)} = (D - E)^{-1} F x^{(k)} + (D - E)^{-1} b$$

e moltiplicando per  $D^{-1}(D - E)$  si ha:

$$x^{(k+1)} = D^{-1} E x^{(k+1)} + D^{-1} F x^{(k)} + D^{-1} b$$

Eslicitare una dipendenza di  $x^{(k+1)}$  da sé stessa potrebbe sembrare poco intuitivo, ma è invece conveniente in quanto ogni elemento di  $x^{(k+1)}$  dipenderà dai soli elementi precedenti, cioè si avrà:

$$x_i^{(k+1)} = \frac{1}{a_{ii}} \left( b_i - \sum_{j=1}^{i-1} a_{ij} x_j^{(k+1)} - \sum_{j=i+1}^n a_{ij} x_j^{(k)} \right), \quad i = 1, \dots, n$$

In questo modo si hanno due vantaggi:

1. Non occorre risolvere sistemi triangolari;
2. Per calcolare  $x_i^{(k+1)}$  non si ha bisogno di  $x_h^k$  per  $h < i$ , e quindi si possono sovrascrivere le entrate di  $x^{(k)}$ , e mantenere un unico vettore.

### 10.2.7 Implementazione C++ del metodo di Gauss-Seidel

Vediamo come si può usare quest'ultima versione (scalare) del metodo di Gauss-Seidel per realizzarne un'implementazione C++, sfruttando la stessa libreria `mat.h` dell'esempio 10.2.3:

```

1 double* jacobi(unsigned n, unsigned k, double** A, double* b) {
2     // inizializza vettori
3     double* v1;
4     v1 = new double[n];
5
6     for(int r = 0; r < n; r++) {
7         v1[r] = 0;
8     }
9
10    for(int i = 0; i < k; i++) {
11        std::cout << "Iterazione " << i + 1 << std::endl;
12
13        std::cout << "Il vettore vecchio e':" << std::endl;
14        print_vector(v1, n);
15
16        for(int r = 0; r < n; r++) {
17            v1[r] = b[r];
18
19            for(int c = 0; c < n; c++) {
20                if(r == c) continue;
21
22                v1[r] -= A[r][c] * v1[c];
23            }
24
25            v1[r] /= A[r][r];
26        }
27
28        std::cout << "Il vettore nuovo e':" << std::endl;
29        print_vector(v1, n);
30        std::cout << std::endl;
31    }
32
33    return v1;
34 }

```

Come vediamo, la proprietà dimostrata comporta modifiche minime al codice (la semplice rimozione del vettore `v2`, con prodotti scalari che vengono fatti tutti su `v1`).

La realizzazione di un programma che esegue questo algoritmo è ancora analoga all'esempio 10.2.3 (implementazioni complete si trovano in `../matlab/code`).

### 10.2.8 Jacobi/Gauss-Seidel e matrici di permutazione

Un'ultima osservazione è che sia Jacobi che Gauss-Seidel hanno come condizione che  $a_{ii} \neq 0, \forall i$ , in quanto altrimenti  $D$  diagonale non sarebbe invertibile. Se questa condizione non è soddisfatta, si possono fare delle trasformazioni "indolori" sul sistema per ritrovare la diagonale non nulla (applicare matrici di permutazione e applicare il metodo sul sistema permutato, per trovare poi una soluzione che al limite andrà *de*-permutata).

Ad esempio, si può pensare di applicare Jacobi a:

$$\Pi A x = \Pi b$$

per trovare una qualche permutazione  $\Pi x$  di  $x$ .

## 11 Lezione del 31-03-25

Riprendiamo la trattazione dei metodi iterativi per i sistemi lineari.

### 11.0.1 Valutazione della convergenza

Avevamo visto che affinché un metodo di punto fisso sia convergente è necessario che la sua matrice di iterazione  $H$  in:

$$x = Hx + c$$

sia convergente, cioè abbia norma spettrale  $\rho(H) < 1$ .

Vediamo un esempio di valutazione di tale matrice sia per il metodo di Jacobi e di Gauss-Siedel applicato ad una certa matrice  $A$ , svolgendo esplicitamente tutti i calcoli:

$$A = \begin{pmatrix} 1 & \frac{2}{3} & \frac{4}{9} \\ \frac{2}{3} & 1 & \frac{2}{3} \\ \frac{4}{9} & \frac{2}{3} & 1 \end{pmatrix}$$

- **Jacobi:** avremo la matrice di convergenza:

$$x = \underbrace{D^{-1}(E + F)}_{H_J} x + D^{-1}b$$

da cui:

$$H_J = D^{-1}(E + F) = I \cdot \begin{pmatrix} 0 & \frac{2}{3} & \frac{4}{9} \\ \frac{2}{3} & 0 & \frac{2}{3} \\ \frac{4}{9} & \frac{2}{3} & 0 \end{pmatrix}$$

Calcoliamo quindi gli autovalori attraverso il polinomio caratteristico:

$$p(\lambda) = \det(\lambda I - D^{-1}(E + F)) = \det \begin{pmatrix} \lambda & \frac{2}{3} & \frac{4}{9} \\ \frac{2}{3} & \lambda & \frac{2}{3} \\ \frac{4}{9} & \frac{2}{3} & \lambda \end{pmatrix} = \lambda^3 + \frac{16}{81} \cdot 2 - \frac{16}{81} \lambda - 2 \cdot \frac{4}{9} \lambda$$

per la regola di Sarrus, quindi:

$$p(\lambda) = \lambda^3 - \frac{88}{81} \lambda + \frac{32}{81}$$

Accorgiamoci che  $\lambda_1 = \frac{4}{9}$  è radice del polinomio, e quindi dividiamo:

$$\frac{\lambda^3 - \frac{88}{81} \lambda + \frac{32}{81}}{\lambda - \frac{4}{9}} = \lambda^2 + \frac{4}{9} \lambda - \frac{8}{9}$$

per cui:

$$p(\lambda) = \left(\lambda - \frac{4}{9}\right) \left(\lambda^2 + \frac{4}{9} \lambda - \frac{8}{9}\right)$$

RisolviAMO quindi la quadratica:

$$\lambda_{2,3} = \frac{-\frac{4}{9} \pm \sqrt{\frac{16}{81} + \frac{32}{9}}}{2} = -\frac{2}{9} (1 \mp \sqrt{19})$$

Delle 3 radici trovate si ha che  $\lambda_3 = -\frac{2}{9} (1 + \sqrt{19}) \approx -1.19087$  è in modulo  $\geq 0$ , ergo la condizione di convergenza non è rispettata, e il metodo di Jacobi potrebbe non convergere.

- **Gauss-Seidel:** avremo la matrice di convergenza:

$$x = \underbrace{(D - E)^{-1}F}_{H_{GS}} x + (D - E)^{-1}b$$

da cui:

$$H_{GS} = (D - E)^{-1}F = \begin{pmatrix} 1 & 0 & 0 \\ \frac{2}{3} & 1 & 0 \\ \frac{4}{9} & \frac{2}{3} & 1 \end{pmatrix}^{-1} \begin{pmatrix} 0 & -\frac{2}{3} & -\frac{4}{9} \\ 0 & 0 & -\frac{2}{3} \\ 0 & 0 & 0 \end{pmatrix}$$

che sfruttando quanto avevamo detto sui prodotti per inverse:

$$= \begin{pmatrix} (D - E)^{-1} \begin{pmatrix} 0 \\ 0 \\ 0 \end{pmatrix} & (D - E)^{-1} \begin{pmatrix} -\frac{2}{3} \\ 0 \\ 0 \end{pmatrix} & (D - E)^{-1} \begin{pmatrix} -\frac{4}{9} \\ -\frac{2}{3} \\ 0 \end{pmatrix} \end{pmatrix}$$

cioè dobbiamo risolvere 3 sistemi lineari (di cui uno banale) usando il metodo di sostituzione all'indietro. Avremo quindi:

- Il sistema:

$$\begin{pmatrix} 1 & 0 & 0 \\ \frac{2}{3} & 1 & 0 \\ \frac{4}{9} & \frac{2}{3} & 1 \end{pmatrix} \begin{pmatrix} x \\ y \\ z \end{pmatrix} = \begin{pmatrix} -\frac{2}{3} \\ 0 \\ 0 \end{pmatrix}$$

che dà:

$$\begin{pmatrix} x \\ y \\ z \end{pmatrix} = \begin{pmatrix} -\frac{2}{3} \\ \frac{4}{9} \\ 0 \end{pmatrix}$$

- Il sistema:

$$\begin{pmatrix} 1 & 0 & 0 \\ \frac{2}{3} & 1 & 0 \\ \frac{4}{9} & \frac{2}{3} & 1 \end{pmatrix} \begin{pmatrix} x \\ y \\ z \end{pmatrix} = \begin{pmatrix} -\frac{4}{9} \\ -\frac{2}{3} \\ 0 \end{pmatrix}$$

che dà:

$$\begin{pmatrix} x \\ y \\ z \end{pmatrix} = \begin{pmatrix} -\frac{4}{9} \\ -\frac{10}{27} \\ \frac{4}{9} \end{pmatrix}$$

da cui:

$$H_{GS} = \begin{pmatrix} -\frac{2}{3} & -\frac{4}{9} & -\frac{4}{9} \\ 0 & \frac{4}{9} & -\frac{10}{27} \\ 0 & 0 & \frac{4}{9} \end{pmatrix}$$

da cui  $\lambda_1 = -\frac{2}{3}$  e  $\lambda_2 = \frac{4}{9}$  con molteplicità  $\mu_2 = 2$ , quindi tutti gli autovalori a modulo  $< 1$  e la condizione è rispettata.

### 11.0.2 Criteri di convergenza di matrici di iterazione

Cerchiamo un modo più generale per fare ciò che abbiamo fatto nell'ultimo esempio. Vediamo che vale il seguente teorema:

### Teorema 11.1: Criteri di convergenza di matrici di iterazione

Se  $A \in \mathbb{C}^{n \times n}$  rispetta una delle seguenti condizioni:

1.  $A$  ha predominanza diagonale forte;
2.  $A$  è irriducibile e a predominanza diagonale debole;

allora sia il metodo di Jacobi che il metodo di Gauss-Seidel danno iterazioni convergenti applicati ad un sistema  $Ax = b$ .

1. La dimostrazione del teorema comincia dall'imporre che  $a_{ii} \neq 0, \forall i = 1, \dots, n$ . Avevamo visto che questa condizione può essere forzata scambiando  $A$  con una qualche permutazione  $\Pi A$ .

Abbiamo allora che la condizione è ovvia nel caso di predominanza diagonale forte (1), mentre nel caso di matrice irriducibile a predominanza diagonale debole (2), se esistesse un  $a_{ii} = 0$  per qualche  $i$  allora applicando la predominanza diagonale debole si avrebbe  $a_{ij} = 0$  ( $0 \geq \sum_{i \neq j}^n a_{ij}$ ), che sarebbe assurdo (la matrice non può essere singolare). Notiamo che in questo caso nemmeno una matrice di permutazione  $\Pi$  potrebbe portarci a diagonale non negativa.

2. Dimostriamo la convergenza per i due metodi:

- **Jacobi:** si ha che:

$$H_J = D^{-1}(E + F) = \begin{pmatrix} 0 & \dots & -\frac{a_{1j}}{a_{11}} \\ \dots & 0 & \dots \\ -\frac{a_{ij}}{a_{ii}} & \dots & 0 \end{pmatrix}$$

e allora la norma a infinito di  $H_J$  sarà:

$$|H_J|_\infty = \max_{i=1, \dots, n} \sum_{i \neq j}^n \left| \frac{a_{ij}}{a_{ii}} \right|$$

Se  $A$  è a predominanza diagonale forte (1), allora  $|a_{ii}| > \sum_{j \neq i}^n |a_{ij}|$ , e quindi  $|H_J|_\infty < 1$  e  $\rho(H_J) < 1$ .

Se  $A$  è invece irriducibile a predominanza diagonale debole (2), sarà che nuovamente  $|H_J|_\infty \leq 1$ , quindi gli autovalori di  $A$  sono  $|\lambda| \leq 1$ , ma non esiste  $|\lambda| = 1$  in quanto starebbe sul bordo di un cerchio di Gershgorin, quindi di tutti, ma esiste almeno un cerchio  $\mathcal{F}_i(A)$  con raggio  $r < 1$ .

- **Gauss-Seidel:** supponiamo che esista  $\lambda^*$  autovalore di  $H_{GS}$ :

$$H_{GS} = (D - E)^{-1}F$$

tale che  $|\lambda^*| \geq 1$ . Allora dovrà valere:

$$0 = \det(\lambda^* I - H_{GS}) = \det(\lambda^* I - (D - E)^{-1}F) = \det((D - E)^{-1}(\lambda^*(D - E) - F))$$

che per Binet-Cauchy dà:

$$0 = \det((D - E)^{-1}) \cdot \det(\lambda^*(D - E) - F)$$



Il primo termine è chiaramente  $\neq 0$ , e quindi si considera:

$$0 = \det(\lambda^*(D - E) - F) = (\lambda^*)^n \det(D - E - (\lambda^*)^{-1}F)$$

cioè:

$$0 = \det(D - E - (\lambda^*)^{-1}F)$$

La matrice che troviamo è quella dove gli elementi sopra la diagonale hanno modulo  $\leq$  ai corrispondenti nella matrice  $A$ . Se  $A$  è dominante diagonale forte o dominante diagonale debole, quindi, conserva tale proprietà, e conserva anche l'irriducibilità. Quindi, necessariamente, è non singolare (altrimenti anche  $A$  sarebbe singolare), e l'ipotesi  $|\lambda^*| \geq 1$  è assurda, cioè  $|\lambda^*| < 1$ .

□

## 11.1 Sistemi rettangolari

Vediamo quindi come risolvere sistemi **rettangolari**, cioè del tipo  $Ax = b$  con  $A \in \mathbb{C}^{m \times n}$  rettangolare. In questo caso si avranno  $m$  equazioni in  $n$  incognite, quindi con  $x \in \mathbb{C}^n$  e  $b \in \mathbb{C}^m$ . Supponiamo poi che  $A$  sia di rango massimo, ovvero  $\text{rank}(A) = \min(m, n)$ .

Scopriamo che anche in questo scenario si può applicare l'eliminazione di Gauss, e nel caso  $m < n$ , si può immaginare di rendere il sistema quadrato aggiungendo  $n - m$  equazioni fittizie della forma  $0 = 0$ , lasciando  $n - m$  parametri liberi:

$$\begin{pmatrix} 1 & \dots & \dots & \dots \\ 0 & 1 & \dots & \dots \\ 0 & \dots & 1 & \dots \\ 0 & \dots & \dots & 0 \\ \vdots & & & \vdots \\ 0 & \dots & \dots & 0 \end{pmatrix} \begin{pmatrix} x_1 \\ \vdots \\ x_m \\ x_{m+1} \\ \vdots \\ x_n \end{pmatrix} = \begin{pmatrix} b_1 \\ \vdots \\ b_m \end{pmatrix}$$

Diciamo che questo tipo di sistemi si dicono **sottodeterminati**.

Caso più interessante sarà quello dei sistemi **sovradeterminati**, cioè dove  $n < m$  e si hanno più equazioni che incognite. In questo caso l'applicazione dell'eliminazione di Gauss porta ad  $n$  equazioni determinate, e  $m - n$  equazioni della forma  $0 = ?$  dove ? sono i termini noti che si formano nelle ultime  $m - n$  righe:

$$\begin{pmatrix} 1 & \dots & \dots \\ 0 & 1 & \dots \\ 0 & \dots & 1 \\ 0 & \dots & 0 \\ \vdots & & \vdots \\ 0 & \dots & 0 \end{pmatrix} \begin{pmatrix} x_1 \\ \vdots \\ x_n \end{pmatrix} = \begin{pmatrix} b_1 \\ \vdots \\ b_n \\ b_{n+1} = ?_1 \\ \vdots \\ b_m = ?_{m-n+1} \end{pmatrix}$$

Se esiste almeno un termine noto  $? \neq 0$ , allora il sistema è impossibile (ed è questo il caso tipico). Questa affermazione è essenzialmente il teorema di Rouchè-Capelli, dove si impone:

$$\text{rank}(A|b) = \text{rank}(A)$$

Il problema che ci poniamo in questi casi è quello di minimizzare il residuo, cioè posto:

$$x - Ab = r(x)$$

cercare di risolvere il problema di ottimizzazione:

$$r^* = \min_{x \in \mathbb{C}^n} |b - Ax|_2 = \min_{x \in \mathbb{C}^n} |r(x)|_2$$

Questo tipo di problema viene detto **problema dei minimi quadrati**. Osserviamo che il problema è equivalente a risolvere:

$$(r^*)^2 = \min_{x \in \mathbb{C}^n} |b - Ax|_2^2 = \min_{x \in \mathbb{C}^n} |r(x)|_2^2$$

Cioè ci possiamo liberare della radice della norma quadratica.

Potremo innanzitutto chiederci come trovare il punto  $x^*$  che dà  $r^*$ , o in principio se questo problema ammette soluzione. Facciamo allora un esempio del caso  $x \in \mathbb{R}^n$ . Considereremo la funzione:

$$\psi(x) = |b - Ax|_2^2 = (b - Ax)^T(b - Ax) : \mathbb{R}^n \rightarrow \mathbb{R}$$

questa funzione è convessa, e quindi il punto  $x^*$  è quello che soddisfa  $\nabla\psi(x) = 0$  (gradiente nullo). Vediamo allora le derivate parziali, osservando che:

$$|b - Ax|_2^2 = |r(x)|_2^2 = \sum_{i=1}^m r_i(x)^2$$

e:

$$r_i(x)^2 = \left( b_i - \sum_{j=1}^n a_{ij}x_j \right)^2$$

Calcoliamo quindi la derivata parziale vera e propria rispetto alla  $s$ -esima componente:

$$\frac{\partial}{\partial x_s} (r_i(x)^2) = 2 \left( b_i - \sum_{j=1}^n a_{ij}x_j \right) (-a_{is})$$

da cui:

$$\begin{aligned} \frac{\partial}{\partial x_s} (\psi(x)) &= \sum_{i=1}^m \frac{\partial}{\partial x_s} (r_i(x)^2) = 2 \sum_{i=1}^m \left( \sum_{j=1}^n a_{is}a_{ij}x_j - a_{is}b_i \right) \\ &= 2 \left( \sum_{i=1}^m \sum_{j=1}^n a_{is}a_{ij}x_j - \sum_{i=1}^m a_{is}b_i \right) = 2 \left( \sum_{i=1}^m a_{is} \sum_{j=1}^n a_{ij}x_j - \sum_{i=1}^m a_{is}b_i \right) \\ &= 2 \left( (A^T Ax)_s - (A^T b)_s \right) = 2 (A^T Ax - A^T b)_s \end{aligned}$$

dove l' $s$  al pedice indica che si prende la  $s$ -esima riga.

Si ha quindi che:

$$\nabla\psi(x) = 0 \Leftrightarrow A^T Ax - A^T b = 0 \Leftrightarrow A^T Ax = A^T b$$

e quindi il sistema da risolvere per i punti di minimo di  $\psi(x)$ , cioè le soluzioni del problema dei minimi quadrati, è:

$$A^T Ax = A^T b$$

detto **sistema delle equazioni normali**.

## 12 Lezione del 04-04-25

Riprendiamo il discorso dei problemi ai minimi quadrati.

### 12.1 Esistenza delle soluzioni al sistema delle equazioni normali

Avevamo detto che di sistemi  $Ax = b$  con  $A \in \mathbb{C}^{m \times n}$ ,  $m > n$ , cioè *sovradeterminati*, che se la soluzione di  $Ax = b$  non esiste, ergo  $\text{rank}(A|b) > \text{rank}(A)$ , potrebbe essere interessante cercare di risolvere il problema di ottimizzazione:

$$\min_{x \in \mathbb{C}^n} |Ax - b|_2 = \min_{x \in \mathbb{C}^n} |b - Ax|_2$$

dove il punto  $p_1$  di minimo è lo stesso di quello del problema:

$$\min_{x \in \mathbb{C}^n} |Ax - b|_2^2$$

Avevamo quindi definito la funzione  $\phi$ , assunta per semplicità  $\psi : \mathbb{R}^n \rightarrow [0, +\infty)$ :

$$\psi(x) = |b - Ax|_2^2 = |r(x)|_2^2 = \sum_{i=1}^n r_i(x)^2$$

A questo punto il minimo sarà semplicemente nel punto:

$$\begin{pmatrix} \frac{\partial \psi}{\partial x_1}(x) \\ \vdots \\ \frac{\partial \psi}{\partial x_n}(x) \end{pmatrix} = \begin{pmatrix} 0 \\ \vdots \\ 0 \end{pmatrix}$$

da cui avevamo visto ricaviamo il sistema **lineare** (in quanto  $\psi$  è quadratica e quindi deriva ad una lineare):

$$A^T Ax = A^T b$$

Non lo abbiamo dimostrato formalmente, ma possiamo dire che lo stesso vale nel campo complesso, cioè con  $x \in \mathbb{C}^n$ :

$$A^H Ax = A^H b$$

prese le hermitiane invece delle trasposte.

Vediamo quindi che vale il seguente teorema:

#### Teorema 12.1: Esistenza delle soluzioni dei problemi ai minimi quadrati

Il sistema  $A^T Ax = A^T b$  ammette soluzione  $\forall A \in \mathbb{R}^{m \times n}$  e  $\forall b \in \mathbb{C}^m$  (1). Inoltre, la soluzione è unica se e solo se  $\text{rank}(A) = n$ , ( $m > n$ ) (2).

Dimostriamo le due tesi in ordine.

1. La prima tesi si dimostra verificando che  $A^T b \in I_m(A^T A)$  con  $I_m$  *immagine* o **spazio delle colonne** di  $A^T A$ , cioè verificando che è rispettata la condizione:

$$\text{rank}(A^T A | A^T b) = \text{rank}(A^T A)$$

di Rouché-Capelli, per cui esiste una soluzione. Abbiamo quindi:

$$I_m(A^T A) = \{y \in \mathbb{C}^n : y = A^T Az, \quad z \in \mathbb{C}^n\}$$

Il caso buono è  $A^T b \in I_m(A)$ , cioè:

$$I_m(A) = \{y \in \mathbb{C}^n : y = Az, \quad z \in \mathbb{C}^n\}$$

così che:

$$A^T b = A^T A z \in I_m(A)$$

Questo però non è sempre vero. Possiamo allora dire che uno spazio vettoriale è sempre dato dalla somma dello spazio delle colonne di una trasformazione  $A$  e il corrispondente spazio perpendicolare:

$$\mathbb{C}^m = I_m(A) \oplus I_m(A)^\perp$$

con lo spazio perpendicolare allo spazio delle colonne definito come:

$$I_m(A)^\perp = \{y : y^H z = 0, \quad \forall z \in I_m(A)\}$$

Potremo allora riscrivere  $b$  come la somma delle componenti *parallela* e *perpendicolare*:

$$b \in \mathbb{C}^m \implies b = b_1 + b_2, \quad \begin{cases} b_1 \in I_m(A) \\ b_2 \in I_m(A)^\perp \end{cases}$$

Prendiamo allora  $A^T b$  come:

$$A^T b = A^T b_1 + A^T b_2$$

Si ha che  $A^T b_1 \in I_m(A^T A)$  da quanto avevamo detto prima, mentre riguardo ad  $A^T b_2$  si può dire:

$$A^T b_2 = \begin{pmatrix} a_1^T b_2 \\ \vdots \\ a_m^T b_2 \end{pmatrix} = 0$$

perchè  $b_2 \in I_m(A)^\perp$  e le colonne di  $A$  stanno in  $I_m(A)$ , quindi la condizione di Rouché-Capelli è soddisfatta e la soluzione esiste.  $\square$

2. Per l'unicità, vogliamo verificare che  $\det(A^T A) \neq 0$  soddisfatta la proprietà  $\text{rank}(A) = n$ . Abbiamo allora che dal teorema di Binet-Cauchy *generalizzato*:

$$\det(A^T A) = \sum_{[j]} \det(A_{[j]}^T) \cdot \det(A_{[j]}) = \sum_{[j]} |\det(A_{[j]})|^2$$

dove la sommatoria varia su tutte le possibili scelte di  $n$  indici in  $\{1, \dots, m\}$ . Vogliamo allora mostrare che  $\det(A^T A) \geq 0$ , cioè che  $\exists$  almeno una sottomatrice  $A_{[j]}$  tale che  $\det(A_{[j]}) \neq 0$ . Questa esisterà sempre se  $\text{rank}(A) = n$ , e quindi anche l'ultima tesi del teorema è soddisfatta.  $\square$

Vediamo due esempi pratici per osservare il teorema in azione.

1. Prendiamo il sistema:

$$\begin{cases} 2x_1 - x_2 = 1 \\ -x_1 + x_2 = 0 \\ x_1 + 2x_2 = 1 \end{cases}$$

con  $m = 3$  equazioni in  $n = 2$  incognite. Avremo che le matrici  $A$  e  $b$ , e l'incognita  $x$ , saranno:

$$A = \begin{pmatrix} 2 & -1 \\ -1 & 1 \\ 1 & 2 \end{pmatrix}, \quad b = \begin{pmatrix} 1 \\ 0 \\ 1 \end{pmatrix}, \quad x = \begin{pmatrix} x_1 \\ x_2 \end{pmatrix}$$

per il sistema  $Ax = b$ . Vediamo che il rango di  $A$  è 2, quindi dal teorema appena dimostrato la soluzione sarà unica. Calcoliamo allora le matrici  $A^T A$  e  $A^T b$  per il sistema  $A^T A x = A^T b$ :

$$A^T A = \begin{pmatrix} 6 & -1 \\ -1 & 6 \end{pmatrix}, \quad A^T b = \begin{pmatrix} 3 \\ 1 \end{pmatrix}$$

Avremo quindi il sistema:

$$\begin{cases} 6x_1 - x_2 = 3 \\ -x_1 + 6x_2 = 1 \end{cases}$$

da cui:

$$x^* = \begin{pmatrix} x_1 \\ x_2 \end{pmatrix} = \begin{pmatrix} \frac{19}{35} \\ \frac{9}{35} \end{pmatrix}$$

Che è la soluzione ottima. Possiamo quindi calcolare la norma di residuo:

$$r = b - Ax^* = b - A \cdot \begin{pmatrix} \frac{19}{35} \\ \frac{9}{35} \end{pmatrix} = \begin{pmatrix} \frac{6}{35} \\ \frac{10}{35} \\ -\frac{2}{35} \end{pmatrix}$$

da cui otteniamo uno scarto di  $\approx 0.3381$  dal valore ideale.

2. Un problema simmetrico al precedente potrebbe essere quello di trovare per quali parametri una matrice parametrizzata rispetta il teorema, cioè ammette una soluzione unica. Prendiamo ad esempio il sistema:

$$\underbrace{\begin{pmatrix} 1 & 1 & 1 \\ 1 & \alpha & 1 \\ 0 & 0 & \alpha \\ \beta & 0 & 0 \end{pmatrix}}_A \underbrace{\begin{pmatrix} x_1 \\ x_2 \\ x_3 \end{pmatrix}}_b = \underbrace{\begin{pmatrix} 1 \\ -1 \\ 1 \\ -1 \end{pmatrix}}_b$$

con  $\alpha, \beta \in \mathbb{R}$ . Iniziamo imponendo l'antitesi del teorema cioè:

$$\text{rank}(A) < n \Leftrightarrow \exists A_{[j]} \in \mathbb{R}^{3 \times 3} \text{ non invertibile}$$

con  $A_{[j]}$  le sottomatrici quadrate  $3 \times 3$  prese dal teorema di Binet-Cauchy. Consideriamo allora tutte le possibili  $A_{[j]}$  coi loro determinanti:

$$\begin{array}{cccc} \begin{pmatrix} 1 & 1 & 1 \\ 1 & \alpha & 1 \\ 0 & 0 & 1 \end{pmatrix} & \begin{pmatrix} 1 & 1 & 1 \\ 1 & \alpha & 1 \\ \beta & 0 & 0 \end{pmatrix} & \begin{pmatrix} 1 & 1 & 1 \\ 0 & 0 & \alpha \\ \beta & 0 & 0 \end{pmatrix} & \begin{pmatrix} 1 & \alpha & 1 \\ 0 & 0 & \alpha \\ \beta & 0 & 0 \end{pmatrix} \\ \downarrow & \downarrow & \downarrow & \downarrow \\ \alpha(\alpha - 1) & \beta(1 - \alpha) & \alpha\beta & \alpha^2\beta \end{array}$$

da cui avere tutti determinanti nulli significa soddisfare il sistema (non lineare):

$$\begin{cases} \alpha(\alpha - 1) = 0 \\ \beta(1 - \alpha) = 0 \\ \alpha\beta = 0 \\ \alpha^2\beta = 0 \end{cases}$$

con soluzioni  $(\alpha, \beta) = (0, 0)$  o  $(\alpha, \beta) = (1, 0)$ . Si ha quindi che per queste due combinazioni di valori di  $\alpha$  e  $\beta$  il sistema di partenza non ammette soluzione ottima unica.

### 12.1.1 Considerazioni di complessità del sistema delle equazioni normali

Valutiamo la complessità del sistema visto finora. Dobbiamo:

1. Calcolare  $A^H A$ , che ha complessità  $O(mn^2)$  (da una  $(n \times m)(m \times n)$ );
2. Calcolare  $A^H b$ , che ha complessità  $O(mn)$  (da una  $(n \times m)(m \times 1)$ );
3. Risolvere il sistema  $A^H A x = A^H b$ , che ha complessità  $O(mn^2 + n^3) \sim O(n^3)$ .

Vediamo che il problema non è tanto la complessità, ma il fatto che  $A^T A$  ha spesso un numero di condizionamento piuttosto alto, ad esempio nel caso  $m = n$  si ha:

$$\mu(A^T A) = \mu(A)^2$$

Se  $\mu(A^T A) (< 10^k \text{ con } k \text{ moderato})$ , questo è fastidioso in quanto abbatte sostanzialmente la precisione. Conviene quindi applicare un metodo alternativo.

## 12.2 Metodo QR per problemi ai minimi quadrati

Vediamo quindi un metodo basato sulla fattorizzazione QR.

### 12.2.1 Fattorizzazione QR

La **fattorizzazione QR** è un tipo di fattorizzazione matriciale, come lo era la *fattorizzazione LU* che abbiamo già visto (8.3.4).

Diamone quindi la definizione:

#### Definizione 12.1: Fattorizzazione LU

Data  $A \in \mathbb{C}^{m \times n}$ , con  $m \geq n$ , una fattorizzazione QR di  $A$  è una coppia di matrici  $(Q, R)$  tali che:  $A = QR$ , con  $Q \in \mathbb{C}^{m \times m}$  unitaria ( $Q^H Q = Q Q^H = I$ ), e  $R \in \mathbb{C}^{m \times m}$  della forma triangolare superiore rettangolare (con un certo numero di righe a zero sotto il triangolo), cioè esprimibile come:

$$R = \begin{pmatrix} R_1 \\ 0 \end{pmatrix}$$

con  $R_1 \in \mathbb{C}^{n \times n}$  triangolare superiore.

Varrà allora il teorema:

**Teorema 12.2: Esistenza della fattorizzazione QR**

Per ogni matrice  $\exists$  sempre una fattorizzazione QR, ma non è mai unica.

Questo viene dal fatto che data  $A = QR$ , si potrebbe prendere  $D \in \mathbb{R}^{m \times m}$  diagonale con  $|d_j| = 1$  per  $j = 1, \dots, m$ , e dire:

$$A = Q_2 R_2, \quad \begin{cases} Q_2 = QD \\ R_2 = D^{-1}R \end{cases}$$

in quanto:

$$A = QR = \underbrace{QD}_{Q_2} \cdot \underbrace{D^{-1}R}_{R_2}$$

Una proprietà di rilievo è che la norma 2 e la norma di Frobenius sono invarianti per moltiplicazioni con matrici unitarie, ovvero:

$$|A| = |QA| = |AQ| = |Q_1 A Q_2|$$

con norma  $|\cdot|_2$  o di Frobenius.

Dimostriamo per le due norme:

- **Norma 2:** questo si ha prendendo la definizione di norma 2:

$$|A|_2 = \sqrt{\rho(A^H A)}$$

Allora la norma di  $AQ$ , ad esempio, sarà:

$$|AQ|_2 = \sqrt{\rho((AQ)^H AQ)} = \sqrt{\rho(Q^H A^H AQ)}$$

$Q^H A^H AQ$  è simile a  $A^H A$  in quanto dalla definizione di unarietà di  $Q$ , si può intendere  $Q^H = Q^{-1}$  e quindi prendere la forma come un'applicazione di matrice di trasformazione, da cui la tesi per la norma 2.  $\square$

- **Norma di Frobenius:** questo si ha prendendo la definizione di norma di Frobenius:

$$|A|_F = \sqrt{\text{trace}(A^H A)}$$

Allora la norma di  $AQ$ , ad esempio, sarà:

$$|AQ|_F = \sqrt{\text{trace}(Q^H A^H AQ)}$$

da cui come sopra.  $\square$

Nei problemi ai minimi quadrati, la fattorizzazione QR è utile in quanto se  $A = QR$ :

$$\min_{x \in \mathbb{C}^n} |b - Ax|_2 = \min_{x \in \mathbb{C}^n} |b - QRx|_2 = \min_{x \in \mathbb{C}^n} |Q^H b - Rx|_2$$

moltiplicando per  $Q^H$  all'ultimo passaggio.

Chiamato  $Q^H b = c$ , osserviamo quindi poter prendere:

$$\psi(x) = |cx - Rx|_2^2$$

che preso:

$$R = \begin{pmatrix} R_1 \\ 0 \end{pmatrix}$$

diventa:

$$\psi(x) = \left\| \begin{pmatrix} c_1 \\ c_2 \end{pmatrix} - \begin{pmatrix} R_1 \\ 0 \end{pmatrix} x \right\|_2^2 = \left\| \begin{pmatrix} c_1 - R_1 x \\ c_2 \end{pmatrix} \right\|_2^2 = |c_1 - R_1 x|_2^2 + |c_2|_2^2$$

l'unico termine su cui abbiamo controllo è il primo, e possiamo quindi trascurare  $|c_2|_2^2$ . Prendiamo allora:

$$\psi'(x) = |c_1 - R_1 x|_2^2$$

che rappresenta un sistema lineare  $n \times n$ , dove bastera scegliere  $x$  tale che:

$$R_1 x = c$$

così da trovare 0 e ottenere il valore di  $\psi'$  (e quindi di  $\psi$ ) minore possibile. Il vantaggio aggiunto è che  $R_1$  è triangolare superiore, e quindi si può calcolare:

$$x = R_1^{-1} c$$

per sostituzione all'indietro.

Riassumendo, quindi, abbiamo ottenuto il metodo:

1. Si calcola la fattorizzazione  $A = QR$ ;
2. Si calcola  $Q^H b = \begin{pmatrix} c_1 \\ c_2 \end{pmatrix}$ , che ha costo  $O(nm)$  (non è  $O(m^2 n)$ , per via della struttura di  $Q$ );
3. Si risolve  $R_1 x = c_1$ , che è un sistema lineare triangolare superiore  $n \times n$ , quindi ha costo  $O(n^2)$  per sostituzione all'indietro.

L'unica incognita è allora il costo della fattorizzazione, che anticipiamo è  $O(mn^2)$ .

### 12.2.2 Matrici di Householder

Una proprietà rilevante è che dato un vettore  $v \in \mathbb{C}^m$  esiste sempre una matrice unitaria  $H_v$  tale che:

$$H_v \cdot v = c \cdot e_1, \quad c \in \mathbb{C}$$

per  $e_1$  primo elemento della base canonica. Dato che la moltiplicazione per matrici unitarie non cambia la norma si ha:

$$|c| = |v|_2$$

Per creare tale matrice, scegliamo  $\tilde{v}$ :

$$\tilde{v} = v \pm |v|_2 \cdot e_1 = \begin{pmatrix} v_1 \pm |v|_2 \\ v_2 \\ \vdots \\ v_m \end{pmatrix}$$



$H_v$  dovrà quindi essere scelta come:

$$H_v = I - 2 \frac{\tilde{v}\tilde{v}^H}{|\tilde{v}|_2^2}$$

dove il termine  $\frac{\tilde{v}\tilde{v}^H}{|\tilde{v}|_2^2}$  rappresenta una proiezione sulla retta tracciata dal vettore  $\tilde{v}$ , e quindi  $H_v$  uguale alla *matrice di riflessione* sull'iperpiano ortogonale a  $\tilde{v}$ . Visto che abbiamo scelto  $\tilde{v}$  perchè fosse effettivamente "equidistante" sia da  $v$  che da  $e_1$ , otteniamo una matrice che porta  $v$  esattamente sulla base  $e_1$ .

Le matrici costruite in questo modo vengono anche dette **Matrici di Householder** associate al vettore  $v$ .

Possiamo scrivere una funzione MATLAB, che ci tornerà utile a breve, per il calcolo della matrice di Householder relativa a un certo vettore:

```

1 function H = householder(v)
2     H = eye(length(v));
3     vt = v;
4
5     if vt(1) < 0
6         vt(1) = vt(1) - norm(v); % si sottrae
7     else
8         vt(1) = vt(1) + norm(v);
9     end
10
11     H = H - 2 * vt * vt' / norm(vt)^2;
12 end

```

Vediamo inoltre come si è scelto il segno della norma aggiunta a  $vt$  ( $\tilde{v}$ ) in modo da ridurre gli errori di cancellazione.

### 12.2.3 Calcolo della fattorizzazione QR

Analogamente al metodo di Gauss, per la fattorizzazione QR si moltiplica a sinistra per matrici unitarie che "sistemano" gli elementi sotto la diagonale.

Sfruttando la proprietà delle matrici di Householder, agiamo come segue:

$H_1 = H_{a_1}$  = matrice di Householder associata ad  $a_1$ , prima colonna di  $A$

diciamo:

$$H_1 \begin{pmatrix} a_1 & a_2 & \dots & a_n \end{pmatrix} = \begin{pmatrix} ? & \dots \\ 0 & \dots \\ \vdots & \dots \\ 0 & \dots \end{pmatrix}$$

a questo punto basterà prendere  $H_2$  per "sistemare" gli elementi della sottomatrice di coda successiva:

$$H_2 = \left( \begin{array}{c|ccc} 1 & 0 & \dots & 0 \\ 0 & & & \\ \vdots & & \tilde{H}_2 & \\ 0 & & & \end{array} \right)$$

e così via, introducendo di volta in volta più elementi della diagonale in testa. Si potrà quindi definire la matrice  $R$  come:

$$R = \underbrace{H_1^H H_2^H \dots H_n^H}_Q A$$

dove il prodotto delle unitarie rappresenterà la matrice  $Q$ .

#### 12.2.4 Ottimizzazioni della fattorizzazione QR

Osserviamo che per avere costo  $O(mn^2)$  (ed anche costo  $O(mn)$  per  $Q^H b$ ) si sfrutta il fatto che  $H_j$  è del tipo *identità + rango 1*, cioè:

$$H_j = I - bb^T$$

dove gli  $a$  e  $b$  vengono presi qui a scopo di esempio, risulterebbero dalla forma della matrice di Householder che abbiamo visto alla 12.2.2. La parte importante è che il prodotto per una matrice generica  $B$  assume la forma:

$$H_j \cdot B = B - b \cdot b^T \cdot B$$

dove l'ultimo termine è il prodotto di una colonna per il prodotto di una riga per  $B$ . Quindi, nel caso  $B$  sia un vettore  $b$ , si hanno solo prodotti scalari di costo  $m$ , ergo:

$$H_j b \rightarrow O(m)$$

Se prendiamo il prodotto per tutte le matrici  $H_j$ , cioè per  $Q$ , abbiamo che questa cosa si ripete  $n$  volte e quindi il costo è  $O(mn)$ .

$$\implies H_n \cdot H_{n-1} \cdot \dots \cdot H_1 b \rightarrow O(mn)$$

il costo  $O(mn^2)$  a questo punto è immediato dal fatto che abbiamo semplicemente una dimensione  $n$  in più dalla matrice  $A$ .

Osserviamo quindi la versione della fattorizzazione QR, implementata in MATLAB, che effettua queste ottimizzazioni:

```

1 function [Q, A] = opt_qr_decomp(A)
2     function [a, b] = householder_vec(v)
3         vt = v;
4
5         if vt(1) < 0
6             vt(1) = vt(1) - norm(v); % si sottrae
7         else
8             vt(1) = vt(1) + norm(v);
9         end
10
11        a = vt;
12        b = vt / norm(vt)^2 * 2;
13    end
14
15    function A = rank_one_l(A, a, b, i)
16        A(i:end, :) = A(i:end, :) ...
17            - a * b' * A(i:end, :);
18    end
19
20    function A = rank_one_r(A, a, b, i)
21        A(:, i:end) = A(:, i:end) ...
22            - A(:, i:end) * a * b';
23    end
24
25    n = height(A);
26
27    Q = eye(n);

```

```

28
29     for i = 1:n
30         [a, b] = householder_vec(A(i:end, i));
31         A = rank_one_l(A, a, b, i);
32         Q = rank_one_r(Q, a, b, i);
33     end
34 end

```

dove la matrice di Householder viene mantenuta in due vettori, e si sono definite le funzioni `rank_one_l()` e `rank_one_r()` per l'aggiornamento di rango uno, rispettivamente a sinistra e a destra (che nient'altro sarebbe se non la moltiplicazione per la matrice di Householder).

Osserviamo poi che nel caso  $m = n$  si può sfruttare la fattorizzazione QR per risolvere sistemi lineari, con costo  $O(\frac{4}{3}n^3)$  per la fattorizzazione, il doppio rispetto a Gauss, ma solitamente più stabile.

Osserviamo infine che se  $A \in \mathbb{R}^{m \times n}$  si può restare nei reali ed avere  $Q \in \mathbb{R}^{m \times m}$ ,  $Q^T Q = I$ , ecc...

### 12.2.5 Implementazione MATLAB della decomposizione QR

Concludiamo quindi con l'implementazione MATLAB di questo algoritmo:

```

1 function [Q, A] = qr_decomp(A)
2     n = height(A);
3     Q = eye(n); % accumulatore
4
5     for i = 1:n
6         Hi = householder(A(i:end, i));
7         Hi = blkdiag(eye(i - 1), Hi);
8         A = Hi * A;
9         Q = Q * Hi;
10    end
11 end

```

Dove la funzione `blkdiag` ci permette di realizzare la forma a blocchi diagonale, con l'identità in testa, che la  $H_i$  assume ad ogni passaggio dell'algoritmo.

## 13 Lezione del 07-04-25

### 13.1 Interpolazione di funzioni

Poniamo di avere una qualche funzione  $f(x) : \mathbb{C} \rightarrow \mathbb{C}$  che non conosciamo esplicitamente ma di cui possiamo solo calcolare il valore  $y_0, \dots, y_k$  in determinati punti  $x_0, \dots, x_k$  non necessariamente equispaziati fra di loro. Chiamiamo questi punti **odi**. Il problema sarà allora trovare un'approssimazione di  $f(x)$  **interpolando** i punti dati.

- Un approccio valido quando si hanno pochi punti ( $k$ ) è considerare un polinomio di grado  $k$  che passi per tutti questi, sperando che si raggiunga un'approssimazione sufficientemente precisa nei punti esterni ai nodi.
- Un'altro approccio, quando si hanno molti punti, è trovare una funzione particolarmente semplice (solitamente una retta) che minimizzi la distanza da questi. E' questo ad esempio il caso della *regressione lineare*.

### 13.1.1 Interpolazione polinomiale

Vogliamo quindi trovare un polinomio  $p(x)$  tale che:

$$p(x_i) = y_i, \quad \forall i \in \{0, \dots, k\}$$

Quello che facciamo è porre il polinomio come:

$$p(x) = a_0 + a_1x + \dots + a_kx^k$$

e impostare il sistema:

$$\begin{cases} a_0 + a_1x_0 + \dots + a_kx_0^k = y_0 \\ \vdots \\ a_0 + a_1x_k + \dots + a_kx_k^k = y_k \end{cases}$$

che è lineare e ha come incognita il vettore dei coefficienti del polinomio cercato.

Notiamo di aver scelto come base la base canonica dei polinomi:

$$B_{\text{canonica}} = \{1, x, x^2, \dots, x^k\}$$

Avremmo potuto scegliere qualsiasi altra base dello spazio dei polinomi  $\mathbb{R}[x]$ , e vedremo infatti anche questo caso.

Riscrivendo quindi il sistema di cui sopra in forma matriciale si ha:

$$\underbrace{\begin{pmatrix} 1 & x_0 & \dots & x_0^k \\ \vdots & & & \vdots \\ 1 & x_k & \dots & x_k^k \end{pmatrix}}_V \underbrace{\begin{pmatrix} a_0 \\ a_1 \\ \vdots \\ a_k \end{pmatrix}}_a = \underbrace{\begin{pmatrix} y_0 \\ y_1 \\ \vdots \\ y_k \end{pmatrix}}_y$$

dove la matrice  $V$  viene detta **matrice di Vandermonde**.

Potrebbe interessarci capire quando questo sistema ammette soluzione. Ad esempio, è impossibile che esista  $i \neq j$  tali che  $x_i = x_j$ , in quanto questo renderebbe il sistema singolare (due righe uguali  $\implies \det(V) = 0$ ). Questo caso non è desiderabile in quanto potrebbero esserci più soluzioni (se anche  $y_i = y_j$ ) o nessuna (se  $y_i \neq y_j$ ).

Possiamo allora enunciare il teorema:

#### Teorema 13.1: Determinante della matrice di Vandermonde

Il determinante della matrice di Vandermonde è:

$$\det(V) = \prod_{0 \leq i < j \leq k} (x_j - x_i)$$

Da questo deriva che se  $x_i \neq x_j \forall i \neq j$ , allora  $\det(V) \neq 0$ , cioè  $V$  non è singolare. Per trovare  $p(x)$  risolviamo quindi:

$$Va = y$$

e poniamo:

$$p(x) = \sum_{i=0}^k a_i x^i$$

da cui come avevamo detto si ottiene un polinomio con  $\deg(p(x)) \leq k$  ( $\leq$  perchè si potrebbe avere il coefficiente  $a_k = 0$ , e così via, cioè il grad è al più  $k$ ).

Risolvere il sistema costa quindi, come avevamo visto, un qualcosa che è  $\sim O(n^3)$ , con particolare interesse al numero di condizionamento:

$$\mu(V) = |V| \cdot |V^{-1}|$$

che solitamente per la matrice di Vandermonde è particolarmente grande.

Ricordiamo che questo è un problema non da poco. Infatti, avevamo che il numero di condizionamento dava un limite alla variazione del resto del sistema in funzione della perturbazione delle soluzioni, cioè presa una  $\tilde{x}$  perturbata da una  $x$  soluzione di  $Ax = b$  si aveva:

$$|x - \tilde{x}| \leq \mu(A) \cdot |A\tilde{x} - b|$$

Ad esempio, preso il sistema:

$$\underbrace{\begin{pmatrix} 1 & 0 \\ 0 & \epsilon \end{pmatrix}}_A \underbrace{\begin{pmatrix} 1 \\ 1 \end{pmatrix}}_x = \underbrace{\begin{pmatrix} 1 \\ \epsilon \end{pmatrix}}_b$$

potremmo pensare di considerare la soluzione perturbata:

$$\tilde{x} = \begin{pmatrix} 1 \\ 1 + \delta \end{pmatrix}$$

Avremo quindi l'errore sulla soluzione:

$$|x - \tilde{x}|_2 = |\delta|$$

e l'errore sul resto:

$$|A\tilde{x} - b|_2 = \left| \begin{pmatrix} 0 \\ \delta\epsilon \end{pmatrix} \right|_2 = |\delta| \cdot \epsilon$$

che chiaramente cresce al crescere di  $\epsilon$ .

Questo ci è problematico in quanto l'errore sulla soluzione può essere considerato come l'errore sui coefficienti del polinomio, e l'errore sul resto può essere considerato come l'errore di approssimazione della funzione, cioè:

$$|A\tilde{x} - b| = |p(x_i) - y_i|$$

Vediamo che in verità la situazione è sotto controllo se:

$$\mu(A) \leq \frac{1}{u}$$

per  $u$  precisione macchina, in quanto l'errore dato dal cattivo condizionamento diventa comparabile con la precisione macchina, comunque piuttosto piccola. Un altro caso di interesse è quello in cui i punti  $x_i$  sono equispaziati sulla circonferenza unitaria sul piano di Argand-Gauss. Vediamo che anche qui l'errore è mantenuto sotto controllo, e questo sarà infatti il caso che considereremo per la *trasformata (discreta) veloce di Fourier*.

Un'idea potrebbe essere quindi quella di cambiare la base dei monomi in:

$$B' = \{\phi_0(x), \phi_1(x), \dots, \phi_k(x)\}$$

e porre quindi:

$$p(x) = a_0\phi_0(x) + a_1\phi_1(x) + \dots + a_k\phi_k(x)$$

Il sistema alla sostituzione dei nodi continuerà ad essere lineare, in quanto:

$$p(x_i) = a_0\phi_0(x_i) + a_1\phi_1(x_i) + \dots + a_k\phi_k(x_i), \quad \forall i \in \{0, \dots, k\}$$

Potremo quindi impostare un altro sistema lineare:

$$\begin{pmatrix} \phi_0(x_0) & \phi_1(x_0) & \dots & \phi_k(x_0) \\ \vdots & & & \vdots \\ \phi_0(x_k) & \phi_1(x_k) & \dots & \phi_k(x_k) \end{pmatrix} \begin{pmatrix} a_0 \\ a_1 \\ \vdots \\ a_k \end{pmatrix} = \begin{pmatrix} y_0 \\ y_1 \\ \vdots \\ y_k \end{pmatrix}$$

Abbiamo quindi definito la matrice di Vandermonde "generalizzata" a:

#### Definizione 13.1: Matrice di Vandermonde

La matrice di Vandermonde su una certa base polinomiale  $\{\phi_0(x), \dots, \phi_k(x)\}$  è definita come:

$$V_{ij} = \phi_j(x_i), \quad \forall i, j \in \{0, 1, \dots, k\}$$

Finora avevamo preso il caso della base canonica, cioè  $\{1, x, \dots, x^k\}$ , ma nessuno ci nega di prendere altre basi. Basi che ci saranno di particolare interesse, vedremo, sono la base di **Lagrange** e la base di **Newton**.

#### 13.1.2 Base di Lagrange

Presi sempre i nostri nodi di interpolazione, decidiamo di scegliere la base guardando proprio tali nodi (anziché prenderla a priori, come avevamo fatto per Vandermonde).

Chiamiamo i polinomi di base  $l_0(x), \dots, l_k(x)$ , con:

$$l_i(x) = (x - x_0) \dots (x - x_{i-1})(x - x_{i+1}) \dots (x - x_k) = \prod_{j \neq i}^n (x - x_j)$$

cioè il prodotto dei fattori che si annullano in  $x_j$  per tutti gli  $j \neq i$ . Spesso poi decidiamo di normalizzare i polinomi di base, indicandoli come:

$$l_i(x) = \frac{(x - x_0) \dots (x - x_{i-1})(x - x_{i+1}) \dots (x - x_k)}{(x_i - x_0) \dots (x_i - x_{i-1})(x_i - x_{i+1}) \dots (x_i - x_k)} = \prod_{j \neq i}^n \frac{x - x_j}{x_i - x_j}$$

Otterremo quindi la base, diversa da quella canonica:

$$B_{\text{Lagrange}} = \{l_0(x), l_1(x), \dots, l_k(x)\}$$

Proviamo quindi ad imporre le condizione, con:

$$p(x) = a_0l_0(x) + a_1l_1(x) + \dots + a_kl_k(x)$$

valutando il polinomio in un punto  $x_i$ :

$$p(x_i) = y_i = a_0l_0(x_i) + \dots + a_{i-1}l_{i-1}(x_i) + a_il_i(x_i) + a_{i+1}l_{i+1}(x_i) + \dots + a_kl_k(x_i)$$

dove vediamo che, normalizzando, si conserva solo il termine in  $a_i$ , da cui immediatamente:

$$a_i = y_i$$

e:

$$p(x) = y_0 l_0(x) + y_1 l_1(x) + \dots + y_k l_k(x)$$

Possiamo quindi costruire il polinomio interpolante senza fare nessun conto, semplicemente prendendo la combinazione lineare a coefficienti  $y_i$  della base di lagrange  $l_i$  costruita sui nodi.

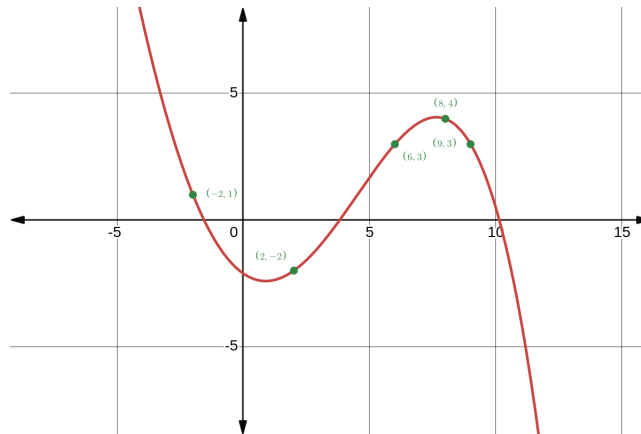
Vediamo quindi la forma della matrice di Vandermonde:

$$V_l = \begin{pmatrix} l_0(x_0) & l_1(x_0) & \dots & l_k(x_0) \\ \vdots & \vdots & & \vdots \\ l_0(x_k) & l_1(x_k) & \dots & l_k(x_k) \end{pmatrix} = \begin{pmatrix} 1 & 0 & \dots & 0 \\ 0 & 1 & \dots & 0 \\ \dots & \dots & \dots & \dots \\ 0 & \dots & 0 & 1 \end{pmatrix}$$

da cui abbiamo quindi che si ricava direttamente l'identità e quindi  $Va = y$  diventa  $Ia = y \implies a = y$ .

Ad esempio, vediamo la seguente interpolazione di Lagrange, coi nodi nella tabella a sinistra:

x	y
-2	1
-2	-2
6	3
8	4
9	3



### 13.1.3 Base di Newton

Vediamo quindi la base di Newton, che costruiamo come:

$$\begin{cases} n_0(x) = 1 \\ n_1(x) = x - x_0 \\ n_2(x) = (x - x_0)(x - x_1) \\ \vdots \\ n_k(x) = (x - x_0) \dots (x - x_{k-1}) \end{cases}$$

cioè ogni  $n_i$  dipende solo dai  $\{x_0, \dots, x_{i-1}\}$  precedenti. Questo rende più facile l'aggiornamento se si aggiunge un nuovo nodo in  $x_{k+1}$ , per cui basterà dire:

$$n_{k+1}(x) = (x - x_0) \dots (x - x_k) = n_k(x)(x - x_k)$$

Otterremo quindi la base:

$$B_{\text{Newton}} = \{n_0(x) = 1, n_1(x), \dots, n_k(x)\}$$

e la matrice di Vandermonde:

$$V_n = \begin{pmatrix} n_0(x_0) & n_1(x_0) & \dots & n_k(x_0) \\ \vdots & & & \vdots \\ n_0(x_k) & n_1(x_k) & \dots & n_k(x_k) \end{pmatrix}$$

con:

$$p(x) = a_0 n_0(x) + a_1 n_1(x) + \dots + a_k n_k(x)$$

e nel nodo:

$$p(x_i) = y_i \Leftrightarrow V a = y$$

dallo svolgimento della matrice di Vandermonde si ha che la prima colonna è tutta di 1, e il resto della matrice è triangolare inferiore:

$$V_n = \begin{pmatrix} 1 & 0 & \dots & 0 \\ 1 & ? & \dots & 0 \\ \vdots & & & \vdots \\ 1 & ? & \dots & ? \end{pmatrix}$$

e quindi ogni  $a_i$  dipende solo dagli  $\{y_0, \dots, y_i\}$ . Infine, notiamo di poter scrivere ogni  $a_i$  come le **differenze divise**:

$$a_i = f[x_0, \dots, x_i]$$

indicate con le parentesi quadre, che definiamo come:

$$f[x_0, \dots, x_n, x] = \begin{cases} f(x) & n = -1 \\ \frac{f(x) - f(x_0)}{x - x_0} & n = 0 \\ \frac{f[x_0, \dots, x_{n-2}, x] - f[x_0, \dots, x_{n-1}, x]}{x - x_{n-1}}, & \text{altrimenti} \end{cases}$$

cioè la serie:

$$f[x] = f(x), \quad f[x_0, x] = \frac{f(x) - f(x_0)}{x - x_0}, \quad \dots$$